

# РАДИО

АУДИО • ВИДЕО • СВЯЗЬ • ЭЛЕКТРОНИКА • КОМПЬЮТЕРЫ



Издается с 1924 года

11'93

# РАДИО

11-1993

ЕЖЕМЕСЯЧНЫЙ  
НАУЧНО-ПОПУЛЯРНЫЙ  
РАДИОТЕХНИЧЕСКИЙ  
ЖУРНАЛ

издается с 1924 года

УЧРЕДИТЕЛИ:  
ЖУРНАЛИСТСКИЙ  
КОЛЛЕКТИВ "РАДИО"  
И ЦС СОСТО СТ

Главный редактор  
А. В. ГОРОХОВСКИЙ

Редакционная коллегия:

И. Т. АКУЛИНИЧЕВ, В. М. БОНДАРЕНКО,  
А. М. ВАРБАНСКИЙ, И. Г. ГЛЕБОВ,  
А. Я. ГРИФ, Ю. В. ГУЛЯЕВ,  
А. С. ЖУРАВЛЕВ, Б. С. ИВАНОВ,  
А. Н. ИСАЕВ, Н. В. КАЗАНСКИЙ,  
Е. А. КАРНАУХОВ, Э. В. КЕШЕК,  
В. И. КОЛОДИН, А. Н. КОРОТКОНОШКО,  
В. Г. МАКОВЕЕВ, В. В. МИГУЛИН,  
А. Л. МСТИСЛАВСКИЙ (отв. секретарь),  
Б. Г. СТЕПАНОВ (зам. главного  
редактора), В. И. ХОХЛОВ

Художественный редактор Г. А. ФЕДОТОВА  
Корректор Т. А. ВАСИЛЬЕВА

Адрес редакции: 103045, Москва,  
Селиверстов пер., 10

Телефоны: для справок и группа  
работы с письмами — 207-77-28.

Отделы: популяризации науки, техники  
и радиолюбительства — 208-77-13;  
общей радиоэлектроники — 207-72-54,  
207-88-18;

бытовой радиоэлектроники —

208-83-05, 207-89-00;

микропроцессорной техники —

208-83-05;

информации, технической консультации

и рекламы — 208-99-45;

оформления — 207-71-69.

Факс: (095) 208-13-11

"КВ журнал" — 208-89-49

"Радиобиржа" — 208-77-13

МП "Символ-Р" — 208-81-79

Р/с редакции журнала "Радио" — 400609329  
в коммерческом банке "Бизнес" в Москве,  
МФО 201638 (почтовый индекс 101000)

Сдано в набор 22.7.1993 г.

Подписано к печати 27.10.1993 г.

Формат 60x84/8. Бумага офсетная.

Гарнитуры «Таймс» и «Прагматика».

Печать офсетная. Объем 6 печ. л.,

3 бум. л. Усл. печ. л. 5,56.

Тираж 248 000 экз. Зак. 1357

В розницу — цена договорная.

Набрано и отпечатано  
в ИПК "Московская правда",  
г. Москва, ул. 1905 г., д. 7

© Радио № 11, 1993 г.

В НОМЕРЕ:

2

ТЕХНИКА НАШИХ ДНЕЙ

С. Шипулин. ПЛИС — НОВЫЙ КЛАСС МИКРОСХЕМ

4

СМОТРИМ. СЛУШАЕМ

М. Парамонов. МОРСКАЯ РАДИОСВЯЗЬ

5

К 100-ЛЕТИЮ СО ДНЯ РОЖДЕНИЯ А. И. БЕРГА

Е. Маркова. КОРМЧИЙ ОТЕЧЕСТВЕННОЙ РАДИОЭЛЕКТРОНИКИ И КИБЕРНЕТИКИ

7

ВИДЕОТЕХНИКА

Ю. Петропавловский. ВИДЕОТЕХНИКА ФОРМАТА VHS

11

СПУТНИКОВОЕ ТЕЛЕВИДЕНИЕ

А. Гольцов. ТОНЕР ДЛЯ ПРИЕМА СТВ

14

РАДИОПРИЕМ

А. Федоров. ПРИЕМНИК БЕЗ ИСТОЧНИКА ПИТАНИЯ

15

ЗВУКОТЕХНИКА

Д. Данюк, Г. Пилько. ПРЕДУСИЛИТЕЛЬ-КОРРЕКТОР ДЛЯ МАГНИТНОГО ЗВУКО-  
СНИМАТЕЛЯ

18

МИКРОПРОЦЕССОРНАЯ ТЕХНИКА

Ю. Власов. ПРОГРАММАТОР ПЗУ ДЛЯ «РАДИО — 86РК». М. Бриджиди, Г. Рогов.  
СР/М-80 ДЛЯ «ОРИОНА-128» (с. 20)

22

ПРОМЫШЛЕННАЯ АППАРАТУРА

А. Еркин. КОМБИНИРОВАННЫЙ МУЛЬТИМЕТР КМ-Е100

26

«РАДИО» — НАЧИНАЮЩИМ

С пальчиком в руках. Ю. Верхало. ПЕРЕКЛЮЧАТЕЛИ ЕЛОЧНЫХ ГИРЛЯНД. РЕГУ-  
ЛЯТОР МОЩНОСТИ (с. 28). ЭЛЕКТРОННАЯ ИГРОТЕКА (с. 29)

32

ЭЛЕКТРОННЫЕ МУЗЫКАЛЬНЫЕ ИНСТРУМЕНТЫ

А. Студнев. MIDI-КЛАВИАТУРА

34

ЭЛЕКТРОНИКА ЗА РУЛЕМ

А. Колотов. БЕСКОНТАКТНЫЙ ПРЕРЫВАТЕЛЬ ЭЛЕКТРОННОЙ СИСТЕМЫ  
ЗАЖИГАНИЯ

36

ЭЛЕКТРОНИКА В БЫТУ

И. Нечаев. БЫТОВОЙ ТАЙМЕР. А. Симутин. УНИСОННОЕ ЗВУЧАНИЕ В МЕЛОДИ-  
ЧЕСКОМ СИГНАЛИЗАТОРЕ (с. 38)

38

РАДИОЛЮБИТЕЛЮ-КОНСТРУКТОРУ

И. Александров. ИНВЕРТОР ПОЛЯРНОСТИ НАПРЯЖЕНИЯ. РЕГУЛИРУЕМЫЙ  
АНАЛОГ СТАБИЛИТРОНА

40

ДЛЯ ДОМАШНЕГО ТЕЛЕФОНА

И. Коршун, С. Тимаков. ТЕЛЕФОН ДЕЛОВОГО ЧЕЛОВЕКА

43

НАША КОНСУЛЬТАЦИЯ

ОБМЕН ОПЫТОМ (с. 25, 42). ДОСКА ОБЪЯВЛЕНИЙ (с. 44 — 48)

## ВНИМАНИЮ НАШИХ ЧИТАТЕЛЕЙ

На первой странице обложки. Издания, выпускаемые редакцией: журнал "Радио", "КВ-журнал", газета "Радиобиржа" и библиотека "Приложение к журналу "Радио" - брошюры и книги по различным вопросам радиоэлектроники, справочная литература, выпускаемые совместно с МП "Символ-Р".

Напоминаем! Если москвичи и жители Подмосковья по каким-либо причинам не успели подписаться на журнал "Радио" на первое полугодие 1994 г., - они смогут это сделать в редакции. Но при этом получать журнал нужно будет непосредственно в редакции. Стоимость подписки на первое полугодие 1994 г. - 5700 руб.

Справки по тел. 207-77-28.



# ПЛИС - НОВЫЙ КЛАСС МИКРОСХЕМ

Вполне понятно и объяснимо стремление разработчиков радиоэлектронной аппаратуры активно участвовать в процессе создания специализированных интегральных схем. Ведь именно они лучше других знают, какими функциональными возможностями должна обладать новая микросхема, чтобы можно было успешнее решить конструктивные задачи при создании того или иного блока, устройства, системы. Именно поэтому в крупных зарубежных, да и российских, украинских, белорусских фирмах родились свои микросистемные производства. Появился даже термин, определяющий эту тенденцию, — вертикальная интеграция.

Но далеко не всем предприятиям, особенно малым, оказалось по карману развернуть свои полномасштабные микросистемные подразделения. Какое-то время выручали появившиеся в электронной технике специализированные полупроводниковые микросхемы (СПИС), создаваемые на основе базовых матричных кристаллов (БМК). Вот уже четверть века они традиционно считаются самыми распространенными. А сейчас появился новый класс СПИС — программируемые логические интегральные схемы (ПЛИС). О них и рассказывается в публикуемой здесь статье.

Специализированные полупроводниковые ИС на базовых матричных кристаллах (БМК), называемых за рубежом вентильными матрицами (Gate Arrays), безусловно, обладают рядом преимуществ. Основным из них является возможность создания на их основе самых различных микросхем при наличии развитых средств проектирования. Именно это, наряду с низкой стоимостью самих кристаллов, и обусловило широкое распространение БМК в 60 — 70-е годы.

Однако весьма очевидны и недостатки матричных кристаллов. Прежде всего речь идет о значительных сроках и затратах на проектирование специализированных ИС на основе БМК. Эта негативная их особенность послужила предпосылкой для появления нового класса СПИС — программируемых логических ИС (ПЛИС). В зарубежной литературе синонимом ПЛИС является аббревиатура PLD — programmable logic devices.

ПЛИС — это интегральные микросхемы, содержащие программируемую матрицу элементов логического И (конъюнкторов), программируемую или фиксируемую матрицу элементов логического ИЛИ (дизъюнкторов) и так называемые макроячейки (в зарубежной литературе — macrocells). Макроячейки, как правило, включают в себя триггер, тристабильный буфер и вентиль, исключающее ИЛИ, управляющий уровнем активности сигнала. Размерность матриц и конфигурация макроячеек определяют степень интеграции и логическую мощность ПЛИС.

Структурная схема обобщенной модели ПЛИС приведена на рис.1, а типовые конфигурации макроячеек — на рис.2, 3 и 4.

В сочетании с разнообразными обратными связями перечисленные элементы формируют завершающую автоматную структуру, ориентированную на реализацию как комбинационных (дешифраторов, мультиплексоров, сумматоров), так и последовательных схем (управляющих автоматов, контроллеров, счетчиков).

В ПЛИС заложены возможности, кото-

рые позволяют превратить ее в ИС с любой функцией цифровой логики. Проектирование сводится к выявлению программируемых элементов (перемычек или запоминающих ячеек), после удаления которых в структуре схемы остаются только те связи, которые необходимы для выполнения требуемых функций. На практике эта задача весьма непростая, так как современные ПЛИС содержат в среднем несколько десятков тысяч перемычек. Поэтому для проектирования непременно применяются системы автоматизации (САПР ПЛИС).

Благодаря наличию различных систем автоматизированного проектирования, а также структурным и технологическим особенностям, ПЛИС представляют технологию рекордно-короткого цикла разработки радиоэлектронной аппаратуры. Причем весь цикл проектирования и изготовления готового устройства осуществляется самим разработчиком, что значительно снижает стоимость создания РЭА по сравнению с использованием БМК.

Если за рубежом ПЛИС уже заняли заметное место в арсенале разработчика РЭА, то в России и странах СНГ эта технология только начинает по-настоящему развиваться. Отставание объясняется рядом причин. Во-первых, очень узкая номенклатура ПЛИС на нашем рынке элементной базы. Во-вторых, практическая недоступность для наших специалистов современных зарубежных систем проектирования. В-третьих, недостаток информации в технической литературе о ПЛИС и методах работы с ними.

Нужно, однако, отметить, что в начале 90-х годов у нас стали наблюдаться некоторые реальные сдвиги в применении ПЛИС на отдельных предприятиях. Этому в первую очередь способствовало появление отечественных ПЛИС для решения многих задач. Назовем, например, ПЛИС с плавкими перемычками по технологии ТТЛШ, производимые НИИМЭ в Зеленограде. В их числе уже давно известные ПЛИМ К556РТ1, К556РТ2, К556РТ21 и сравнительно недавно выпускаемые ИС КМ1556ХП4, КМ1556ХП6, КМ1556ХП8,

КМ1556ХЛ8, являющиеся аналогами широко распространенных в мире ПЛИС семейства PAL.

Сыграл определенную роль и выход на отечественный рынок фирмы INTEL, представившей в числе своей продукции ПЛИС по технологии КМОП с УФ-стирированием. Наибольшую известность получили ПЛИС 85C060 (аналог схемы EP600 фирмы ALTERA), 85C090 (аналог схемы EP900 фирмы ALTERA) и 85C22V10, считавшаяся в 80-х годах мировым промышленным стандартом на ПЛИС. (Кстати, ПЛИС типа EP600 и EP900 разработаны соответственно на предприятиях Киева и Новосибирска и уже поставляются по договорам).

Основные характеристики зарубежных и отечественных ПЛИС приведены в таблице.

Другой предпосылкой широкого использования ПЛИС в России стало появление первой отечественной высокоуровневой системы проектирования — САПР ПЛИС «ФОРС+», одним из разработчиков которой является автор данной статьи. С помощью этой системы можно вести проектирование перечисленных выше специальных микросхем на базе ПЛИС, а также некоторых других, например, семейства MAX фирмы ALTERA, включающего в себя микросхемы с уровнем интеграции в несколько тысяч вентилей.

По своим основным возможностям САПР ПЛИС «ФОРС+» близка к зарубежным системам проектирования, работающим на 32-разрядных ПК и рабочих станциях. Она имеет следующие характеристики:

- структурнонезависимый поведенческий язык проектного описания;
- автоматический синтез цифрового устройства в базисе ПЛИС;
- автоматическая декомпозиция схем на нескольких ПЛИС (до 40 — 70 корпусов);
- временное имитационное моделирование результатов проектирования.

Программные средства САПР ПЛИС «ФОРС+» функционируют на ПК типа РС/XT/AT — 286 (и выше), что делает их

доступными для отечественных пользователей.

Они предоставляют разработчикам возможности ввода схем, табличного описания структуры ПЛИС, минимизации и логической верификации правильности проектного описания. Вся проектная документация создается автоматически, а файл прошивки формируется в формате международного стандарта JEDEC, что обуславливает совместимость САПР «ФОРС+» с зарубежными и отечественными программаторами. Таким образом, САПР «ФОРС+» предоставляет пользователям все необходимые средства для получения высококачественных результатов, а возможность авторского сопровождения, методическая и информационная поддержка выгодно отличают ее от нелегальных зарубежных систем, многие из которых не обладают к тому же рядом перечисленных возможностей.

В каких же случаях целесообразно применение ПЛИС?

Во-первых, при разработке оригинальной аппаратуры, а также для замены обычных ИС малой и средней степени интеграции. При этом значительно уменьшаются размеры устройства, снижается потребляемая мощность и повышается надежность.

Наиболее эффективно использование ПЛИС в изделиях, требующих нестандартных схемотехнических решений. В этих случаях ПЛИС даже средней степени интеграции (24 вывода) заменяет, как правило, до 10 — 15 обычных интегральных микросхем.

Другим критерием использования ПЛИС является потребность резко сократить сроки и затраты на проектирование, а также повысить возможности модификации и отладки аппаратуры. Поэтому ПЛИС широко применяется в стендовом оборудовании, на этапах разработки и производства опытных партий новых изделий, а также для эмуляции схем, подлежащих последующей реализации на другой элементной базе, в частности БМК.

Отдельная область применения ПЛИС — проектирование на их основе устройств для защиты программного обеспечения и аппаратуры несанкционированного доступа и копирования. ПЛИС обладают такой технологической особенностью, как «бит секретности», после программирования которого схема становится недоступной для чтения (хотя свои функции ПЛИС, естественно, продолжает выполнять). Обычно применение одной - двух ПЛИС средней степени интеграции оказывается вполне достаточным для надежной защиты информации.

Наиболее широко программируемые логические ИС используются в микропроцессорной и вычислительной технике. На их основе разрабатываются контроллеры, адресные дешифраторы, логика обрешения микропроцессоров, формирователи управляющих сигналов и др. На ПЛИС часто изготавливаются микропрограммные автоматы и другие специализированные устройства, например, цифровые фильтры, схемы обработки сигналов и изображения, процессоры быстрого преобразования функций Фурье и т. д. В технике связи ПЛИС применяются в аппаратуре уплотнения телефонных сигналов.

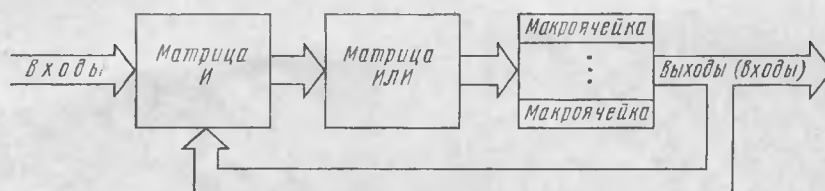


Рис.1. Обобщенная модель ПЛИС

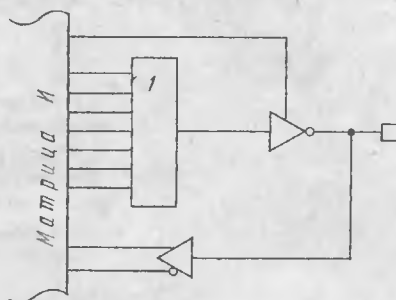


Рис.2.  
Макроячейка  
ПЛИС КМ 1556ХЛ8

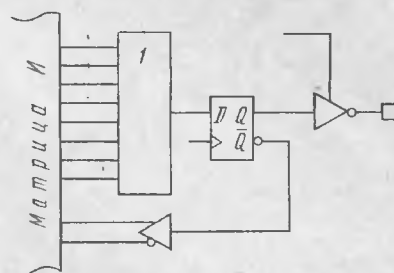


Рис.3.  
Макроячейка  
ПЛИС КМ 1556ХП8

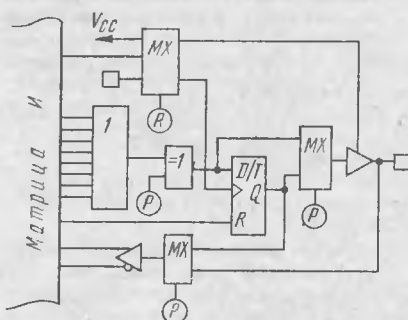


Рис.4.  
Макроячейка  
ПЛИС К573ХМ330 (85С090)

#### ОСНОВНЫЕ ХАРАКТЕРИСТИКИ ПЛИС

Тип ПЛИС и зарубежн. аналог	Степень интеграции (эквив. вентили)	Число выводов	Число триггеров	Быстродействие
<b>ТЕХНОЛОГИЯ ТТЛШ</b>				
K556PT1 PLS101 (Signetics)	300	28	0	60 нс
K556PT2 PLS100 (Signetics)	300	28	0	60 нс
K556PT22 PLS105 (Signetics)	300	28	14	60 нс
KM1556ХЛ4 PAL16R4 (AMD)	300	20	4	25...45 нс
KM1556ХЛ6 PAL16R6 (AMD)	300	20	8	25...45 нс
KM1556ХЛ8 PAL16R8 (AMD)	300	20	8	25...45 нс
KM1556ХЛ8 PAL16L4 (AMD)	300	20	0	25...45 нс
<b>ТЕХНОЛОГИЯ УФ-КМОП</b>				
KP1558ЯТ1 85C060 (INTEL)	800	24	18	40—100 МГц
K573ХМ330 85C090 (INTEL)	900	40	24	50—83 МГц
85C22V10 (INTEL)	600	24	10	66—100 МГц
85C220 (INTEL)	300	20	8	100—120 МГц
85C224 (INTEL)	400	24	8	100—120 МГц

(Окончание см. на с. 13.)



# МОРСКАЯ РАДИО- СВЯЗЬ

**В** апрельском номере журнала «Радио» за 1993 г. мы рассказали об основных правилах приема передач служебных радиостанций. Сегодня остановимся более подробно на особенностях работы морской подвижной службы связи.

На Всемирной Административной Радиоконференции (ВАКР), проходившей в 1979 г. в Женеве, подверглась серьезной перестройке таблица распределения частот между радиослужбами. Была учтена просьба ВАКР-M-74 — выделить дополнительные полосы частот для морской подвижной службы. В настоящее время ей выделены следующие полосы в КВ и УКВ диапазонах: 2000...2107; 4000...4483; 6200...6252; 8100...8815; 12230...13200; 16360...17410; 18780...18900; 19680...19800; 22000...22855; 25110...25210; 26100...26175; 156000...162000; 457000...467000 кГц.

Следует учесть, что большинство перечисленных диапазонов переданы морской подвижной службе не на исключительной основе. На них могут работать и другие радиослужбы.

Связь между судами и береговыми станциями может вестись в режиме однополосной модуляции SSB [1], а также с помощью буквопечатающей аппаратуры, фототелеграфа и других прогрессивных видов связи. Фототелеграф в Балтийском морском пароходстве используется, например, для передачи на суда специальной газеты.

Широкое распространение в морской связи получила система электронного буквопечатания — «Симплекс-TOP». Она известна многим читателям зарубежных DX-бюллетеней под названием SITOR или ARQ (разновидность «Симплекс-TOP»). На судах, плавающих под российским флагом и стран СНГ, для этого вида связи применяется буквопечатающая аппаратура повышенной верности обработки информации «Сокол-MP».

В режиме «Симплекс-TOP» передаются информационные сообщения навигационной и метеорологической служб. На Балтике передачи навигационной информации ведутся в режиме В «Симплекс-TOP» [2] на частоте 518 кГц с помощью системы «Навтекс», которая показала устойчивую и бесперебойную работу, завоевав всеобщее признание.

С 1983 г. по просьбе многих администраций связи для передачи навигационной и метеорологической информации в режиме «Симплекс-TOP» Всемирная Административная Радиоконференция по подвижным службам назначила для этих целей единую мировую частоту 518 кГц.

Как же выглядит формат сообщения в системе «Симплекс-TOP»?

С целью упрощения его идентификации со-

гласно Рекомендации МКР 540-1 формат сообщения выглядит так:

Фазирующие  
сигналы ZCZCB<sub>1</sub>B<sub>2</sub>B<sub>3</sub>B<sub>4</sub>  
1 и 2 ≥ 10 с

Возврат  
каретки,  
перевод  
строки Сообщение @@@  
NNNN ≥ 2 с

Фазирующие сигналы 1 (@) и 2 (RQ) передаются в начале сообщения и между сообщениями;

ZCZC — определяет конец периода фазирования и начало передачи сообщения;

B<sub>1</sub> — район, для которого передается сообщение;

B<sub>2</sub> — буква, определяющая тип сообщения, например: А — навигационные предупреждения, В — штормовые предупреждения, С — ледовые прогнозы; D — информация о поиске и спасении, Е — прогнозы погоды, F — лоцманское сообщение;

B<sub>3</sub>B<sub>4</sub> — порядковый номер сообщения, начинающийся с 01;

NNNN — конец передачи сообщения;

@@@ — сигналы холостого хода, свидетельствующие об окончании передачи всех сообщений.

Весьма важным моментом в любой радиосвязи является определение «имени» корреспондента, который работает в эфире. Особенно это необходимо при приеме сигналов судовых радиостанций. Для этих целей в конце 60-х годов в МКР был разработан пятизначная система опознавания судов — система SSFC.

Однако бурное развитие цифровых видов радиосвязи привело к необходимости создания принципиально новой системы идентификации. В 1983 г. на Всемирной Административной Радиоконференции по подвижным службам такая система опознавания, отвечающая всем необходимым требованиям, была принята [3]. В нее входят 9 цифр, позволяющие осуществить идентификацию судовых станций, береговых радиостанций, судовых спутниковых станций, береговых спутниковых станций, а также использовать для групповых вызовов (вызова группы судов).

Вид судового опознавателя — MJDXXXXXX, где MJD — цифры опознавания морских абонентов, характеризующие их национальную принадлежность; X — любые цифры от 0 до 9, являющиеся цифровым позывным судна.

Вид группового опознавателя — 0MJDXXXXXX, где на первом месте передается ноль; MJD — национальные идентификаторы; X — цифровые позывные судна.

Вид берегового опознавателя — 00MJDXXXXXX, где первые две цифры являются нулями; MJD — национальные идентификаторы; X — любые цифры от 0 до 9.

Международным Союзом электросвязи было произведено распределение трехзначных национальных признаков. При этом первая цифра национального идентификатора характеризует географическое местоположение страны: 2 — для Европы; 3 — Северной Америки; 4 — Азии; 5 — Океании и Юго-Восточной Азии; 6 — Африки; 7 — Южной Америки.

И в заключение несколько слов о международных частотах безопасности. Ниже приведен их список. От опубликованного в [1] он отличается большим количеством дополнительных каналов и частот диапазона УКВ.

Международные частоты, применяемые для связи в случаях тревоги, безопасности, бедствия, поисков и спасения:

490 кГц — вызовы в случаях бедствия и безопасности береговыми станциями (ЦИВ<sup>1</sup>, БГМС<sup>2</sup>);  
500 кГц — бедствие и безопасность (телеграф кода Морзе);

<sup>1</sup> ЦИВ — цифровой избирательный вызов;

<sup>2</sup> БГМС — будущая глобальная морская система бедствия и безопасности.

518 кГц — навигационные и метеорологические предупреждения (система «Навтекс»);

2174,5 кГц — бедствие и безопасность (буквопечатающие, БГМС);

2182 кГц — бедствие и безопасность (телефон), используют суда, самолеты, радиомаяки — указатели места бедствия;

2187,5 кГц — бедствие и безопасность (ЦИВ, БГМС);

3023 кГц — координационные операции по поиску и спасению морских и воздушных судов (SSB);

4125 кГц — бедствие и безопасность, включая связь судно — самолет + вызовы в режиме SSB;

4177,5 кГц — бедствие и безопасность (буквопечатающие, БГМС);

4188 кГц — бедствие и безопасность (ЦИВ, БГМС);

5680 кГц — координированные операции по поиску и спасению морских судов в режиме SSB;

6215,5 кГц — бедствие и безопасность + вызовы (SSB);

6268 кГц — бедствие и безопасность (буквопечатающие, БГМС);

6282 кГц — бедствие и безопасность (ЦИВ, БГМС);

8257 кГц — бедствие и безопасность (SSB, БГМС);

8357,5 кГц — бедствие и безопасность (буквопечатающие, БГМС);

8364 кГц — аварийный вызов, операции по поиску и спасению морских и воздушных судов (телеграф кодом Морзе);

12392 кГц — бедствие и безопасность (SSB, БГМС);

12520 кГц — бедствие и безопасность (буквопечатающие, БГМС);

12563 кГц — бедствие и безопасность (ЦИВ, БГМС);

16522 кГц — бедствие и безопасность (SSB, БГМС);

16695 кГц — бедствие и безопасность (буквопечатающие, БГМС);

16750 кГц — бедствие и безопасность (ЦИВ, БГМС);

121,1 МГц — аварийная частота воздушной подвижной службы + связь с радиомаяками — указателями места бедствия (телефон);

123,1 МГц — резервная частота к 121,5 МГц + связь при поисках и спасении (телефон);

156,3 МГц — координированные операции по поиску и спасению морских и воздушных судов, безопасность (телефон);

156,525 МГц — бедствие и безопасность (ЦИВ, БГМС);

156,65 МГц — навигационная безопасность судов (телефон);

156,8 МГц — бедствие и безопасность (телефон);

156,825 МГц — бедствие и безопасность (буквопечатающие, БГМС);

243 МГц — радиомаяки — указатели места бедствия в спутниковой службе (Земля-Космос);

406,0 — 406,1 МГц — радиомаяки — указатели места бедствия + запасная к 121,5 МГц (телефон);

1544 — 1545 МГц — связь Космос-Земля при операциях по поиску и спасению (телефон);

1645,5 — 1646,5 МГц — связь Космос-Земля при операциях по поиску и спасению (телефон).

М. ПАРАМОНОВ

г. Москва

## ЛИТЕРАТУРА

1. Нетрадиционный DXинг. — Радио, 1993, № 4.
2. Морская радиосвязь и радионавигация. — М.: Транспорт, 1987.
3. Опователи в морской подвижной службе. Приложение 43 к Регламенту радиосвязи.





К 100-ЛЕТИЮ СО ДНЯ РОЖДЕНИЯ А. И. БЕРГА

## КОРМЧИЙ ОТЕЧЕСТВЕННОЙ РАДИОЭЛЕКТРОНИКИ И КИБЕРНЕТИКИ

В ноябре нынешнего года научная общественность нашей страны отмечает столетие со дня рождения академика Акселя Ивановича Берга. Имя этого выдающегося ученого и замечательного человека широко известно и любимо. Всей своей жизнью, своей многогранной научной, государственной и общественной деятельностью он это заслужил.

Начало практической деятельности А.И.Берга, связанной с радио, относится к тому периоду, когда отечественная радиотехника только-только делала первые шаги. Заняться этой новой для него областью знаний побудила служба на военно-морском флоте, где, как вспоминал впоследствии Аксель Иванович, на достаточно высоком по тому времени уровне находилась береговая служба наблюдения и связи; включавшая в себя радиопеленгаторные станции, а между кораблями русского флота — действовала радиосвязь.

В 1914 г., по окончании специальных классов Морского корпуса в Санкт-Петербурге, молодой Берг, которому в ту пору исполнилось двадцать один год, был произведен в морские офицеры и плавал младшим штурманом на корабле «Цесаревич». Спустя два года он назначается штурманом на английскую подводную лодку «Е-8», входившую в состав русского флота. На этой субмарине Аксель Иванович принимал участие в боевых действиях в первой мировой войне, а в годы гражданской войны — командовал подводными лодками «Пантера», «Рысь», «Змея». В те годы ему и довелось пройти неплохую практи-

ческую радиотехническую школу, с которой и начался его путь в науку.

Во время учебы в Военно-морской академии в Ленинграде (1922-1925 гг.) Аксель Иванович избирает радиотехнику основным направлением своей научной деятельности. На электротехническом факультете под руководством известного ученого-радиотехника профессора И.Г.Фреймана он успешно и с большим воодушевлением занимается радиотехническими исследованиями. Еще учась в академии и после ее окончания, А.И.Берг уделял много времени преподавательской работе. Он читал общий и специальный курсы радиотехники в ряде вузов Ленинграда: в Высшем военно-морском инженерном училище, в Ленинградском электротехническом институте, в Военно-технической академии РККА им. Дзержинского, в своей альма-матер — Военно-морской академии, где был преподавателем, а затем профессором, начальником кафедры.

Работы А. И. Берга в 20-х и 30-х годах существенно способствовали развитию теории радиовещательной и радиоприемной аппаратуры. Им было опубликовано семь учебных пособий и монографий, в которых излагались методики расчета приемно-усилительных и передающих устройств. Особое значение имели результаты, полученные Акселем Ивановичем в экспериментальных исследованиях для подтверждения разработанной теории ламповых генераторов различного типа — от тетродов до пентодов. Его учебники «Общая теория радиотехники» (1925 г.) и

«Основы радиотехнических расчетов» (1928 г.) были настольными книгами ряда поколений студентов и радиоспециалистов.

Как педагог и исследователь Берг постоянно и неукоснительно придерживался принципов, которые считал основополагающими. Все теоретические расчеты, учил он, следует непременно проверять экспериментально; метод расчета должен быть научно обоснован, достаточно точен, но прост и доступен для понимания инженерами. Этому он всегда требовал от своих учеников и последователей.

В конце 20-х и начале 30-х годов правительство часто командировало Акселя Ивановича за границу для знакомства с состоянием исследований в области радиотехники и заключения договоров на поставку радиоизмерительной аппаратуры в СССР. Он неоднократно бывал в Германии, Франции, Италии, США. Успешным заграничным командировкам во многом способствовало прекрасное знание Бергом основных европейских языков — немецкого, французского, английского и итальянского.

Неоценимый вклад внес А.И.Берг в укрепление обороноспособности страны. В созданном им Научно-исследовательском морском институте связи Военно-морских сил РККА осуществлены глубокие исследования свойств ультракоротких волн и возможности их применения в технике коммуникации, навигации, опознания. Под его непосредственным руководством за время с 1928 по 1934 гг. был разработан и внедрен на флоте ряд эффективных систем радиооружия, в частности «Блокада-I», а затем — «Блокада-II», обладающая более высокими техническими характеристиками.

Казалось бы, успешным научным поискам Акселя Ивановича, дававшим отличные практические результаты, не будет предела. Удача сопутствовала в любом деле, за которое он брался. Однако в конце 1937 г. блестящая служебная карьера ученого внезапно оборвалась. Прокатившаяся по стране волна репрессий захватила и его. Дворянское происхождение, нерусская фамилия, служба на царском военно-морском флоте, поездки за рубеж и встречи с иностранными специалистами — все это делало персону Берга «опасной» и уязвимой в период массовых разоблачений «врагов народа». Аксель Иванович был арестован.

По словам очеaidцев, Берг с удивительной стойкостью и мужеством переносил все ужасы лубянской тюрьмы. Интересен такой факт. В соседних камерах оказалось много заключенных моряков. Аксель Иванович с помощью азбуки Морзе налаживал с ними связь и всячески вселял бодрость духа в своих собратьев по несчастью. Его оптимизм, доброжелательность, моральная поддержка помогали людям выдержать страшные испытания.

Было время, когда Аксель Иванович находился в одной камере с известным авиаконструктором А.Н.Туполевым и будущим Маршалом Советского Союза К.К.Рокоссовским. Коротая время, они читали друг другу лекции, каждый по своей специальности, а Берг, дополнительно, — по истории, литературе, поэзии. Он обладал изумительной памятью, знал наизусть всего «Евгения Онегина», массу стихов, читал их не только на русском языке, но и



на немецком, французском, английском.

Отменная память в какой-то мере помогла ему в дальнейшем доказать свою невиновность.

В тюрьме А.И.Берг провел 1000 дней! (Именно это число он обычно называл, а не «около трех лет» или «два года и девять месяцев»).

В семье Бергов бытовала следующая версия об освобождении из заточения Акселя Ивановича. Привожу ее со слов старшей дочери Берга — Марины Акселевны, воспоминания которой пока, к сожалению, не удалось опубликовать.

«В 1939 г. на Черном море шли испытания связи между кораблями в условиях, приближенных к военным. Испытания срывались. Присутствовал на испытаниях К.Е.Ворошилов. Он спросил:

— А где Берг?

— Он арестован, — ответили ему.

— Разобраться и доложить лично.

Так отец вернулся домой».

А вот как писал об этой истории вице-адмирал-инженер Я.Г.Вараксин:

«1937 г. был годом тяжелых испытаний для Акселя Ивановича. Он был подвергнут несправедливым репрессиям. Как начальника НИИ связи ВМФ, меня назначили председателем комиссии, которой было поручено рассмотреть протест А.И.Берга против обвинений, выдвинутых в его адрес. Все, что ставилось в вину Бергу, он опровергал со ссылкой по памяти на соответствующие документы, хранящиеся в институте. После тщательного изучения всех материалов комиссия пришла к выводу, что обвинения, выдвинутые против А.И.Берга, не имели оснований...»

В мае 1940 г. Аксель Иванович был освобожден и полностью реабилитирован. Он был восстановлен во всех правах и вскоре направлен на преподавательскую работу в Военно-морскую академию».

Когда началась Великая Отечественная война, Аксель Иванович Берга вновь привлекли к работам, связанным с усилением обороноспособности страны. В 1941 г. ему присвоили звание инженера-контр-адмирала. (В связи с этим Аксель Иванович шутил: «Из контр-революционера сразу попал в контр-адмиралы»).

В ходе войны большое значение приобрели радиотехнические средства, особенно радиолокация. Предвидение Берга о нарастающей значимости техники сверхвысоких частот сбылось. Армию и флот нужно было срочно оснастить средствами радиолокации. Выполнение этого ответственного задания было возложено на А.И.Берга, который являлся заместителем председателя Совета по радиолокации при Государственном комитете обороны. В труднейших условиях военных лет, в борьбе с косностью некоторых хозяйственников и сопротивлением руководящих органов, считавших, что сейчас, мол, нужно выпускать танки и оружие, а не радиолокаторы, Аксель Иванович с присущей ему энергией и деловитостью сумел наладить выпуск радиолокационной техники. В 1946 г. во многом благодаря усилиям Берга было принято постановление правительства о радиолокации. Предложения Акселя Ивановича по радиоперевооружению нашего флота и армии начали внедряться.

Заслуги А.И.Берга как организатора науки, государственного деятеля, идеолога отечественной радиотехники трудно переоценить. Это благодаря ему в 1943 г. был создан Центральный научно-исследовательский ра-

диотехнический институт (ЦНИРТИ), в 1953 г. он становится директором-организатором Института радиотехники и электроники (ИРЭ), по его инициативе начиная с 1945 г. в технических вузах создаются несуществовавшие ранее специальности и факультеты, готовящие радиоинженеров и исследователей нового типа.

Влияние А.И.Берга на научно-технический прогресс особенно возрастает после того, как в 1953 г. его назначают заместителем Министра обороны СССР. В эти годы происходит интенсивное «изменение лица радиотехнической науки». Возникают самостоятельные разделы радиотехники — радиолокация, импульсная техника, физика полупроводников, техника сверхвысоких частот. Начинает складываться вычислительная техника, делают первые шаги автоматизированные системы. Радиотехника стала проникать в самые разнообразные области человеческой деятельности. Этот процесс преобразования привел к тому, что сложилась новая отрасль техники — радиоэлектроника. И во всем этом прослеживается роль А.И.Берга, его активное участие.

Именно тогда начинается новый плодотворный период в жизни Акселя Ивановича — научная и организационная деятельность в АН СССР, которая ознаменовалась борьбой за репрессированную науку — кибернетику. В те годы некоторые ученые мужи не принимали ее, считая «реакционной лженаукой». Однако победил разум и дар предвидения Берга, везде и всюду доказывавшего, что кибернетике — универсальной науке об управлении — принадлежит будущее.

В своих выступлениях А.И.Берг часто обращал внимание аудитории на происхождение термина «Кибернетика», поясняя при этом, что слово это происходит от греческого «Кибернаутис» — кормчий, управляющий рулем. Не будет преувеличением, если мы скажем, что и сам Аксель Иванович был истинным кормчим, управляющим развитием в нашей стране таких важных научно-технических направлений, как радиотехника, радиоэлектроника, кибернетика.

В 1959 г. А.И.Берг заслуженно занял пост председателя Научного совета по комплексной проблеме «Кибернетика» Академии наук СССР, который возглавлял до последних дней жизни.

Отмечая столетие со дня рождения А.И.Берга, нельзя не вспомнить о его большой общественной работе. С его именем связано создание Всесоюзного научного общества радиотехники и электросвязи имени А.С.Попова, председателем которого он был долгие годы. Ему обязано своим рождением издательство «Советское радио», организовавшее выпуск литературы по новым направлениям радиоэлектроники. А.И.Берг принимал деятельное участие в работе редколлегий журналов «Радиотехника», «Автоматика и телемеханика», «Электротехника».

Многие годы Аксель Иванович был активным членом редколлегий журналов «Радио». Как бы ни был занят государственными и научными делами, он часто выкраивал из до предела загруженного рабочего дня время, чтобы заехать в редакцию, пообщаться с ее работниками, проинформировать о «радиоделах». Пропаганда радиотехнических знаний и развитию радиолобительского движения в стране Аксель Иванович придавал огромное значение. Не проходило ни одной выставки творчества радиолобителей-конструкторов, на которой бы он не побывал, неизменно восхищаясь успехами народных умельцев.

«Радиолобительство, — говорил Аксель Иванович, — привлекает, воспитывает и развивает у людей потребность к знаниям. Радиолобители нередко раскрывают новые возможности радиоэлектроники, причем не только в области элементарного радиоприема, но и в области переработки и сбора информации. Таким образом, радиолобительство является как бы золотым фондом, откуда черпаются

квалифицированные кадры радиоспециалистов».

Аксель Иванович одним из первых в стране поддержал идею создания народных университетов электроники, в частности Донецкой областной школы радиоэлектроники, и внимательно следил за ее работой, помогал в решении многих проблем, связанных с ее практической деятельностью.

Об Акселе Ивановиче Берге, его биографии, вкладе в отечественную науку, разносторонней научной и общественной деятельности, написаны сотни статей, десятки книг и брошюр. Казалось бы, трудно что-либо добавить к уже написанному и рассказанному об этом удивительном человеке. И все же хочется вновь и вновь вспомнить о нем, по крупицам собирать и делать всеобщим достоянием факты и эпизоды, в той или иной мере связанные с жизнью нашего замечательного соотечественника.

Я благодарна судьбе за то, что она подарила мне возможность на протяжении долгих семидесяти лет работать под руководством Акселя Ивановича в бытность его председателем Научного совета по комплексной проблеме «Кибернетика». Ему, его практической помощи и исключительному вниманию, я во многом обязана тем, что стала доктором технических наук, целиком посвятила себя служению науке, которой так неистово и преданно служил мой учитель и наставник.

Когда мне впервые довелось познакомиться с академиком Бергом (в 1961 г.), ему было уже 68 лет. Но вот что поразительно: ни в то время, ни значительно позже Аксель Иванович не воспринимался как человек преклонного возраста. Напротив! Среди всех окружающих, многие из которых на 20–45 лет были моложе его, он был самым энергичным, жизнеутверждающим, в значительной мере самым молодым. Всегда подтянутый, с легкой улыбкой в добрых и умных глазах, Аксель Иванович производил неизгладимое впечатление при первой же встрече. И это впечатление еще более усиливалось с каждой минутой во время беседы. Он был остроумен, буквально обрушивал на собеседника массу интереснейших фактов, сведений и статистических данных. Причем речь его была доброжелательна, аргументирована и никогда не бывала скучной.

Помню, как спустя несколько лет после нашего знакомства я защищала кандидатскую. Волновалась страшно. Особенно потому, что в зале, среди других, присутствовал Аксель Иванович. Он внимательно слушал меня, иногда утвердительно кивая, едва заметно улыбаясь неповторимой «берговской» улыбкой. И это ободряло, вселяло уверенность. А после защиты счел необходимым сообщить о своем мнении на личном бланке. Я до сих пор храню его. Сердечно поздравив меня «с блестящей защитой диссертации и с присвоением ученой степени кандидата технических наук», Аксель Иванович написал: «От души желаю Вам дальнейших больших успехов, здоровья и счастья. С искренним приветом Ваш А.Берг».

В этом благородном поступке — частица Берга, его любовь и уважение к человеку, постоянное стремление делать добро людям.

\* \* \*

Зв выдающийся вклад в развитие отечественной науки, большую государственную и общественную деятельность Акселю Ивановичу Бергу было присвоено звание Героя Социалистического Труда, он награжден многими орденами и медалями, в таске Золотой медалью имени А.С.Попова.

Е. МАРКОВА,  
доктор технических наук

г.Москва





# ВИДЕОТЕХНИКА ФОРМАТА VHS

## Блоки цветности видеомagnetофонов на микросхемах фирмы MATSUSHITA

Блок цветности видеомagnetофонов VHS — один из самых сложных функциональных узлов — выполняют в основном на специализированных аналоговых БИС большой степени интеграции. Цифровые методы обработки сигналов цветности (и яркости) широкого распространения пока не получили. Их используют сейчас лишь в моделях очень высокого класса. К нам такие аппараты практически не ввозят из-за дороговизны (цены выше в 5...10 раз по сравнению с аппаратами среднего класса известных фирм).

Функционирование канала цветности видеомagnetофона в системе ПАЛ довольно подробно рассмотрено в [1]. Однако в свете вопросов адаптации статья не позволяет выявить существенные отличия каналов цветности видеомagnetофонов VHS различных систем. Кроме того, блоки цветности ПАЛ большинства современных моделей выполняют по структурным схемам, значительно отличающимся от рассмотренной (рис. 10, в [1]).

Один из важных вопросов при переделке видеомagnetофонов НТСЦ — различие режимов работы переключателя фазы в поле В телевизионного сигнала для систем НТСЦ ( $-90^\circ$  — запись,  $+90^\circ$  — воспроизведение) и ПАЛ (фаза постоянна). Для понимания этого рассмотрим работу переключателя фазы на примере структурной схемы, изображенной на рис. 1, из патента США № 4079412 фирмы JVC [2]. Устройство управляется отселектированными из записываемого или воспроизводимого видеосигнала строчными синхроимпульсами 60. Узел ФАПЧ 61 формирует сигнал 4f частотой 2517,484 кГц (НТСЦ) или 2500 кГц (ПАЛ), поступающий на четырехфазный генератор-делитель частоты 63, на выходах которого получаются колебания частотой f с начальными фазами 0, 90, 180 и 270°. Частота колебаний в системе НТСЦ (629,371 кГц) численно равна частоте перенесенного сигнала цветности. В системе ПАЛ значение частоты колебаний (625 кГц) на 1,953 кГц ниже частоты перенесенного сигнала цвет-

ности (626,953 кГц), что можно назвать недостатком этого способа, так как он не позволяет синхронизировать образцовый кварцевый генератор системы АПФ блока цветности в режиме записи из-за различия частот КГУН (4435,572 кГц) и вспышки записываемого сигнала (4433,619 кГц).

Сдвинутые по фазе сигналы генератора 63 приходят на селектор 65, представляющий собой восьмиразрядный мультиплексор. Его полный функциональный аналог — например, микросхема K561КП2. Мультиплексор управляется сигналами двуразрядного кода (входы А и В), поступающими с делителей частоты строчных импульсов 62 и 68. Направление фазового сдвига в полях А и В ( $+90^\circ$ ,  $-90^\circ$ ) реверсируется сигналом переключения головок формы меандр, воздействующим на вход С мультиплексора 65. Для устранения фазового дрожания фронтов его выходной сигнал проходит через устройство синхронизации 70, выполненное на D-триггере.

В устройстве не предусмотрен переключатель записи-воспроизведения, так как смена направлений фазовых скачков поднесущей цветности происходит автоматически благодаря используемому виду преобразования  $f_c - f_s$ , то есть при вычитании частоты сигнала из частоты гетеродина направление последовательности фазовых скачков меняется на противоположное. Для переключения систем НТСЦ, ПАЛ и МЕСЕКАМ в БИС канала цветности обычно используют трехуровне-

вый сигнал переключения 69 (с изменяющимся размахом или постоянной составляющей).

Комплект БИС фирмы MATSUSHITA широко использован в ранних моделях видеомagnetофонов разных фирм, например SHARP — VC140ED, PANASONIC — NV333 и др. Полные аналоги БИС этого комплекта — микросхемы серии KP1005, примененные в видеомagnetофоне "Электроника ВМ-12". В комплект входят микросхемы AN6360 (KP1005XA6), AN6362 (KP1005XA7), AN6371 (KP1005PC1), AN6361 (аналогична AN6371), AN6551 (KP1005UD1), AN6342N (KP1005PC2).

Вариант переделки блока цветности НТСЦ для работы в системах ПАЛ/МЕСЕКАМ рассмотрим на примере видеомagnetофона NATIONAL-NV700 фирмы MATSUSHITA. Принципиальная схема его блока цветности показана на рис. 2. Так как работа канала цветности для систем ПАЛ/МЕСЕКАМ подробно описана в [1], здесь целесообразно указать только схемные отличия этих двух близких вариантов блоков.

Основной преобразователь сигналов цветности выполнен на микросхеме AN6360 (IC1). В режиме записи ППТС с переключателя входов S1 (TV-AUX-CAMERA) поступает на полосовой фильтр FL2, выделяющий сигнал цветности. При переделке его заменяют на фильтр B12-1 видеомagnetофона "Электроника ВМ-12". В случае его отсутствия можно применить фильтр, собранный на дискретных элементах по схеме на рис. 3. При этом резисторы R8006 и R7 должны иметь сопротивление 1 кОм (0,125 Вт). Допустимые отклонения номиналов элементов — не более  $\pm 5\%$ . Фильтр экранируют. Перенесенный в низкочастотную область сигнал цветности  $f_c'$  с вывода 12 микросхемы IC1 приходит на фильтр НЧ FL3, параметры которого удовлетворительны для всех трех систем (НТСЦ, ПАЛ, МЕСЕКАМ). Поэтому заменять его не требуется.

Выходной сигнал цветности с движка резистора R201 ("REC.C"), регулирующего ток записи, проходит на выход блока через режекторный фильтр L7C23 для суммирования с сигналом яркости. При переделке необходимо, чтобы катушка L7 имела индуктивность 33 мкГн, а конденсатор C23 — емкость 39 пФ. При этом будут дополнительно подавляться частоты поднесущей цветности  $f_s$  (4,43 МГц).

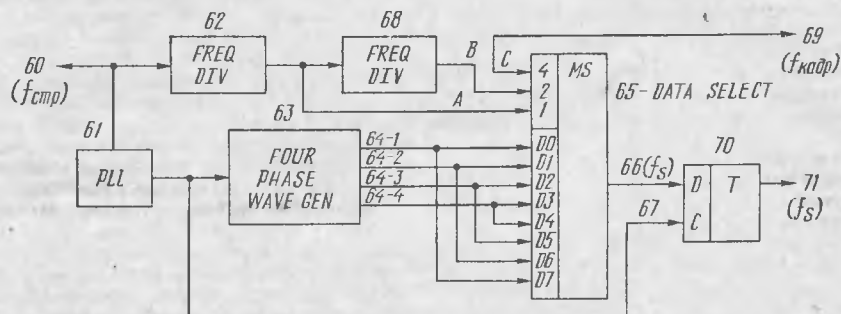


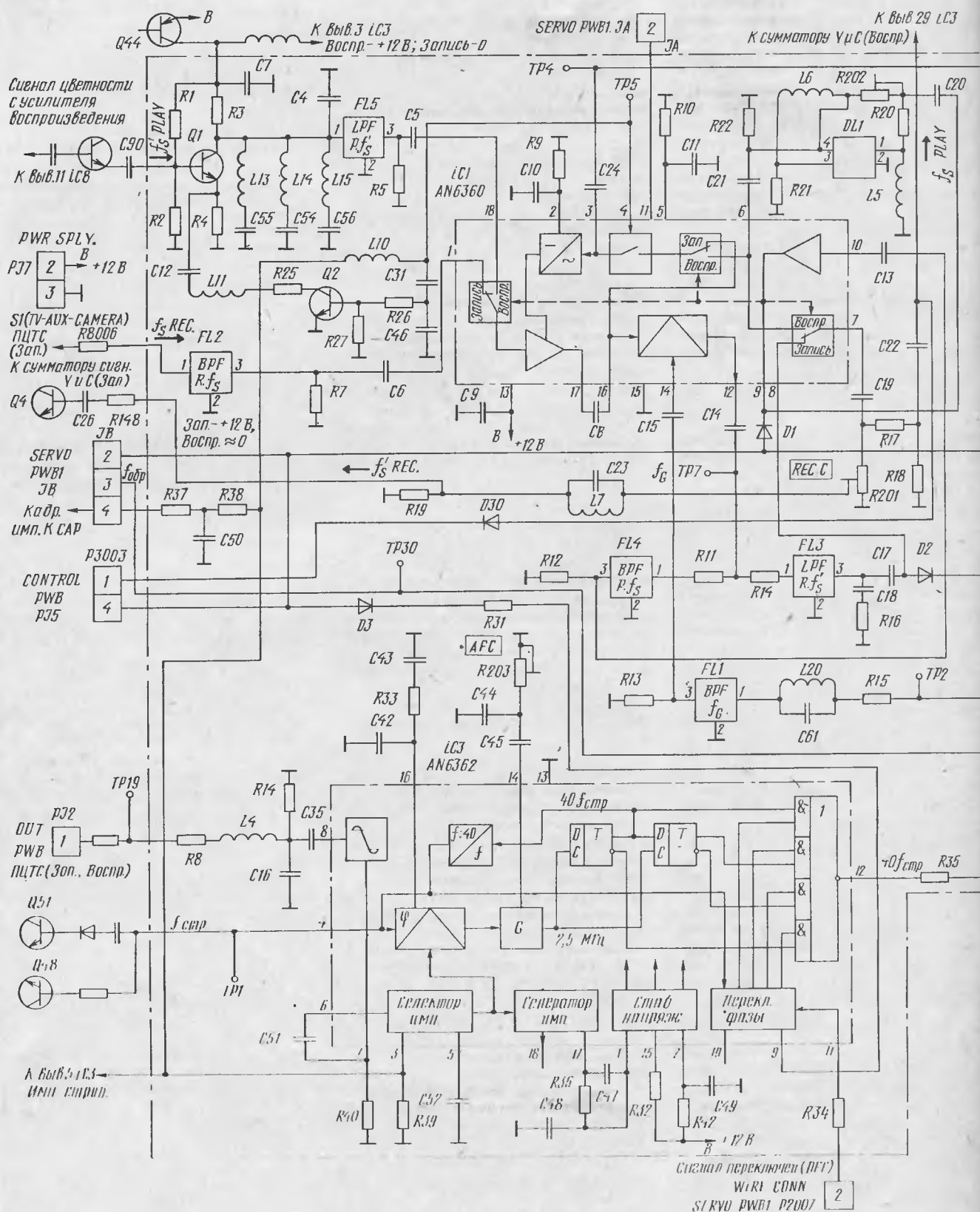
Рис. 1



В режиме воспроизведения считываемый с ленты и усиленный сигнал цветности  $f'_c$  поступает на фазовый корректор, собранный на транзисторе Q1, а затем на фильтр НЧ FL5, параметры которого удовлетворительны и для систем ПАЛ/МЕСКАМ. Поэтому заменять его также не требуется.

Каскад на транзисторе Q1 имеет интересную особенность. Последовательный контур C12L11R25, включаемый на время действия вспышки транзистором Q2, изменяет соотношение уровней сигнала цветности и вспышки, то есть сигнал цветности уменьшается по

сравнению с вспышкой. Можно предположить, что при использованном напряжении питания +12 В и малых потерях в линии задержки DL1 сигнал цветности "вписывается" в линейный участок амплитудной характеристики тракта и поэтому его специально уменьшают. Однако возможны и другие



причины введения такой цепи, например, увеличение отношения сигнал/шум в системе АПФ.

Перенесенный в исходную частотную область сигнал цветности  $f_c$  выделяется полосовым фильтром FL4. Его необходимо заменить на фильтр Б12-2 видеомagnetифона "Электроника ВМ-12". При самостоятельном

изготовлении фильтра необходимо иметь в виду повышенные требования к его избирательности. При полосе пропускания 3,8...4,8 МГц по уровню — 3 дБ полоса пропускания по уровню — 20 дБ должна быть не шире 3,4...5,2 МГц. Кроме того, для изготовления катушек фильтра необходимо применять гантелевидные ферритовые магнитопроводы или

ферритовые кольца или помещать фильтры в эффективные экраны. Невыполнение этих требований приводит к появлению на изображении муаров и мешающих сеток.

Так как гребенчатый фильтр канала цветности на ультразвуковой линии задержки DL1 не удовлетворяет необходимым требованиям в системе ПАЛ, необходимо его замена. Однако простая замена линии DL1 на УЛЗ-128-2а может не дать требуемого эффекта из-за повышенного на 5...6 дБ затухания в ней. В этом случае необходим дополнительный усилитель. Его можно собрать по схеме фильтра видеомagnetифона "Электроника ВМ-12". Необходимо также, чтобы катушки L5 и L6 имели индуктивность 6,8 мкГн, а резисторы R20—R22 — сопротивление 390 Ом (0,125 Вт).

Система автоматической подстройки фазы сигнала гетеродина выполнена на микросхеме AN6361 (IC2). В блоке цветности системы ПАЛ обычно применяют микросхему AN6371. Однако и БИС AN6361 нормально работает в системах ПАЛ/МЕСЕКAM в режиме воспроизведения. Что касается режима записи, вполне вероятно, что в БИС AN6361 цепь АПФ замкнута и в этом режиме, что может отрицательно сказаться на качестве записи в системе ПАЛ. Этот вопрос нуждается в более подробном анализе. Тем не менее в образце видеомagnetифона NATIONAL-NV700, переделанном автором, в записях по системе ПАЛ не наблюдалось сколько-нибудь заметного снижения качества цвета.

Для переделки системы АПФ кварцевый резонатор X1 необходимо заменить на резонатор РК188МА-ВМ-1 частотой 4435,572 кГц, а резонатор X2001 в САР — на резонатор РК188МА-ВМ-2 частотой 4433,619 кГц (в системе САР использован отдельный образцовый генератор). В КГУН катушка L9 должна иметь индуктивность 5 мкГн, конденсатор C37 — емкость 3,9 пФ, а конденсатор C38 — 6,2 пФ. В фазовращателе сигнала вспышки катушка L8 должна иметь индуктивность 47 мкГн, а конденсатор C25 — емкость 15 пФ.

С целью обеспечения работы канала цветности в режиме записи сигналов ПАЛ и в системе МЕСЕКAM необходимо блокировать прохождение вспышек на фазовые детекторы системы АПФ, для чего собирают дополнительный узел по схеме на рис. 4 (резистор R24 в блоке нужно исключить). Что касается цепи коррекции фазы, отсутствующей в канале цветности видеомagnetифона (вывод 11 микросхемы IC2), ее восстановление не приводит к заметному улучшению качества воспроизведения, а в некоторых случаях даже его ухудшает. При желании цепь можно восстановить по схеме канала цветности в [1].

Входной сигнал гетеродина системы АПФ выделяется полосовым фильтром FL1. При переделке его необходимо заменить на фильтр Б12-3 видеомagnetифона "Электроника ВМ-12". Резистор R13 должен быть сопротивлением 1,2 кОм, а резистор R15 — 1 кОм. При этом режекторный фильтр L20C61 замыкают накоротко или перестраивают на частоту 4,43

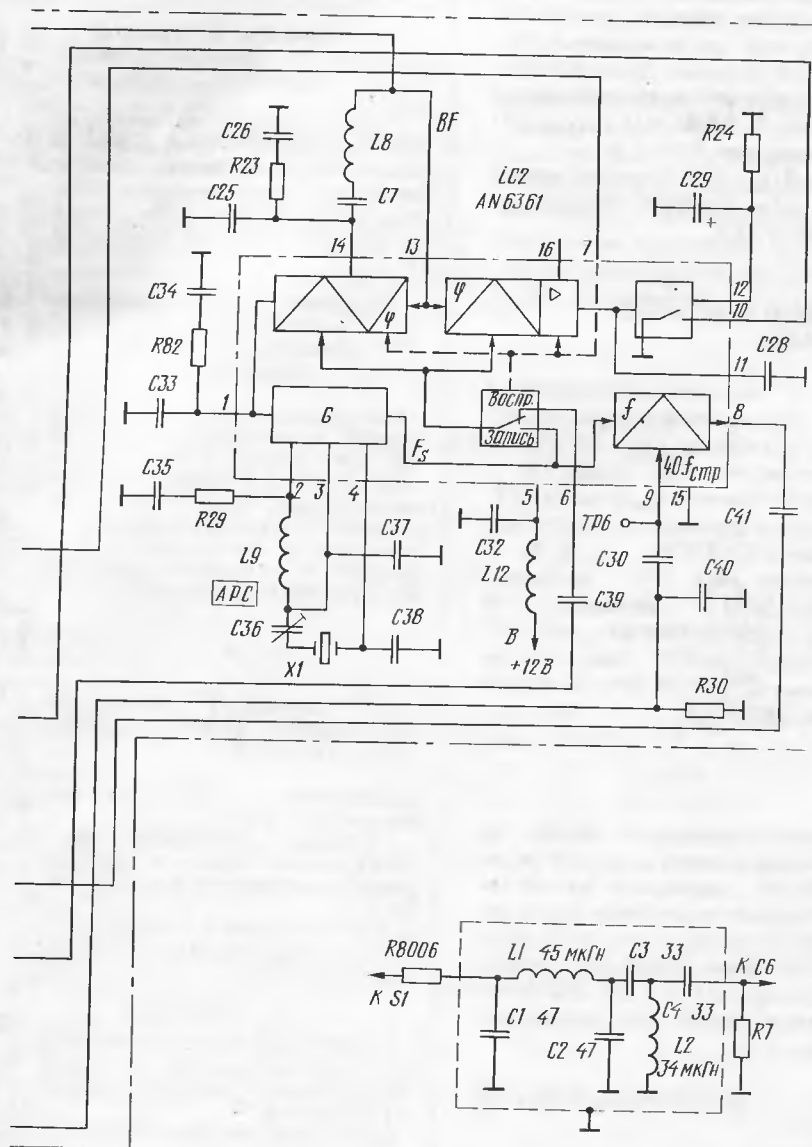


Рис. 3

Рис. 2

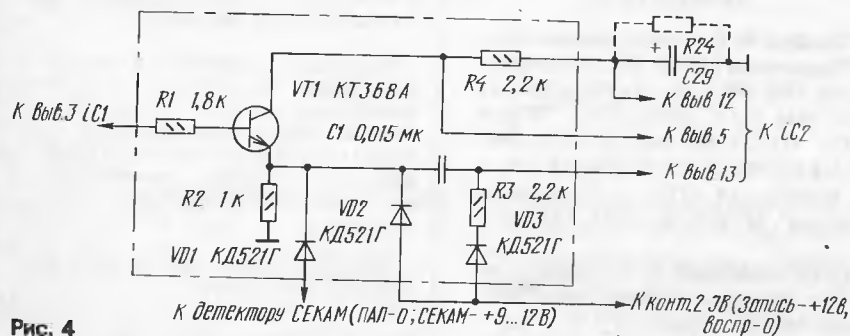


Рис. 4



По гарантийному письму высыла-  
ется счет для оплаты.



СПУТНИКОВОЕ  
ТЕЛЕВИДЕНИЕ

# ТЮНЕР ДЛЯ ПРИЕМА СТВ

## СЕРВИСНЫЕ УСТРОЙСТВА

Рассмотренный ранее тюнер для приема СТВ («Радио», 1993, №4–7) можно сделать более удобным в эксплуатации, если оборудовать устройством дистанционного управления (ДУ) и выбора поляризации. Следует отметить, что в настоящее время практически все зарубежные модели тюнеров оснащены устройствами ДУ на ИК лучах и специальными выходами для изменения положения антенны и поляризатора.

Изменяется номер выбранного канала. Настройка канала звука может быть «привязана» к каналу изображения, а может быть индивидуальной. Кроме того, устройство обеспечивает переключение режимов работы: включение тюнера из дежурного режима (stand by) и выключение, коммутацию выходов, управление поляризатором и др. Управлять тюнером можно как с лицевой панели, так и с пульта

кой, так и электрической частей, хотя они имеют меньшие потери в рабочем диапазоне частот. Тем не менее зарубежные фирмы-изготовители продолжают оснащать свои тюнеры выходом на электромеханический поляризатор. Иногда его выполняют в расчете как на электромеханический, так и на ферромагнитный поляризатор. Есть также тюнеры, работающие только с ферромаг-

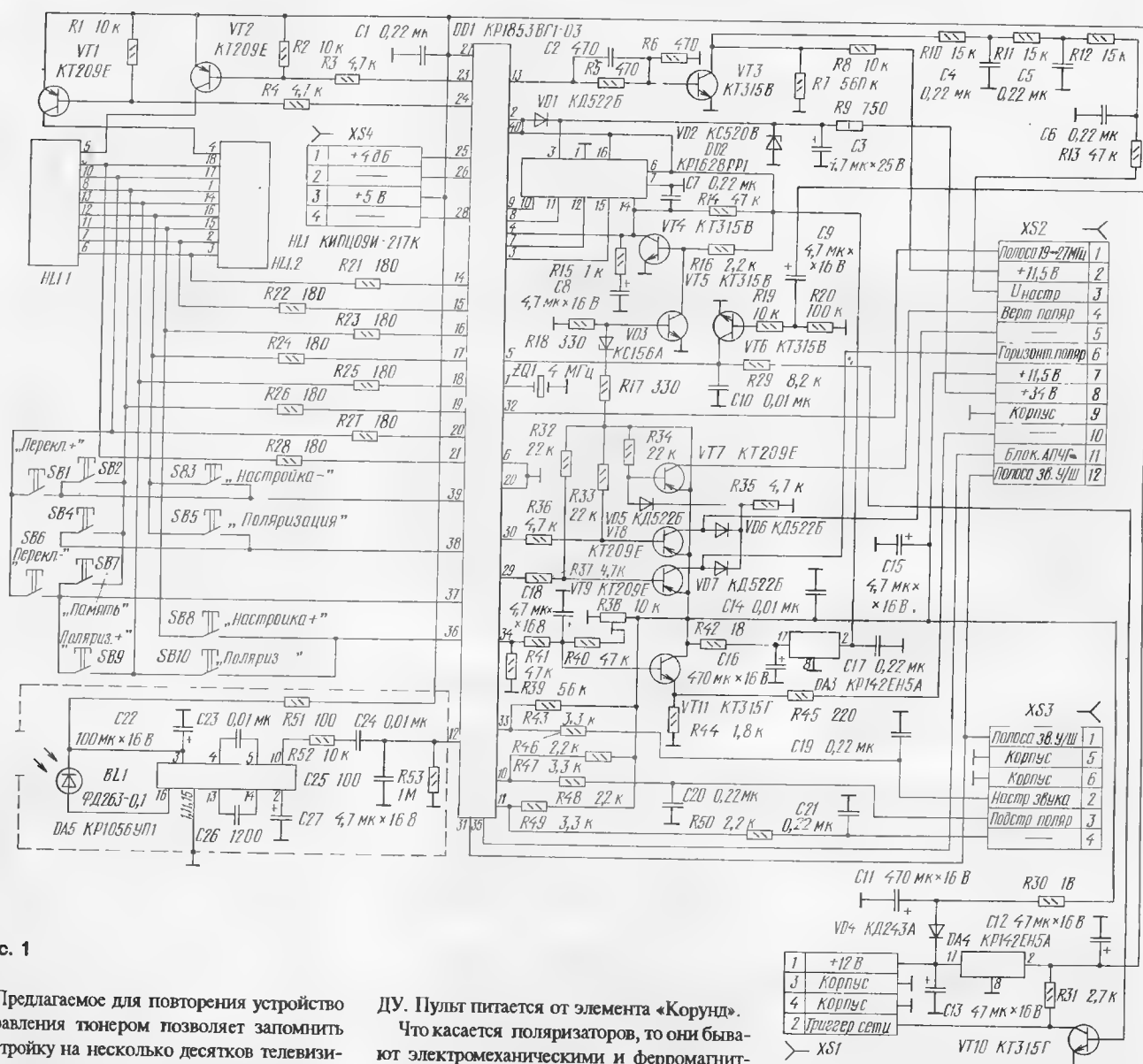


Рис. 1

Предлагаемое для повторения устройство управления тюнером позволяет запомнить настройку на несколько десятков телевизионных каналов, но при необходимости и перестроить тюнер на любую частоту рабочего диапазона. На цифровом индикаторе высве-

ДУ. Пульт питается от элемента «Корунд».

Что касается поляризаторов, то они бывают электромеханическими и ферромагнитными. Электромеханические поляризаторы постепенно выходят из употребления из-за относительной сложности как их механичес-



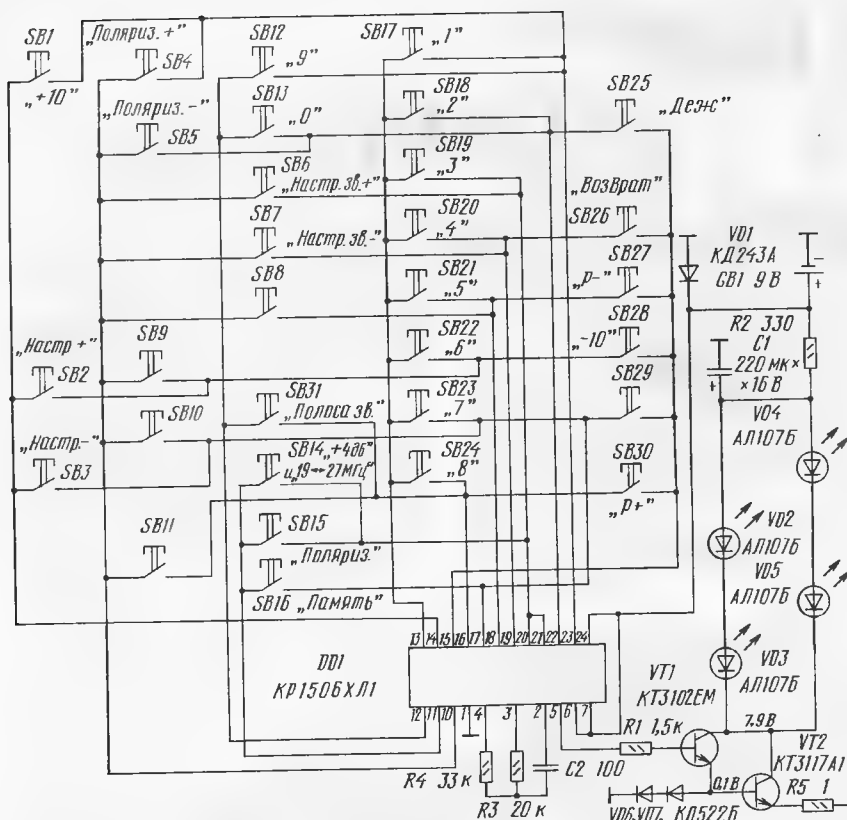


Рис. 2

нитными поляризаторами.

Ферромагнитные поляризаторы выпускают в нашей стране, причем частотнозависимые и частотнонезависимые. Основным недостатком частотнозависимого поляризатора следует указать уменьшение, причем по нелинейному закону, тока через его обмотку, необходимого для удержания выбранной плоскости поляризации электромагнитного поля, с ростом частоты. Поэтому требуется запоминание тока через поляризатор в каждом конкретном случае, что значительно усложняет его электронную часть.

Если антенна имеет полную подвеску, то установленный угол плоскости поляризации при переходе с восточной долготы на западную меняется незначительно. Для корректировки поляризации современные тюнеры имеют ручную подстройку (двумя подстроечными резисторами, установленными на задней панели аппарата).

В предлагаемом варианте устройства управления тюнером использовано устройство ДУ на микросхеме КР1853ВГ1-03, предназначенное для работы с телевизором. Устройство управления поляризатором может работать как с частотнозависимым, так и с частотнонезависимым поляризатором. Необходимо заметить, что все регулировки описанного ранее тюнера обеспечиваются электронным способом, что и дало возможность легко состыковать его с этим устройством ДУ. В устройстве применен промышленный блок ДУ от телевизоров «Банга». Обычно его продают в комплекте с пультом ДУ. На плате со стороны фольги должен быть нанесен номер

572-00. Иногда встречаются устройства ДУ на микросхеме американской фирмы ИТТ, которые выполняют аналогичные функции. Они также могут быть использованы для работы с тюнером.

Для сопряжения с цепями управления тюнера служит вспомогательный блок, содержащий в основном транзисторные ключи. На его печатной плате расположено также устройство для управления ферромагнитным поляризатором, рассчитанное на подключение частотнозависимого или частотнонезависимого поляризатора. Для переключения вида поляризатора на задней панели тюнера необходимо установить специальный переключатель.

С пульта ДУ можно:

1. Включать тюнер из дежурного режима и выключать его.
2. Настраивать тюнер на каналы с номера 0 до 55 и запоминать установленные напряжения настройки, причем при выключении аппарата из сети информация не стирается и может сохраняться длительное время.
3. Переключать каналы в любом порядке и по кругу в обоих направлениях, причем система АПЧ сигнала изображения блокируется автоматически.
4. Настраивать канал звука в интервале частот 5...8 МГц, при этом последняя настройка запоминается автоматически или при нажатии соответствующей кнопки.
5. Переключать ширину полосы пропускания тюнера по каналу изображения.
6. Переключать ширину полосы пропускания канала звука и запоминать ее.

7. Переключать, плавно регулировать и запоминать на любом канале выбранную поляризацию принимаемого телевизионного канала.

При работе с панели управления самого тюнера дублируются функции 2,3,7 пульта ДУ.

К достоинствам описываемого устройства, по мнению автора, относится возможность выполнения любых операций с пульта ДУ. Недостатком можно назвать слишком долгую настройку при переключении каналов, что объясняется большим числом шагов настройки. Практическая эксплуатация тюнера показала, что наиболее удобно пользоваться таким устройством при работе с одним спутником. Поиск каналов на новом спутнике несколько затруднен.

Принципиальная схема использованного промышленного блока управления для телевизоров изображена на рис. 1. На ней нумерация элементов дана такой же, как на заводской печатной плате. Поскольку принцип работы этих устройств известен, то необходимо рассказать только о его выходных цепях, чтобы было ясно, какие из них можно использовать в нашем случае.

На выводе 13 микросхемы DD1 присутствуют прямоугольные импульсы, ширина которых при настройке на телевизионный канал мелкими шагами изменяется вплоть до постоянного напряжения. При нажатии на кнопку SB3 «Настройка →» ширина импульсов уменьшается, а при нажатии на кнопку SB2 «Настройка +» увеличивается. Из этих импульсов на коллекторе транзистора VT3 после сглаживающей цепи R10C4R11C5R12C6R13 формируется постоянное напряжение, которое воздействует в дальнейшем на варикапы селектора каналов. Но в тюнере настроечное напряжение 0...31 В получается на выходе ОУ, поэтому настроечное напряжение 0...11,5 В с указанной цепи поступает на его вход. Именно поэтому на коллектор транзистора VT3 через резистор R8 подано (контакт 2 соединителя XS2) постоянное напряжение +11,5 В, а не +31 В, как при работе с телевизором.

На контакт 8 соединителя XS2 подают напряжение +34 В с источника питания тюнера. При этом резистор R9 должен иметь сопротивление 750 Ом.

Транзисторы VT7—VT9 в устройстве использованы для переключения поляризации входа тюнера. Транзистор VT7 включает вертикальную поляризацию, а транзистор VT9 — горизонтальную. Транзистор VT8 в нашем случае не использован. На контакт 7 соединителя XS2 подано напряжение +11,5 В с источника питания тюнера. Вывод 35 микросхемы DD1 предназначен для блокировки системы АПЧ на время переключения каналов. Он соединяется с общим проводом соответствующим ключом микросхемы.

С контакта 12 соединителя XS2 или 1 соединителя XS3 снимается напряжение для регулировки ширины полосы пропускания канала звука. Контакт 2 соединителя XS3 подключенный через резистор R46 к выводу

# ПЛИС - НОВЫЙ КЛАСС МИКРОСХЕМ

33 микросхемы DD1, использован для настройки канала звука. Необходимо отметить, что число шагов настройки на этом выходе невелико, а использовать такой способ настройки можно только при наличии системы АПЧ звука, которой в описанном ранее варианте тюнера нет. Способ введения АПЧ звука без значительной переделки НЧ части тюнера будет показан ниже.

При переходе с одного спутника на другой, особенно если они находятся на разных краях в местности приема, требуется подстройка поляризатора. Если учесть, что для нулевого напряжения на поляризаторе соответствует вертикальная поляризация (широкая сторона входного отверстия волновода конвертера условно параллельна поверхности земли), то горизонтальную поляризацию можно скорректировать, изменяя напряжение на поляризаторе. Это напряжение с вывода 10 микросхемы DD1 проходит через контакт 3 соединителя XS3 для дальнейшей обработки.

С контакта 1 соединителя XS4 снимается напряжение, автоматически увеличивающее уровень видеосигнала на выходе тюнера при работе с полосой 19 МГц (+4 дБ).

На контакт 1 соединителя XS1 поступает напряжение +12 В, которое появляется в источнике питания тюнера сразу после включения его в сеть. Контакт 2 этого соединителя использован для включения и выключения тюнера из дежурного режима.

Следует отметить, что конденсатор С9 нужно из устройства исключить, так как через него поступает положительный импульс на базу транзистора VT6, переводящий триггер сети в состояние, соответствующее включению вторичных цепей сразу после включения тюнера в сеть. В нашем случае это не требуется и включать тюнер можно с пульта ДУ.

Еще одной особенностью использования устройства следует назвать то, что на некоторых платах выходы (выводы 2) микросхем DA3 и DA4 могут быть соединены перемычкой, а в некоторых модификациях на плате установлена только одна микросхема. Если в блоке указанная перемычка имеется, то ее следует удалить.

Принципиальная схема пульта ДУ с измененными применительно к тюнеру условными обозначениями кнопок показана на рис. 2. Никакие изменения в нем не требуются. Если окажется, что устройство ДУ влияет на работу других устройств (например телевизора), то необходимо заменить кварцевый резонатор ZQ1 в блоке управления на резонатор с другой частотой и подобрать в пульте ДУ элементы генератора R3, R4, C2.

Следует помнить, что существует некоторое минимальное расстояние (30...50 см), ближе которого приемник ИК излучения может не опознать командные пакеты импульсов пульта из-за искажения длительности импульсов.

(Окончание следует)

А. ГОЛЬЦОВ

г. Москва

(Окончание. Начало см. на с. 2)

Применение ПЛИС становится актуальным еще и потому, что у разработчиков зачастую нет необходимых стандартных микросхем.

Что можно рекомендовать конструктору, решившему применять ПЛИС?

По стоимости наиболее приемлемыми являются ПЛИС серии 1556. На них можно собрать небольшие дешифраторы, регистры и другие логические устройства с общим количеством входов и выходов до 16 — 18. Однако очевидны и недостатки этих ПЛИС: относительно малая степень интеграции, большая потребляемая мощность, невысокое быстродействие и невозможность перепрограммирования.

Если названные ограничения являются критичными для разработки, необходимо остановить выбор на КМОП-ПЛИС корпорации INTEL или на их аналогах, в том числе и отечественных. Логические возможности таких схем позволяют реализовать на них не только отдельные структурные узлы, но и целые функциональные блоки, достичь быстродействия до 100 МГц и потребления тока на уровне 40—80 мА, а в статическом режиме — десятков

микроампер. Эти ПЛИС позволяют стирать и программировать микросхему несколько раз по новой конфигурации, доведя таким образом до минимума затраты на отладку аппаратуры.

Конечно, стоимость таких ПЛИС высокая, но получаемое при этом качество, как правило, оправдывает затраты. К тому же необходимо помнить, что каждая ПЛИС с УФ-стиранием имеет однократно программируемый аналог. При полном сохранении функциональных и структурных возможностей стоимость этих микросхем на 40—50% ниже, чем у перепрограммируемых.

Если вы наконец решили применять ПЛИС, необходимо позаботиться о приобретении соответствующих средств проектирования. Их перечень невелик: программное обеспечение (зарубежная система или отечественная САПР «ФОРС+») и программатор. Программаторы для ПЛИС уже имеются на российском рынке (см. журнал «Мир ПК» № 2 за 1993 г.). Они поставляются также с САПР «ФОРС+».

Мировой и отечественный опыт доказывает, что, применив однажды ПЛИС и почувствовав на практике все преимущества их использования, разработчики уже не могут отказаться от этой технологии, что благотворно сказывается на качестве их продукции.

С. ШИПУЛИН

г. Москва

## ЕСЛИ ВЫ РЕШИЛИ ПРИМЕНИТЬ ПЛИС,

то журнал «Радио» и МП «Символ-Р» помогут Вам подобрать и приобрести:

- ПЛИС в нужном ассортименте и количестве;
- программные средства САПР ПЛИС «ФОРС+»;
- необходимую конфигурацию ПК типа РС/XT/AT IBM;
- универсальный или специализированный программатор ПЛИС/ПЗУ/ОЗВМ.

### МЫ ОРГАНИЗУЕМ:

- разработку специализированных ИС на ПЛИС;
  - авторское сопровождение внедрения САПР ПЛИС «ФОРС+»;
  - подготовку специалистов на Вашем предприятии для работы на САПР ПЛИС «ФОРС+».
- Внедрение технологий на ПЛИС (без приобретения компьютера) Вам обойдется всего в 600—800 тыс. руб.

МП «Символ-Р» готов выслать Вам пакет информационных материалов и демонстрационную версию САПР ПЛИС «ФОРС+» на дискете после перевода 5800 руб. на наш расчетный счет № 334570 в Комбанке «Оптимум» в Москве РКЦ ГУЦБ РФ, коррсчет 161311, МФО 201791.

Вашу заявку с техническим требованием следует направить по адресу: 103045, г. Москва, Селиверстов пер., 10, журнал «Радио» — МП «Символ-Р». Телефон для справок 208-81-79.





# ПРИЕМНИК БЕЗ ИСТОЧНИКА ПИТАНИЯ

Высокие цены на гальванические батареи и элементы вновь заставили задуматься радиолубителей о детекторных приемниках без электрического источника питания. Такой приемник особенно полезен за городом, где бывают перебои в подаче электроэнергии. У автора детекторный приемник работает на даче (15 км от города) уже более года, он принимает две местные радиостанции и не требует никакого ухода. Прием ведется на комнатную антенну. В зимнее время громкость приема несколько уменьшалась, что, видимо, было связано с ухудшением качества заземления (металлический штырь, забитый в землю).

Принципиальная схема основного варианта приемника представлена на рис. 1. Она напоминает схему, опубликованную в [1], но для улучшения избирательных свойств приемника между его антенной и входным контуром включены конденсаторы связи  $C1$ ,  $C2$ , а чтобы можно было вести прием радиовещательных станций как на длинных, так и на средних волнах, введены дополнительный входной контур и переключатель. Кроме того, в новом приемнике нет выходного трансформатора — в коллекторную цепь транзистора включен высокоомный головной телефон BF1.

Остановимся коротко на работе приемника. После детектирования диодом VD1 высокочастотный сигнал разделяется на высокочастотную, низкочастотную и постоянную составляющие [2]. Высокочастотная составляющая фильтруется конденсатором  $C4$ , а постоянная составляющая используется для питания каскада на транзисторе VT1, который усиливает низкочастотную составляющую (звуковой сигнал). Усиленное напряжение звуковой частоты поступает на телефоны BF1. Важную роль в приемнике играет оксидный конденсатор  $C5$ , который создает необходимые условия для работы транзистора VT1 в режиме усиления звукового сигнала. Конечно, очень большого усиления добиться не удастся, но по сравнению с детекторным описываемый приемник звучит гораздо громче.

Наличие хорошей наружной антенны и надежного заземления — залог успешной работы приемника. Для заземления требуется массивный металлический предмет (металлический лист, старая батарея паро-

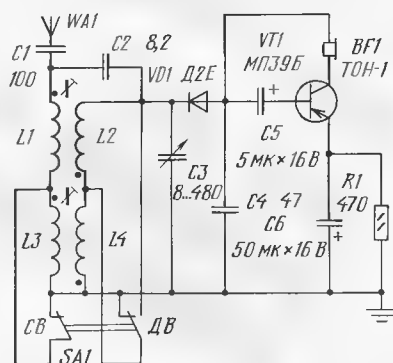


Рис. 1

вого отопления и т.д.), который следует закопать в землю на глубину 1...1,5 м. К металлическому предмету необходимо присоединить провод заземления, обеспечив хороший электрический контакт. При невозможности сделать заземление провод можно подключить к водопроводной трубе (но только не к трубе парового отопления).

С особой тщательностью и аккуратностью следует отнестись к сооружению наружной антенны. В качестве ее можно использовать горизонтально подвешенный на двух мачтах провод длиной 10...20 м, хорошо изолированный от мачт двумя орешковыми фарфоровыми изоляторами с каждой стороны провода. Следует обеспечить также надежную изоляцию провода снижения антенны при вводе его в дом. Снижение подключают либо к середине горизонтально висящего провода (Г-образная антенна), либо у его конца (Г-образная антенна). В качестве антенного провода лучше всего использовать специальный антенный канатик, свитый в жгут из нескольких жил холоднокатаной меди. Если антенный канатик достать не удастся, то можно применить обычный провод диаметром от 1 до 3 мм. Полотно антенны должно быть возможно дальше удалено от токонесущих проводов.

Антенну подключают к приемнику только на время его работы, чтобы исключить поражение молнией. В остальное время она должна быть заземлена.

Удовлетворительные результаты могут быть получены и при использовании комнатной антенны. Ее изготавливают из такого же провода, что и наружную. Провод предварительно наматывают на оправку диаметром 10...15 мм, и полученную таким образом пружину растягивают под потолком на фарфоровых изоляторах (ролики от электроосветительной сети). Чтобы провод не провисал, внутри пружины протягивают прочную нить, концы которой закрепляют по углам комнаты. Снижение антенны выполняют тем же

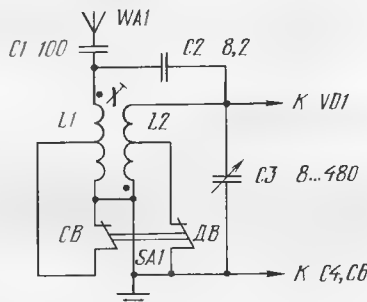


Рис. 2

проводом. В панельных домах применять комнатную антенну не рекомендуется из-за сильного экранирования.

Для изготовления приемника понадобятся совсем немного деталей. Катушки индуктивности автор использовал готовые — от входных контуров СВ и ДВ диапазонов ламповой радиолы «Сириус-5». Они намотаны на стандартных семисекционных ( $\varnothing$  5 мм) пластмассовых каркасах, снабженных подстроечником из феррита. Можно использовать аналогичные катушки индуктивности и от других ламповых приемников (например, «Сириус-309», «Латвия», «Миния-4» и т.д.). При самостоятельном изготовлении катушек можно обойтись одним каркасом, в этом случае схема входной части приемника несколько изменится (рис. 2). Катушку  $L1$  наматывают в трех верхних секциях каркаса проводом ПЭВ-2,0,1, ее обмотка содержит 400х3 витков с отводом от 300-го витка. Катушку  $L2$  наматывают в четырех нижних секциях, ее обмотка должна состоять из 150х4 витков того же провода с отводом от 430-го витка. В обеих катушках отвод считают от конца, отмеченного точкой. Для намотки катушек можно также применить провод марок ПЭВ-1 и ПЭЛ.

Приемник собран в пластмассовом корпусе добавочного устройства П223 к электропаяльнику. Гнезда корпуса используют для подключения высокоомных головных телефонов ТОН-1, ТОН-2 сопротивлением 3600...4400 Ом. Конденсатор переменной емкости (от карманного транзисторного приемника) укреплен на боковой стенке между двумя стойками корпуса. Обе секции конденсатора соединены параллельно. Гнезда для антенны и заземления выведены на лицевую стенку корпуса. Здесь же укреплен переключатель диапазонов. Остальные детали размещены на плате, размеры которой повторяют размеры нижней крышки корпуса. В качестве корпуса могут быть использованы и другие пластмассовые коробочки.

При желании вести фиксированную настройку на радиовещательные станции конденсатор переменной емкости  $C3$  (рис. 1) удаляют, а параллельно катушкам  $L3$  и  $L4$  подключают соответственно конденсаторы  $C_{св}$  и  $C_{дв}$ , емкости которых подбирают экспериментально при настройке на станции. Если обе станции принимаются на одном диапазоне (СВ или ДВ), то контур неиспользуемого диапазона исключают. В этом случае переключение с одной станции на другую упрощается и сводится лишь к подключению к соответствующей катушке конденсатора нужной емкости. На одну станцию можно настроиться с помощью ферритового подстроечника катушки индуктивности, а чтобы настроиться на вторую станцию того же диапазона, необходимо параллельно постоянному контурному конденсатору подключить подстроечный емкостью от 6 до 25 пФ.

Описанный приемник рассчитан на повторение начинающими радиолубителями. Но хочется надеяться, что и радиолубители более высокой квалификации не откажут себе в удовольствии его изготовить. Все отзывы, замечания и предложения по усовершенствованию приемника будут с благодарностью приняты автором.

А. ФЕДОРОВ

г. Екатеринбург

## ЛИТЕРАТУРА

1. Приемник с питанием от свободной энергии. — Радио, №7, 1966, с. 57.
2. Борноволоков Э., Кривопапов В. Твой первый транзисторный приемник. — Радио, №1, 1967, с. 46—48.



# ПРЕДУСИЛИТЕЛЬ-КОРРЕКТОР ДЛЯ МАГНИТНОГО ЗВУКОСНИМАТЕЛЯ

94.10.43

Появление компакт-дисков несколько отвлечло внимание потребителей от привычной формы грамзаписи, но говорить о полной потере интереса к ней еще рано. По мнению специалистов [1], механическая грамзапись и технические средства для ее реализации сохраняются до тех пор, пока огромные объемы накопленных фонотек не будут переведены с грампластинок на другие носители. Вместе с пластинками сохранится проблема обеспечения качества фонограмм и совершенствования технических средств для их воспроизведения.

Одним из узлов, определяющих качество воспроизведения грампластинок, является предусилитель-корректор (ПК). Можно выделить две наиболее многочисленных группы ПК, отражающие тенденции их проектирования: стремление снизить стоимость и желание достичь наибольшей точности воспроизведения.

К первой группе относятся ПК не лучшего качества, с использованием дешевых деталей с большим разбросом параметров и имеющие только один источник питания. Эти ПК вносят существенные нелинейные искажения и имеют большие отклонения амплитудно-частотных характеристик (АЧХ) от стандарта «Record Industry Association of America» (RIAA). Им присущи также недостаточная величина петлевого коэффициента усиления  $BK_0$ , где  $B$  — коэффициент передачи цепи ООС,  $K_0$  — коэффициент передачи усилителя с разомкнутой ООС. Такие ПК часто встраивались в автономные электропроигрыватели.

ПК второй группы — это дорогие усилительные устройства, выполненные на дискретных элементах и имеющие двупольное питание. Чаще всего в этих ПК используется схемотехника усилителей мощности и применяются дорогие пассивные компоненты: прецизионные пленочные конденсаторы, точные малошумящие фольговые резисторы. Каждый их канал содержит 15–20 транзисторов. Такие ПК обеспечивают высокое качество большинства параметров за счет значи-

тельно больших затрат на элементы в сравнении с устройствами первой группы.

За последние десять лет существенно расширилась номенклатура выпускаемых операционных усилителей (ОУ) и снизились их цены, сделав многие типы ОУ дешевле прецизионных конденсаторов. Это позволило строить ПК на нескольких ОУ, превосходящие по ряду параметров устройства на дискретных транзисторах. Улучшение параметров ПК на нескольких ОУ достигается за счет больших величин  $BK_0$  во всем диапазоне звуковых частот. Примером такого ПК может служить усилитель [2], схема которого показана на рис. 1. В нем использовано включение ОУ DA1.1 — DA1.3, позволяющее реализовать дифференциальное подключение звукоснимателя, которое способствует подавлению синфазных наводок и фона во входных цепях. Такое схемотехническое решение обеспечивает и чрезвычайно малые нелинейные искажения усилителя. Так при амплитуде сигнала равной 10 В и частоте 1 кГц они имеют порядок тысячных долей процента. Входное сопротивление ПК — 54 кОм, рекомендуемое

сопротивление нагрузки не менее 2 кОм. Цепи формирования АЧХ сосредоточены в звене, выполненном на ОУ DA1.4, его коэффициент усиления  $K=0,712$ . Поэтому при  $K_0=5 \cdot 10^4$  величина  $BK_0 > 10^3$  во всем диапазоне звуковых частот. Постоянные времени коррекции:  $\tau_1 = C4R11 = 18330$  мкс;  $\tau_2 = C5R12 = 3240$  мкс;  $\tau_3 = R12R13(C5 + C6)/(R12 + R13) = 331$  мкс;  $\tau_4 = R13C6 = 73$  мкс. Данный пример показывает, что даже при использовании дорогих схемных решений точность реализации АЧХ RIAA соблюдается не строго и определяется главным образом допусками используемых элементов, в частности конденсаторов. Погрешности АЧХ и являются одной из причин различий в «звучании» ПК, поскольку при субъективных тестах ухо улавливает у сравниваемых ПК разбаланс АЧХ  $\pm 0,3$  дБ [3].

Общий анализ схем ПК второй группы позволил выявить четыре требования, совместное удовлетворение которых обеспечивает высокое качество и экономическую целесообразность ПК:

1. Обеспечение наибольшей точности реализации стандартной АЧХ (RIAA).
2. Уменьшение шумов и улучшение их спектрального распределения.
3. Уменьшение нелинейных и переходных интермодуляционных искажений [4].
4. Обеспечение, по возможности, минимальной стоимости ПК.

Очевидно, что четвертое требование противоречит всем остальным, весьма противоречивы также требования 2 и 3 [5]. Поэтому удачная схема ПК — это результат оптимального компромисса.

В настоящее время широко используются однозвенные и двузвенные ПК. Сравнить их можно, проанализировав частотные характеристики ПК на отечественных ОУ, показанные на рис. 2 и 3. Они получены путем линейной аппроксимации логарифмических АЧХ (ЛАЧХ) [6].

ЛАЧХ 1 (рис. 2, а) — АЧХ идеального ПК с коэффициентом передачи  $K$  равным 100 (RIAA). Точки ее перегиба на частотах  $f_1$ ,  $f_2$ ,  $f_3$  и  $f_4$  соответствуют известным стандартным постоянным времени  $\tau_1$ ,  $\tau_2$ ,  $\tau_3$  и  $\tau_4$ . ЛАЧХ 2 имеет однозвенный ПК на ОУ K544УД1А в неинвертирующем включении (НВ), скорректированном на за-

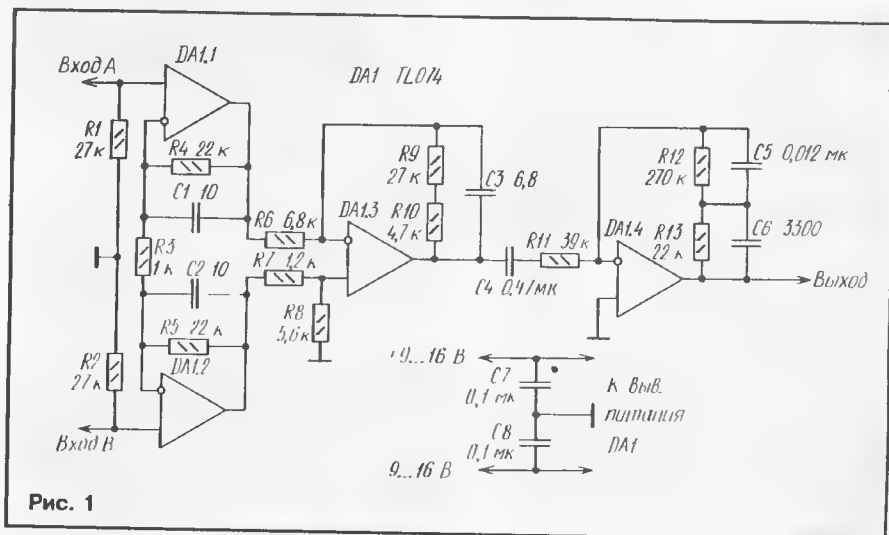


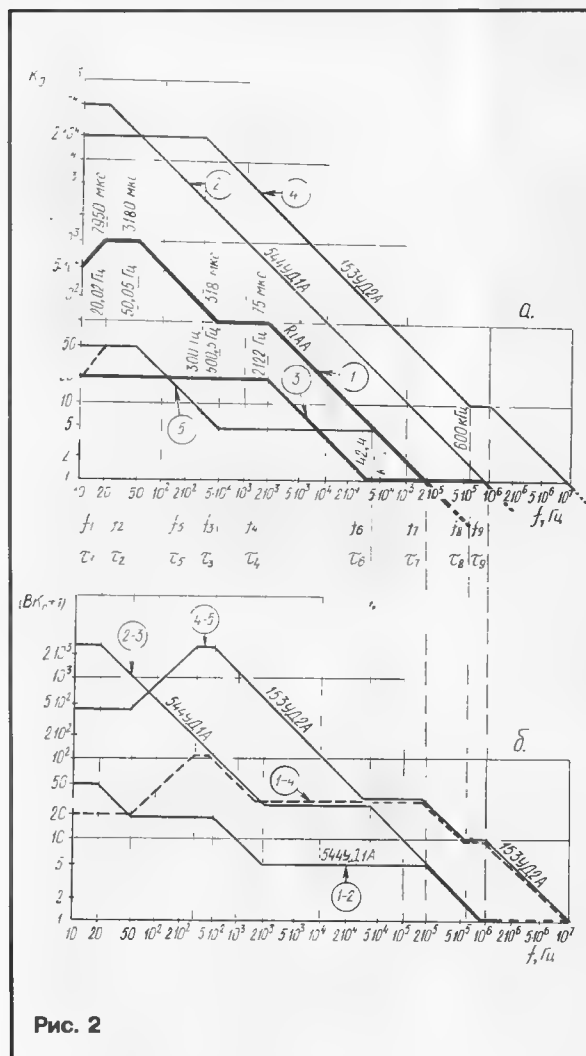
Рис. 1



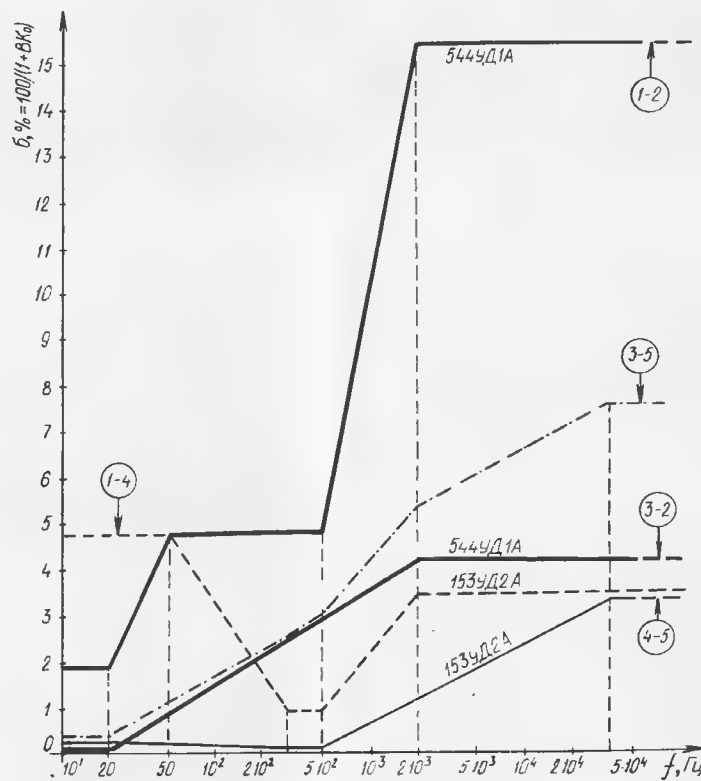
паздывание по фазе до частоты единичного усиления. ЛАЧХ 4 имеет однозвенный ПК на ОУ К153УД2 в инвертирующем включении (ИВ), скорректированном связью вперед. ЛАЧХ 3 и ЛАЧХ 5 соответствуют двухзвенным ПК. Спад ЛАЧХ 5 на низких частотах показан штриховой линией. На рис.2,6 представлены ЛАЧХ глубины ООС  $A(p) = B(p) \cdot K_c(p) + 1$  в ПК,

ПК на ОУ в ИВ, особенно при возможности использования коррекции связью вперед. Величина  $BK_0$  влияет как на уровень нелинейных искажений, так и на точность воспроизведения АЧХ RIAA. Общепринято, что АЧХ независима от параметров усилителя, если  $BK_0 > 100$ . В этом случае отклонения АЧХ от расчетной не превышают 0,1 дБ или 1,16%, а при рас-

(1—4)—ПК на одном ОУ К153УД2 в ИВ, (3—2) и (4—5) — ОУ в ИВ и ИВ в звеньях двузвенного ПК, а (3—5) представляет суммарную  $\sigma_{\text{макс}}$  двузвенного ПК. Очевидна тенденция роста  $\sigma$  с увеличением частоты, по мере уменьшения ВК<sub>0</sub> (рис.2,б). Если при расчете АЧХ Р1АА не учитывать АЧХ собственно ОУ, то не имеет практического смысла добавляться



**Рис. 2**



**Рис. 3**

выполненных на одном ОУ в НВ (1—2) и ИВ (1—4), а также в двухзвенном ПК с первым звеном на ОУ в НВ (2—3) и вторым на ОУ в ИВ (4—5). Сопоставление этих ЛАЧХ позволяет рационально выбрать схему ПК, поскольку величина  $BK_0$  непосредственно характеризует эффективность ООС. Так, сравнение ЛАЧХ, приведенных на рис.2,б, показывает, что первое звено при НВ ОУ в двухзвенной схеме по величине  $BK_0$  уступает лишь ПК на одном ОУ в ИВ и только на частотах выше 40 кГц. На частотах меньших 500 Гц оба звена двухзвенной схемы (2—3) и (4—5) имеют большие значения  $BK_0$ , чем однозвенные ПК(1—4) и (1—2). ПК на одном ОУ с ИВ почти на порядок превосходит по величине  $BK_0$  ПК на одном ОУ с НВ на всех частотах выше 50 Гц. Это показывает также ЛАЧХ (2—3) и (4—5). Очевидно, что для улучшения эффективности действия ООС предпочтительнее

чете можно считать ОУ идеальным [7]. Это требование соответствует усилителю нулевого класса сложности, имеющему нелинейность АЧХ не более  $\pm 0,3$  дБ, согласно ГОСТ 24388-83 «Усилители звуковой частоты бытовые».

Строгое выполнение требования  $BK_0 > 100$  во всем диапазоне звуковых частот при использовании дешевых ОУ затруднительно даже в двухканальном ПК. Недостаточность величины  $BK_0$  ведет к уменьшению значения Кусилителя с ООС и смещению ползосов его АЧХ, по сравнению с расчетом для идеального ОУ [3]. Это явление можно характеризовать составляющей общей амплитудной погрешности  $\sigma$ . Приближенную оценку  $\sigma$  для  $BK_0 \gg 1$  дает формула  $\sigma = -100\%(1 + BK_0)$ . Кривые линейной аппроксимации  $\sigma_{\text{макс}}$  для разных участков ЛАЧХ приведены на рис.3. Здесь кривая (1—2) соответствует  $\sigma_{\text{макс}}$  для ПК на одном ОУ 544УД1А в НВ,

погрешностей номиналов элементов большей, чем ожидаемая  $\sigma$  в точках перегибов соответствующих кривых, представленных на рис.3.

Согласно рис. 3, удовлетворительных результатов можно ожидать, если отклонения номинальных параметров используемых в ПК элементов не превышает 5% для всех рассмотренных случаев. Если же необходимо обеспечить точность АЧХ соответствующую отечественной аппаратуре нулевой группы сложности, то при характеристиках (1—2), (1—4), (3—2) расчет цепей коррекции следует производить с учетом передаточных функций ОУ, поскольку в этих случаях не во всем диапазоне звуковых частот выполняется условие  $BK_0 > 100$ . Двухзвенный ПК (2—3), (4—5) позволяет реализовать постоянные времена цепей коррекции раздельно друг от друга в различных звеньях. Для его инвертирующего звена (4—5) выполняется тре-

бование  $BK_0 > 100$  почти во всем диапазоне звуковых частот. Поэтому при расчете звена (4—5) неидеальность ОУ можно не учитывать. Однако это следует делать для звена (2—3). Пример расчета постоянных времени АЧХ с учетом передаточной функции ОУ можно найти в [3].

В предлагаемой авторами конструкции предпринята попытка достичь наилучших качественных показателей ПК посредством компромисса между четырьмя перечисленными выше требованиями. Для достижения поставленной цели была выбрана двузвенная схема ПК, представленная на рис.4.

Первое звено выполнено на ОУ К544УД1 и имеет два входа: «Вх.1» — обычный неинвертирующий вход, «Вх.2» — вход для подключения «плавающего» источника входного сигнала, звездочкой отмечены выводы входов, при подключении к которым одноименного конца катушки звукоусилителя фаза сигнала на выходе ПК остается неизменной.

Цепи R3R7R13C1C2 образуют входные фильтры, а R5C1 и R10C2 входят в цепи нагрузки звукоусилителя. Коэффициент передачи первого звена на частоте 1 кГц (кривая 3 рис. 2,а) устанавливается резистором R14 равным 20. Полос АЧХ на частоте  $f_4 = 2122$  Гц формируется цепью C3R11 с постоянной времени  $\tau_4$ . Приведенные на рис.4 номиналы резисторов соответствуют точным значениям номиналов конденсаторов. Величина постоянной времени  $\tau_4$  отличается от стандартного значения  $\tau_4 = 75$  мкс, поскольку для частоты  $f_4$  (кривая 2—3, рис.2,б) величина  $BK_0 = 25$ . Формула для вычисления этой постоянной времени получается из выражений передаточных функций для кривых 2 и 3 (рис.2,а)  $\tau_4 = \tau_4 - K_1/\omega_4 = 71,8$  мкс. В любом возможном включении первое звено формирует нуль на частоте  $f_6 = f_4 = K_1 = 42,44$  кГц.

Спад АЧХ на инфразвуковых частотах формируется переходной цепью (R4//R12)C4, определяющей постоянную времени  $\tau_1$ . Резистор R12 подгоночный.

Второе звено ПК выполнено на ОУ K153УД2 в ИВ с коррекцией связи вперед через конденсатор C6. Коэффициент передачи этого звена на частоте 1 кГц равен 5. Для второго звена величина  $BK_0 > 100$  кГц (кривая 4—5 на рис.2,б), поэтому при расчете постоянных времени корректирующих цепей в этом звене учитывать передаточную функцию собственной ОУ нет необходимости. Полос на частоте  $f_2$  задается цепью R2C7 с постоянной времени  $\tau_2 = 3180$  мкс, а нуль на частоте  $f_3$  — цепью R1C7 с постоянной времени  $\tau_3 = 318$  мкс. Полос, служащий для компенсации нуля, возникшего в первом звене на частоте единичного усиления  $f_0$ , задается цепью R1C5 с постоянной времени  $\tau_0 = R1 \cdot C5 = 1/2\pi f_0 = 3,75$  мкс. Резистор R6 служит для согласования выходных параметров ПК с последующими усилительными устройствами [9]. На рис.2, а этому ПК соответствует ЛАЧХ 1, для которой  $K=100$ . ПК питается напряжением  $\pm 15$  В, двойная амплитуда напряжения источника питания не должна превышать 6 мВ.

Для удобства подгонки постоянных вре-

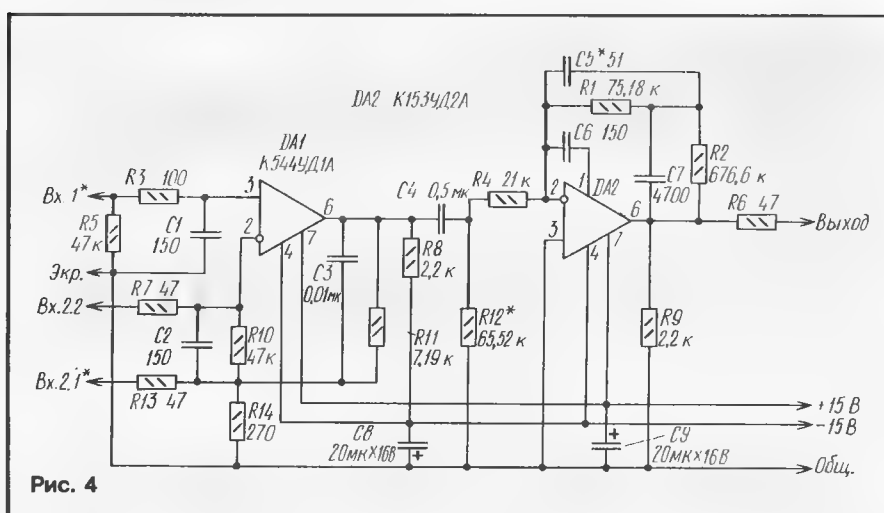


Рис. 4

мени каждый из резисторов R1, R12, R14 состоит из двух последовательно включенных резисторов. В ПК применены резисторы с отклонением сопротивлений от номинального значения  $\pm 5\%$ , разброс элементов времязадающих цепей выдержан в пределах  $\pm 1\%$ .

При использовании только одного из входов ПК, для уменьшения шумов, резистор R10 (47 кОм) в цепи свободного входа следует замкнуть накоротко.

Измерения линейности АЧХ и разбаланса каналов производились методом компенсации сигналов. В состав измерителя входили: блок компенсации, антикорректор [8], звуковой генератор ГЗ-118 и осциллограф С1-93. Разрешающая способность измерителя превосходила 0,1%. Максимальная погрешность АЧХ (0,6%) отмечена на частоте 20 кГц. Разбаланс каналов составил 1,2% на частоте 20 кГц и 0,8% — на частоте 1 кГц. При измерении нелинейных искажений последовательно с источником сигнала включался звукоусилитель «Jenorel» ( $R=520$  Ом,  $L=0,55$  Гн). На выходе ПК основная гармоника подавлялась режекторным фильтром из комплекта генератора ГЗ-118. Напряжения гармоник на выходах измерялись спектроанализатором СК4-56 на частоте 20 кГц при подаче сигнала на неинвертирующий вход ПК и амплитуде сигнала на его выходе 6,5 В. При собственных искажениях генератора 0,0003%, или (-110 дБ) для второй гармоники и 0,0001%, или (-120 дБ) для третьей гармоники, нелинейные искажения сигнала на выходе ПК составили 0,012% или (-79 дБ) для второй гармоники и 0,002%, или (-94 дБ) для третьей. Измерить нелинейные искажения с входа для «плавающего» источника сигнала оказалось невозможно, поскольку это требует использования согласующего трансформатора, а вносимые им искажения на несколько порядков больше, чем самого ПК. Переходные интермодуляционные искажения контролировались по тесту DIM 30 [10]. Амплитуда меандра на выходе ПК устанавливалась 6,5 В. Меандр формировался счетчиковым делителем на элементах серии 176. Общие интермодуляционные искажения составили около 0,02%, при этом главный вклад в них вносила вторая гармоника меандра.

Быстродействие базовых усилителей оценивалась при подаче на вход меандра частотой 1 кГц через антикорректор и составила 6,5 В/мкс. Отношение сигнал/шум, измеренное относительно уровня входного сигнала 5 мВ на частоте 1 кГц с звукоусилителем «Jenorel» в полосе частот 20... 20 000 Гц составило - 64 дБ.

Полученные параметры говорят о том, что при использовании двузвенных схем даже на недорогих ОУ можно создать ПК с прецизионной АЧХ при использовании упрощенных процедур расчета и пассивных элементов средней стоимости.

Д. ДАНИЮК,  
Г. ПИЛЬКО

г. Киев

#### ЛИТЕРАТУРА

1. Williamson Reg. Understanding the RIAA curve. — Jhe Audio Amateur, 1990, № 2, p.18—24.
2. Beusekamp M.F. RIAA — correctie-versterker. — Radio Bull, 1984, vol.53, desember, p.457—461.
3. Lipshitz S.P. On RIAA Equalization Networks. — JAES, 1979, June, vol.27, № 6, p.458—481.
4. Otala M., Leinonen E. Extension of Theory of Transient Intermodulation Distortion. — IEEE Trans., 1977, vol.ASSP-25, february, p.2—8.
5. Tailor Eric F. Distortion in Low -- Noise Amp., — Wireless World, 1977, vol.83, part I, august, p.28—32, part I, august, p.55—59.
6. Сухов Н.Е., Бать С.Д., Колосов В.В. и др. Техника высококачественного звуковоспроизведения. — Киев: Техника 1985, с.11—21, 77—88, 112—114.
7. Шкритек П. Справочное руководство по звуковой схемотехнике. — М.: Мир, 1991, с.38, 42, 123.
8. Даниюк Д.Л., Пилько Г.В. Устройство для настройки предусилителей корректоров. — Радиолубитель, 1991, № 6, с.34, 35.
9. Публикация МЭК № 268. Звуковые системы. Часть 15. Предпочтительные присоединительные параметры элементов звуковых систем.
10. Leinonen E., Otala M. Correlation Audio Distortion Measurements. — JAES, 1978, vol. 26, № 1/2, p.12—19.



# ПРОГРАММАТОР ПЗУ ДЛЯ «РАДИО-86РК»

Программатор собран на макетных платах.

Разъем блока PROM/EPROM X1 установлен на кабеле длиной около 1 м, его тип определяется типом разъема на корпусе компьютера (автор применил РП 15-32), разъем X2 типа ГРП3-46ГП и его ответные части установлены непосредственно на платах. Разъем X2 блока PROM служит для подключения дополнительных розеток типа УК4-1 при программировании микросхем с планарным расположением выводов. Микросхемы в корпусе DIP устанавливаются в колодки РС-28Ш (EPROM) и РС-24Ш (PROM).

В блоке PROM/EPROM можно применять микросхемы любых серий ТТЛ, вместо К555ИР23 можно использовать К555ИР27, вместо К555ИД4 — К555ИД7, DD1 — DD4 можно заменить одной микросхемой буфера на К555АП4-АП6 или К555ИР22.

Операционные усилители (любые из серии К574УД1) работают при несколько повышенном напряжении питания и нуждаются в радиаторах, которые можно сделать, напри-

мер, из отрезков металлической трубки соответствующего диаметра, одетых на корпус ОУ.

Выходные транзисторы программируемых источников напряжения  $U_1$  —  $U_3$  П605А можно заменить на другие высокочастотные транзисторы p-n-p типа с допустимым импульсным током не менее 1 А, например, на КТ932А-В или аналогичные.

В блоке PROM вместо транзисторных сборок КТС622А можно применить сборки ГТС609А-В, транзисторы КТ3107А или аналогичные.

Для наладки программатора используются тестовые программы, позволяющие, в принципе, в статических режимах без использования осциллографа проверить работу большинства узлов схемы, задавая с клавиатуры компьютера адреса, данные и напряжения программирования, однако этот способ занимает много времени и лучше воспользоваться осциллографом. При включении динамических режимов индикация на дисплее

«Радио-86РК» отключается для обеспечения устойчивой картинки на осциллографе, при включении статического режима индикация восстанавливается.

Машинные коды программ TPROM и EPROM приведены в табл. 6 — 7, а их контрольные суммы — в табл. 8 — 9 соответственно.

Наладку программатора следует начать с программы TPROM. Включив режим «ПИЛА», проверить осциллографом прохождение выдаваемого из «Радио-86РК» непрерывно нарастающего кода по всем контактам разрядов адреса и данных розеток блока PROM, на выходах программируемых источников  $U_1$  —  $U_3$  сигналы должны иметь форму пилы с максимальным напряжением 25,4 В (при питании источника  $U_2$  от 15 В — трапеция).

Включив статический режим, следует, задав для всех источников напряжения 25,4 В (12,4 В для  $U_2$ ), откалибровать источники подстроечными резисторами.

Установить  $U_1=5,0$  В,  $U_2=U_3=12,4$  В, включить режим программирования и проверить осциллографом соответствие реальной временной диаграммы рисунку 4.

Установить  $U_1=5,0$  В,  $U_2=9,0$  В,  $U_3=18,1$  В, включить режим программирования и проверить временную диаграмму для микросхем ПЗУ К556РТ6 и К556РТ7.

Дальнейшую наладку производить для блока EPROM программой TEPROM. Проверить пилу адреса и данных, работу регистра и ключей режима и временные диаграммы (рис. 5) для всех типов ПЗУ.

Собственно программирование микросхем не требует здесь подробных инструкций: запуск процедур из меню — вещь тривиальная. Установку микросхем в розетку и их изъятие следует производить после того, как сделан выбор типа ПЗУ из меню, когда на дисплее есть запрос процедуры в виде знака вопроса «?» — при этом все напряжения с розеток сняты. Обнуление компьютера (сброс) и перезапуск программы для ПЗУ безопасны.

Буфер в ОЗУ начинается с адреса 0000Н и

Таблица 6

1100	0E	1F	CD	09	F8	21	0C	12	CD	18	F8	3E	90	32	03	A0	1FBA
1110	CD	2D	F8	3E	38	32	02	1E	11	C3	18	11	E1	C1	0B	D2	0BD2
1120	1B	F8	FE	53	CA	10	11	FE	51	CA	47	11	FE	50	CA	7A	DF52
1130	11	FE	58	CA	A0	11	FE	59	CA	AE	11	FE	5A	CA	BC	11	A8B1
1140	FE	54	CA	0B	12	E5	C9	3E	38	32	02	A0	AF	32	08	F8	2012
1150	04	78	32	01	A0	3E	3A	32	02	A0	3C	32	02	A0	78	E6	2709
1160	FE	32	01	A0	3E	3C	32	02	A0	3C	32	02	A0	3C	32	02	A19F
1170	A0	CD	90	11	CD	1E	11	C3	50	11	AF	32	08	F8	3E	40	53BD
1180	32	02	A0	CD	90	11	AF	32	02	A0	CD	1E	11	C3	7E	11	0813
1190	E5	F5	21	00	00	3E	80	FE	23	3D	C2	97	11	F1	E1	C9	1ADC
11A0	CD	CA	11	32	ED	13	3E	04	32	02	A0	C3	10	11	CD	CA	A66B
11B0	11	32	EE	13	3E	05	32	02	A0	C3	10	11	CD	CA	11	32	EB19
11C0	EF	13	3E	06	32	02	A0	C3	10	11	4F	CD	09	F8	CD	2D	ED15
11D0	F8	0E	3D	CD	09	F8	16	00	CD	1B	F8	FE	FF	C2	D8	11	A6AF
11E0	CD	03	F8	FE	0D	CA	FC	11	4F	F5	CD	09	F8	7A	87	87	C544
11F0	87	82	82	57	F1	D6	30	82	57	C3	E0	11	7A	32	01	A0	1AB3
1200	0E	0D	CD	09	F8	0E	0A	CD	09	F8	C9	C9	20	20	3C	3C	E219
1210	20	74	65	73	74	20	70	72	6F	67	72	61	6D	6D	61	74	CB3A
1220	6F	72	61	20	50	52	4F	4D	20	3E	3E	0D	0A	0A	20	20	809D
1230	72	65	76	69	6D	3A	0D	0A	20	20	53	20	20	20	20	20	97B4
1240	73	74	61	74	69	7E	65	73	6B	69	6A	20	20	28	20	77	46B8

1250	6B	6C	20	55	31	2C	55	32	2C	55	33	20	29	0D	0A	20	4764
1260	20	20	20	51	20	2D	20	64	69	6E	61	6D	69	7E	65	73	77E6
1270	6B	69	6A	20	28	20	70	69	6C	61	20	29	0D	0A	20	20	CFEC
1280	20	20	50	20	20	20	70	72	6F	67	72	61	6D	6D	69	72	CF3D
1290	6F	77	61	6E	69	65	0D	0A	0A	20	20	6E	61	70	72	71	9906
12A0	76	65	6E	69	71	20	55	31	2C	55	32	2C	55	33	20	7A	54CA
12B0	61	64	61	60	74	73	71	20	6B	6F	6D	61	6E	64	61	6D	DE46
12C0	69	0D	0A	20	20	58	3D	2C	59	3D	2C	5A	3D	20	73	6F	70DC
12D0	6F	74	77	65	74	73	74	77	65	6E	6E	6F	0D	0A	20	20	7D98
12E0	6B	6F	64	20	6E	61	70	72	71	76	65	6E	69	71	20	28	CFEE
12F0	20	64	6F	20	74	72	65	68	20	63	69	66	72	20	62	65	1171
1300	7A	20	7A	61	70	71	74	6F	6A	20	29	0D	0A	20	20	7A	47BD
1310	61	64	61	65	74	20	6E	61	70	72	71	76	65	6E	69	65	F858
1320	20	77	20	30	2C	31	20	77	6F	6C	78	74	0D	0A	0A	20	C6E3
1330	20	6E	75	6C	65	77	79	65	20	62	69	74	79	20	6B	6F	91FB
1340	64	6F	77	20	55	31	2C	55	32	2C	55	33	20	6F	70	72	5ACB
1350	65	64	65	6C	71	60	74	20	72	65	76	69	6D	20	20	70	67D2
1360	72	6F	67	72	61	6D	6D	69	72	6F	77	61	6E	69	71	3A	6599
1370	0D	0A	20	20	7E	65	74	6E	79	65	20	55	31	2C	55	32	2553
1380	2C	55	33	20	20	20	54	50	52	3D	32	35	6D	6B	73	0D	0A13
1390	0A	20	20	6E	65	7E	65	74	6E	6F	65	20	55	31	20	20	809C
13A0	66	72	6F	6E	74	3D	35	6D	6B	73	0D	0A	20	20	6E	65	AF10
13B0	7E	65	74	6E	6F	65	20	55	32	20	20	54	50	52	3D	31	B7E4
13C0	30	4D	43	0D	0A	20	20	6E	65	7E	65	74	6E	6F	65	20	87A1
13D0	55	33	20	20	72	65	76	20	72	74	36	2C	72	74	37	3B	9ED5
13E0	66	72	6F	6E	74	3D	35	6D	6B	73	0D	0A	00	00	00	00	00FD



Таблица 7

1100	31	00	11	21	97	13	CD	18	F8	3E	90	32	03	A0	21	E5	B293
1110	14	CD	18	F8	21	C3	14	CD	18	F8	06	00	CD	C1	11	FE	7169
1120	0D	CA	33	11	4F	CD	09	F8	D6	30	80	07	07	07	07	47	DE21
1130	C3	1C	11	11	10	00	21	24	15	7E	FE	00	CA	0E	11	B8	D388
1140	CA	47	11	19	C3	39	11	E5	21	85	15	CD	18	F8	E1	23	ACC9
1150	E5	CD	18	F8	E1	11	09	00	19	AF	2F	32	88	16	06	06	8F90
1160	11	89	16	7E	12	23	13	04	C2	63	11	3A	8E	16	32	01	C3C1
1170	A0	E6	FD	C6	FF	17	E6	01	F6	06	32	98	16	3E	01	32	6893
1180	02	A0	3A	8B	16	32	01	A0	3E	05	32	02	A0	21	99	15	2536
1190	CD	18	F8	CD	2D	F8	CD	CD	11	31	00	11	21	56	16	CD	4F16
11A0	18	F8	CD	C1	11	FE	41	CA	0D	12	FE	44	CA	2B	12	FE	271E
11B0	53	CA	42	12	FE	52	CA	7A	12	FE	50	CA	B6	12	C3	A2	C15C
11C0	11	CD	03	F8	FE	2E	CD	CD	CD	11	C3	00	11	AF	32	02	2C27
11D0	A0	C9	3E	32	32	01	A0	3E	04	32	02	A0	3E	06	32	02	3C3A
11E0	A0	3E	38	32	02	A0	3E	0F	32	03	A0	3E	06	32	03	A0	B825
11F0	C9	3A	02	A0	E6	F8	F5	79	32	01	A0	F1	F5	F6	02	32	AAD4
1200	02	A0	78	32	01	A0	F1	F6	03	32	02	A0	C9	CD	D2	11	1A24
1210	AF	32	08	F8	CD	F1	11	CD	22	12	CD	20	13	04	0C	C3	C684
1220	14	12	CD	18	F8	FE	20	CA	93	11	C9	3E	09	32	03	A0	DC77
1230	AF	32	08	F8	78	32	01	A0	04	CD	22	12	CD	20	13	C3	36F4
1240	34	12	21	5B	16	CD	18	F8	CD	31	13	EB	22	99	16	21	87A3
1250	73	16	CD	18	F8	CD	C1	11	4F	CD	09	F8	CD	5F	13	07	6868
1260	07	07	07	57	CD	C1	11	4F	CD	09	F8	CD	5F	13	B2	32	1F4B
1270	9B	16	0E	0A	CD	09	F8	C3	93	11	CD	D2	11	AF	32	08	9597
1280	F8	2A	99	16	44	4D	CD	F1	11	3E	06	32	03	A0	3E	0F	8D97
1290	32	03	A0	3A	00	A0	F5	3E	0E	32	03	A0	F1	3E	07	32	FF2D
12A0	03	A0	CD	20	13	CD	20	13	C5	01	00	00	CD	F1	11	C1	3DF9
12B0	CD	22	12	C3	81	12	AF	32	08	F8	3A	8A	16	32	01	A0	4AE5
12C0	3E	04	32	02	A0	3A	8C	16	32	01	A0	3E	06	32	02	A0	40DD
12D0	3E	09	32	03	A0	3E	0B	32	03	A0	3A	9B	16	32	01	A0	5BF8
12E0	3E	07	32	03	A0	3E	0D	32	03	A0	CD	20	13	3E	0C	32	87B6
12F0	03	A0	3E	06	32	03	A0	3E	0F	32	03	A0	3A	00	A0	F5	BBAD
1300	3E	0E	32	03	A0	F1	3A	98	16	32	03	A0	CD	20	13	CD	D39C
1310	20	13	3E	0A	32	03	A0	CD	CD	11	CD	22	12	C3	B6	12	7AB7
1320	2A	96	16	26	00	3E	20	BE	23	3D	C2	27	13	22	96	16	30A2
1330	C9	21	92	16	E5	11	95	16	AF	77	CD	91	13	CA	44	13	DEE8
1340	23	C3	39	13	E1	06	04	CD	C1	11	FE	0D	CA	6D	13	05	1716
1350	FA	85	13	4F	CD	09	F8	CD	5F	13	77	23	C3	47	13	D6	AB7B
1360	30	FE	0A	F8	D6	07	FE	10	F8	F1	C3	85	13	21	92	16	1A28
1370	11	00	00	78	FE	04	C8	EB	29	29	29	EB	7E	83	5F		D32D
1380	23	04	C3	73	13	21	E5	14	CD	18	F8	21	F7	FF	D1	19	5668
1390	E9	7A	BC	CD	7B	BD	C9	1F	0D	0A	0A	0A	0A	0A	20	20	7994
13A0	20	20	20	20	3C	3C	3C	20	74	65	73	74	20	70	72	6F	1AB5
13B0	67	72	61	6D	6D	61	74	6F	72	61	20	45	50	52	4F	4D	86CE

13C0	20	3E	3E	3E	0A	0D	0A	20	20	20	20	20	20	20	20	20	20	FC1B
13D0	20	20	20	20	20	64	6C	71	20	20	3C	20	72	61	64	69		B71D
13E0	6F	2D	38	36	72	68	20	3E	0D	0A	0A	20	20	20	20	20		EB06
13F0	20	20	20	20	20	28	43	29	20	20	20	77	6C	61	73			FA8B
1400	6F	77	20	60	2E	77	2E	20	20	20	31	39	39	30	20	0D		8F99
1410	0A	0A	0A	20	20	20	20	20	20	20	20	20	20	20	20	20		9FBE
1420	20	20	20	77	79	62	72	61	74	78	3A	0D	0A	0A	20	20		EF0C
1430	20	20	20	20	20	20	20	20	20	20	20	20	20	20	31	2E		001F
1440	32	37	31	36	0D	0A	20	20	20	20	20	20	20	20	20	20		0927
1450	20	20	20	20	20	32	2E	20	32	37	33	32	0D	0A	20	20		2745
1460	20	20	20	20	20	20	20	20	20	20	20	20	20	20	33	2E		0321
1470	32	37	36	34	0D	0A	20	20	20	20	20	20	20	20	20	20		0C2A
1480	20	20	20	20	20	34	2E	20	32	37	31	32	38	0D	0A	20		3F5D
1490	20	20	20	20	20	20	20	20	20	20	20	20	20	20	20	35		F623
14A0	20	32	37	32	35	36	0D	0A	20	20	20	20	20	20	20	20		1F3D
14B0	20	20	20	20	20	20	20	20	20	20	36	2E	20	32	37	35		6772
14C0	0A	0A	00	20	20	20	20	20	20	20	77	77	65	64	69	74		1788
14D0	65	20	6E	6F	6D	65	72	20	6D	69	6B	72	6F	73	68	65		C828
14E0	6D	79	3A	20	00	0D	20	20	20	20	20	20	20	20	20	20		6F8D
14F0	20	20	20	20	20	20	20	20	20	20	20	20	20	20	20	20		E100
1500	20	20	20	20	20	20	20	20	20	20	20	20	20	20	20	20		E100
1510	20	20	20	20	20	20	20	20	20	20	20	20	20	20	20	20		E100
1520	20	20	20	00	10	20	32	37	31	36	20	20	20	00	07	32		B5E6
1530	3C	F8	64	13	20	20	32	37	33	32	20	20	20	00	0F	FB		2E26
1540	32	7D	64	02	30	20	32	37	36	34	20	20	20	00	1F	32		B8E9
1550	32	7F	64	2C	40	20	32	37	31	32	38	20	20	00	3F	32		2756
1560	32	7F	64	2C	50	20	32	37	32	35	36	20	20	00	7F	32		79AB
1570	32	7F	64	48	60	20	32	37	35	31	32	20	20	0D	FF	7F		219C
1580	32	7F	64	00	00	1F	0D	0A	0A	20	20	20	20	20	20	20		1735
1590	20	72	65	76	69	6D	20	00	0D	0A	0A	0A	0A	20	20	20		F00E
15A0	20	20	20	20	20	20	77	69	64	20	72	61	62	6F	74	79		40B5
15B0	0A	0D	0A	20	20	61	20	2D	20	70	69	6C	61	20	61	64		59BA
15C0	72	65	73	61	20	28	7E	74	65	6E	69	65	29	0D	0A	20		CAE6
15D0	20	44	20	20	20	70	69	6C	61	20	64	61	6E	6E	79	68		B519
15E0	0D	0A	20	20	53	20	2D	20	75	73	74	61	6E	6F	77	68		2C93
15F0	61	20	61	64	72	65	73	61	20	69	20	64	61	6E	6E	79		40B4
1600	68	0D	0A	20	20	52	20	2D	20	7E	74	65	6E	69	65	0D		151E
1610	0A	20	72	20	2D	20	70	72	6F	67	72	61	6D	6D	69	92F7		
1620	72	6F	77	61	6E	69	65	0D	0A	20	70	72	6F	62	65	0364		
1630	6C	20	2D	20	77	6F	7A	77	72	61	74	20	77	20	6D	65		20B0
1640	6E	6D	0D	0A	20	20	2E	20	20	70	65	72	65	74	61	E947		
1650	70	75	73	6B	0A	00	0D	20	3F	00	0D	0A	61	64	72	38A7		
1660	65	73	20	7A	61	70	69	73	69	2F	7E	74	65	6E	69	71		EA56
1670	3A	20	00	0D	0A	64	61	6E	6E	79	65	20	7A	61	70	69		5FC4
1680	73	69	3A	20	20	20	20	00	00	00	00	00	00	00	00	00		7776
1690	00	00	00	00	00	00	00	00	00	00	01	00	00					0101

имеет максимальный размер 16 кбайт, поэтому работа с микросхемами серий 27256 и 27512 начинается с задания номера банка ПЗУ (0 — 3).

При изменении напряжений программирования будьте внимательны: нулевые биты кодов напряжений не влияют на величину напряжений, но изменяют режим! Кроме того, напряжения вводятся в десятичных долях вольт — запятую вводить нельзя!

При записи в PROM, имеющие 4 разряда данных, программа проверяет соответствие данных в буфере маске ПЗУ и при наличии несоответствия запись включается после дополнительного подтверждения директивы.

- 0 — код микросхемы, идентификатор для поиска в таблице для определения этого кода следует запустить PROM не с начального адреса, а с адреса равного начальному плюс 3, программа выдаст точно такой же запрос типа микросхемы, что и при обычной работе: «ВВЕДИТЕ ТИП ПРОГРАММИРУЕМОЙ МИКРОСХЕМЫ: P», следует продолжить текст, например: «T18A» и нажать ВК, программа высветит код, соответствующий микросхеме PT18A, нажатие любой клавиши вызывает повторение запроса, символы текста типа микросхемы (после буквы «P»),
- 1—6 — 0 — конец текста типа PROM,
- 7 — емкость PROM (сначала — младший байт!),
- 8, 9 — байт дополнительных разрядов адреса для имитации CS, например, K556PT6 вставляется в ту же розетку, что и K556PT16, но у PT16 на контакты 19, 18 подаются разряды адреса A11 и A12, а у PT16 — сигналы CS2=1 и CS3=1, поэтому для PT6 в строке таблицы байт 10 должен содержать значение 18H,
- 10 — маска данных: FFH/OFH,
- 11 — начальное состояние незапрограммированной микросхемы: 00 или FF, коды напряжений программирования:  $U_{cp-pr}$ ,  $U_{cc-pr}$ ,  $U_{pr}$
- 12 —
- 13—15 —

При желании текст списка программируемых микросхем можно скорректировать.

Строка таблицы EPROM состоит из 16 байт:

- 0 — индекс, идентификатор для поиска в таблице, в качестве индекса можно указать любой не использованный ранее символ, имеющийся на клавиатуре, кроме «=», строка, начинающаяся с «=», является заголовком параграфа и только выводится на экран (должна кончатся 00H),
- 1—10 — символы обозначения микросхемы,
- 11 — старший байт максимального адреса микросхемы,
- 12—14 — коды напряжений программирования  $U_{cp-pr}$ ,  $U_{cc-pr}$ ,  $U_{pr}$
- 15 — код режима микросхемы:

2716: 13H	27128: 2CH
2732: 02H	27256: 48H
2764: 2CH	27512: 00H

Кроме перечисленной литературы, можно также порекомендовать цикл статей по программированию ПЗУ, опубликованных в 1985 — 1988 гг. в журнале «Микропроцессорные средства и системы» (авторы А.П. Дианов и Н. Н. Щелкунов).

Ю. ВЛАСОВ

г. Муром  
Владимирской обл.

## ЛИТЕРАТУРА

1. Большие интегральные схемы запоминающих устройств. Справочник под редакцией Гордонова А.Ю. и Дьякова Ю.Н. — М.: Радио и связь, 1990.
2. Полупроводниковые БИС запоминающих устройств. Справочник под редакцией Гордонова А.Ю. и Дьякова Ю.Н. — М.: Радио и связь, 1987.
3. Лукьянов Д., Богдан А. «Радио-86PK» — программатор ПЗУ. — Радио, 1987, № 8, с. 21—23.
4. Лукьянов Д., Богдан А. «Радио-86PK» — программатор ПЗУ. — Радио, 1988, № 2, с. 24—28.

## МИКРОПРОЦЕССОРНАЯ ТЕХНИКА

# CP/M-80 ДЛЯ "ОРИОНА-128"

## ГРАФИЧЕСКАЯ ОБОЛОЧКА CP/M

### ПЕРЕИМЕНОВАНИЕ ФАЙЛОВ

Операция вызывается нажатием на клавишу [R]. Появившееся окно подскажет, какой файл переименовывается. Чтобы отказаться от переименования, нажмите клавишу [AP2].

Новое имя файла вводится с клавиатуры. Если файл с таким именем уже существует на диске, выдается соответствующее сообщение и осуществляется повторный ввод имени. Новое имя не должно содержать запрещенные символы и метасимволы. В противном случае вам придется вводить его заново.

### ПРОСМОТР СОДЕРЖИМОГО ФАЙЛОВ

Для просмотра содержимого файла, на котором стоит указатель, необходимо нажать клавишу [T]. Если файл окажется большим, то после заполнения текстом экрана программа сделает паузу и будет ожидать нажатия любой клавиши. После вывода последнего фрагмента текста программа будет ожидать нажатия клавиши [AP2], чтобы вернуться к основному режиму работы. Если вы хотите прервать вывод текста до его окончания, также нажмите клавишу [AP2].

Подпрограмма вывода текста на экран построена таким образом, что за исключением некоторых случаев становится возможным просматривать и файлы, подготовленные в ОС ORDOS (обычно они имеют расширение «ORD»).

Кодировка, используемая для вывода содержимого файла, состоит из двух объединенных кодировок: KOI7 и KOI8. При этом тексты в кодировке KOI7 выводятся без искажения, а тексты в кодировке KOI8 подвергаются некоторому преобразованию — строчные и прописные буквы русского алфавита выводятся как прописные буквы русского алфавита, прописные буквы латинского алфавита выводятся без изменения, строчные буквы латинского алфавита выводятся как прописные буквы русского алфавита. Это позволяет выводить тексты в обеих кодировках.

### ВЫБОР ДИСКА И ОБЛАСТИ ПОЛЬЗОВАТЕЛЯ

Для того, чтобы выбрать имя диска для панели, на которой находится указатель, необходимо нажать клавишу [D]. В результате откроется окно и программа предложит вам сделать выбор требуемого имени. При этом указатель в окне покажет имя текущего диска (рис.5). Данная версия позволяет выбрать один из пяти дисков (A — E:). Однако не следует выбирать диск, не подключенный к компьютеру, так как это может привести к зависанию системы.

Если вы поменяли дискету в текущем дисковом, то для того чтобы программа выдала ее каталог, можно нажать клавишу [D], а затем сразу [BK] или просто клавишу [F2].

Выбор требуемого диска в окне осуществляется с помощью клавиш управления курсором и клавишей [BK], либо нажатием одной из клавиш: [A], [B], [C], [D] или [E].

Выбор номера требуемой области пользователя производится с помощью клавиши [U] (рис.6). В появившемся окне темным цветом отмечены области, не содержащие ни одного файла и ярко-белым — области, в которых имеется хотя бы один файл. Выбор осуществляется с помощью клавиш управления курсором или нажатием клавиши, соответствующей требуемому номеру. При этом клавиши от [0] до [9] соответствуют номерам областей от 0 до 9, а клавиши от [A] до [F] — номерам областей от 10 до 15.

### ЗАПУСК ФАЙЛОВ И КОМАНД ОС CP/M

Для запуска файла, имеющего расширение «COM», достаточно поставить на него указатель и нажать клавишу [BK]. Если файл имеет другое расширение, команда будет игнорирована.

Окончание. Начало см. в «Радио», 1993, № 10.

# Bridge Panels

E \ User 5			E \ User 0		
Name	Size		Name	Size	
rggraf	par	128	al	com	11648
quick	cfg	2000	anketa	txt	512
pusto	com	1000	auto	com	14976
pusto	rgf	1000	basic	com	23168
rg001	rab	1000	catchum	com	29440
111	rgf	9400	catchum	dat	512
regraf	com	4000	copyt	com	1664
rgrebus	com	4000	crosser	com	2668
rgwrod	com	4000	dbaseovr	com	40192
rgwyrod	com	4000	ra	txt	2048
			ra	com	640
			format	com	1024
			forthbas	ccc	13824
			fq	txt	1920
			ft1	t	7608
			ft2	t	256
			ft3	t	7296
			ft4	t	128
			gr	com	2304
			ort	com	2432
			orteen	com	6656
			instr	txt	768
RGRAF.PAR	128		CATCHUM.COM	29440	

691072

## В РЕДАКЦИЮ ЖУРНАЛА «РАДИО»

Обратиться с просьбой к редакции опубликовать это письмо заставили меня неблагоприятные действия издательства «Радио и связь».

В феврале 1993 г. издательством тиражом 100 тыс. экз. была выпущена книга А.М. Юкера и автора этих строк под названием «Усовершенствование и ремонт телевизоров ЗУСЦТ и 4УСЦТ». Дело в том, что это ни что иное, как стереотипное издание нашей же книги, вышедшей в свет год назад, но на этот раз в названии, без участия авторов, появилось лишнее слово — «ремонт». Добавив его, издательство, очевидно, рассчитывало привлечь внимание заинтересованных читателей, а следовательно, увеличить свои доходы от реализации книги.

К сожалению, поверив названию и приобретя книгу (а она продавалась по цене 400 — 800 руб. за экз.), читатель, увы, не найдет в ней сведений о ремонте телевизоров. Авторы рассматривают в книге только вопросы ремонта вновь разработанных блоков и модулей, о чем и сказано в предисловии.

Проявив самоуправство, издательство, выпуская книгу спустя год, к тому же упустило возможность внести в нее необходимые исправления, как это принято делать при повторном тиражировании или издании.

Аналогичным образом поступило Невское рекламное издательство (Санкт-Петербург), которое в августе 1993 г., также без согласия и участия авторов, выпустило эту книгу тиражом 25 тыс. экз.

Подобный обман широкой читательской аудитории и столь неуважительное отношение к правам авторов вызывает, мягко говоря, недоумение.

С уважением С.А. ЕЛЬЯШКЕВИЧ

г. Москва

От редакции. Полностью согласны с мнением С.А. Ельяшкевича. Не знаем, чем руководствовались названные в письме издательства, но думаем, что действующие в стране законы не давали им права ничтоже сумняшеся так вольно обращаться с авторами, поправлять нравственные нормы, не говоря уже о нанесении им морального и материального ущерба.

Одновременно сообщаем о том, что редакция журнала «Радио» совместно с МП «Символ-Р» выпустило действительно новую книгу по устройству и ремонту телевизоров, информация о которой приводится на с. 10 этого номера.

## ВНИМАНИЮ ПОДПИСЧИКОВ

В редакции (Селиверстов пер., 10, комната 102) можно приобрести журнал «Радио» № 7 за 1993 г. Цена номера 120 руб. Иногородным мы вышлем его почтой. Для этого нужно перечислить 200 руб. на р/с редакции — № 400609329 в Коммерческом банке «Бизнес» в г. Москве, МФО 201638 (почтовый индекс 101000), указав в переводе — за что присланы деньги.

Для читателей из стран СНГ сумма предоплаты за журнал, с учетом почтовых расходов, составит 300 руб.

Телефон для справок 207-77-28.

Рис. 5 [F11] - HELP

# Bridge Panels

E \ User 5			E \ User 0		
Name	Size		Name	Size	
rggraf	par	128	al	com	11648
quick	cfg	2000	anketa	txt	512
pusto	com	1000	auto	com	14976
pusto	rgf	1000	basic	com	23168
rg001	rab	1000	catchum	com	29440
111	rgf	9400	catchum	dat	512
regraf	com	4000	copyt	com	1664
rgrebus	com	4000	crosser	com	2668
rgwrod	com	4000	dbaseovr	com	40192
rgwyrod	com	4000	ra	txt	2048
			ra	com	640
			format	com	1024
			forthbas	ccc	13824
			fq	txt	1920
			ft1	t	7608
			ft2	t	256
			ft3	t	7296
			ft4	t	128
			gr	com	2304
			ort	com	2432
			orteen	com	6656
			instr	txt	768
RG001.PAR	512		CATCHUM.COM	29440	

691072

706224

Рис. 6 [F11] - HELP

Для запуска файлов с параметрами или команд ОС CP/M нажимайте клавишу [F3]. В нижней строке экрана появится промпт ОС CP/M, соответствующий диску, на котором в данный момент находятся указатель и мигающий курсор. Далее обычным образом можно ввести команду и нажать [BK] для ее выполнения. При наборе команды допускается использовать клавишу перемещения курсора влево для удаления неправильно набранных символов. Нажатие клавиши [AP2] прерывает команду и осуществляет возврат в основной режим.

Для копирования в командную строку имени файла, на котором стоит указатель, нажимайте клавишу [F3]. Имя файла копируется вместе с именем диска, на котором этот файл находится, если оно не совпадает с именем диска, указанным в промпте.

После того как только программа или команда обработает, управление снова будет возвращено программе «BP». Однако это произойдет только в том случае, если на диск A: возможна запись.

После возврата в «BP» все режимы останутся теми же, что и до запуска программы или команды.

Довольно часто бывает, что запущенная программа или команда выдает на экран какие-то результаты своей работы. Но из-за появления панелей пользователь не успевает их прочесть. Чтобы убрать панели и просмотреть сообщения, воспользуйтесь клавишей [P]. Нажатие любой клавиши восстановит панели на экране.

М.БРИДЖИДИ, Г.РОГОВ

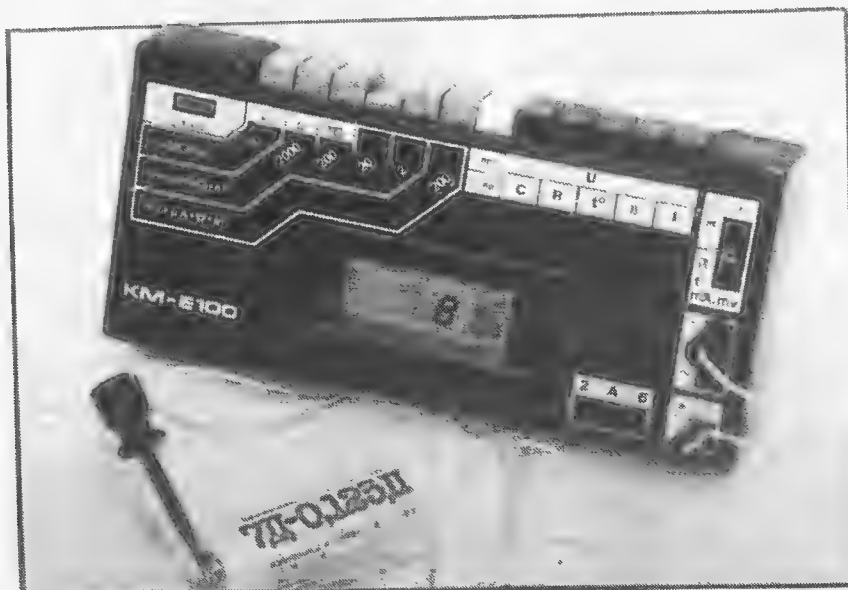
г.Москва

# ЛИТЕРАТУРА

1. Сугоняко В., Сафронов В. Операционная оболочка «ORDOS». — Радио, 1991, № 11, с.28—32.
2. Бриджиди М., Рогов Г. CP/M-80 для «Ориона-128». Программа «Lord». — Радио, 1993, № 8, с.18—20.
3. Бриджиди М., Рогов Г. CP/M-80 для «Ориона-128». Операционная система. — Радио, 1993, № 7, с.18—21.



# КОМБИНИРОВАННЫЙ МУЛЬТИМЕТР KM-E100



Объединение малых предприятий НПО «Верес» освоило серийный выпуск портативных цифровых мультиметров KM-E100, рассчитанных на широкий круг пользователей. Отличительными особенностями мультиметра являются расширенные функциональные возможности при малых габаритах и малом токе потребления, а также оригинальный дизайн, защищенный патентом на промышленный образец. В мультиметре нетрадиционно выполнены измеритель емкости и измеритель статического коэффициента передачи тока базы ( $h_{21}$ ) транзисторов п-р-п и р-р-р структур, имеется режим измерения температуры с помощью выносного датчика, расширен частотный диапазон переменных напряжений за счет использования микроомного широкополосного операционного усилителя, предусмотрена возможность использования в качестве генератора-пробника при проверке цепей низкочастотных трактов.

Мультиметр состоит из двух блоков — коммутационного и измерительного, принципиальные схемы которых приведены соответственно на рис. 1 и 2.

Основой прибора являются большая интегральная схема (БИС) DA1 (рис. 2) КР572ПВ5 цифрового вольтметра с двойным интегрированием и 3,5-разрядный жидкокристаллический индикатор (ЖКИ) HG1 типа ИЖЦ5-4/8. Эти элементы включены по типовым схе-

мам, неоднократно публиковавшимся в технической литературе [1, 2]. Для питания БИС использовано стабилизированное напряжение +4,5 В и нестабилизированное —5 В, получаемые от преобразователя напряжения.

Тактовая частота ( $f_t$ ) аналого-цифрового преобразователя (АЦП) выбрана равной 67 кГц из условия кратности интервала интегрирования (60 мс) периоду колебания сетевого напряжения с частотой 50 Гц (20 мс) для ослабления влияния сетевых наводок. Сигнал тактовой частоты использован для работы преобразователя напряжения, который состоит из усилителя мощности на транзисторах VT9 — VT11, детектора на диодах VD18, VD19 и фильтра на конденсаторе C18. Стабилизатор напряжения +4,5 В состоит из формирователя опорного напряжения на диодах VD8 — VD14, ток через которые (1 мА) стабилизирован транзистором VT7, и эмиттерного повторителя VT8.

Для работы ЖКИ использовано напряжение частотой  $f_t/800=83$  Гц, формируемое на выводе 21 микросхемы DA1. На транзисторе VT1 выполнен инвертор для зажигания символов запятой ЖКИ. Меандр частотой 83 Гц также поступает на вход активного фильтра, выполненного на операционном усилителе DA3 и элементах C13, C14, R22-R24, на выходе которого формируется синусоидальный сигнал, используемый при измерении емкости.

На операционном усилителе DA2 и диодах VD1, VD2 выполнен линейный детектор переменного напряжения, используемый при измерении переменных напряжений [3]. Частотный диапазон детектора определяется частотными характеристиками используемого ОУ — для получения линейности детектирования 1% усиление ОУ должно составлять не менее 40 дБ, что для ОУ 154УД1 обеспечивается до частоты 10 кГц. Выбор указанного типа ОУ обусловлен стремлением минимизировать ток потребления мультиметра при обеспечении возможности измерений во всем диапазоне звуковых частот. При измерении напряжений с уровнем более 1/3 от предела измерения частотный диапазон может быть расширен до 25 кГц. Истоковый повторитель на транзисторе VT2 служит для получения высокого входного сопротивления детектора.

Транзисторы VT5, VT6 работают в режиме термостабилизации тока стока и использованы для формирования образцового напряжения 100 мВ для вольтметра и напряжений 220 мВ и 640 мВ для измерителя температуры.

При измерении напряжений на вход эталонного напряжения микросхемы DA1 подано образцовое напряжение 100 мВ с резистора R32, а на ее сигнальный вход — измеряемое напряжение, приведенное к интервалу 0...200 мВ с помощью делителя напряжения на резисторах R1—R6, R14, R18, R20, R21 (рис. 1). Используемая схема делителя и наличие отдельного гнезда для вольтметра на пределах 2...2000 В позволяет подавать на этот вход напряжение до 3 кВ. Переходы затвор—сток транзисторов VT2, VT3, резистор R10 и резисторы R1—R6 делителя (рис. 1) образуют ограничитель напряжения на уровне 5 В. Использование в ограничителе тран-

## Технические характеристики

<b>Пределы измеряемых значений параметров:</b>	
— постоянного и переменного тока, А	200 · 10 <sup>-6</sup> ...10
— напряжения постоянного и переменного токов, В	200 · 10 <sup>-3</sup> ...2000
— сопротивления, Ом	200...20 <sup>6</sup>
— емкости, пФ	200...20 <sup>6</sup>
— статического коэффициента передачи тока базы, не более	2000
— температуры, °С	-10...+100
<b>Точность измерений:</b>	
— сопротивлений, постоянных напряжений и токов до 200 мА, %, не хуже	0,5
— переменных напряжений, тока и емкостей до 5 мкФ, %, не хуже	0,75
— токов свыше 200 мА, %, не хуже	2,5
— емкостей более 5 мкФ, не хуже	10
— температуры, °С, не хуже	±0,5
<b>Входное сопротивление, МОм, при измерении напряжений:</b>	
— постоянного и переменного тока на пределе 200 мА	0,1
— переменного тока на пределе 2 В	1
— на остальных пределах	10
<b>Максимальное падение напряжения при измерении тока, В, не более</b>	
— 0,2	0,2
<b>Частотный диапазон измеряемых напряжений и токов, Гц</b>	
— 30...10 000	30...10 000
<b>Потребляемый ток от источника питания, мА, не более</b>	
— 3,5	3,5
<b>Габариты, мм, не более</b>	
— 174x85x30	174x85x30
<b>Масса с источником питания, г, не более</b>	
— 350	350

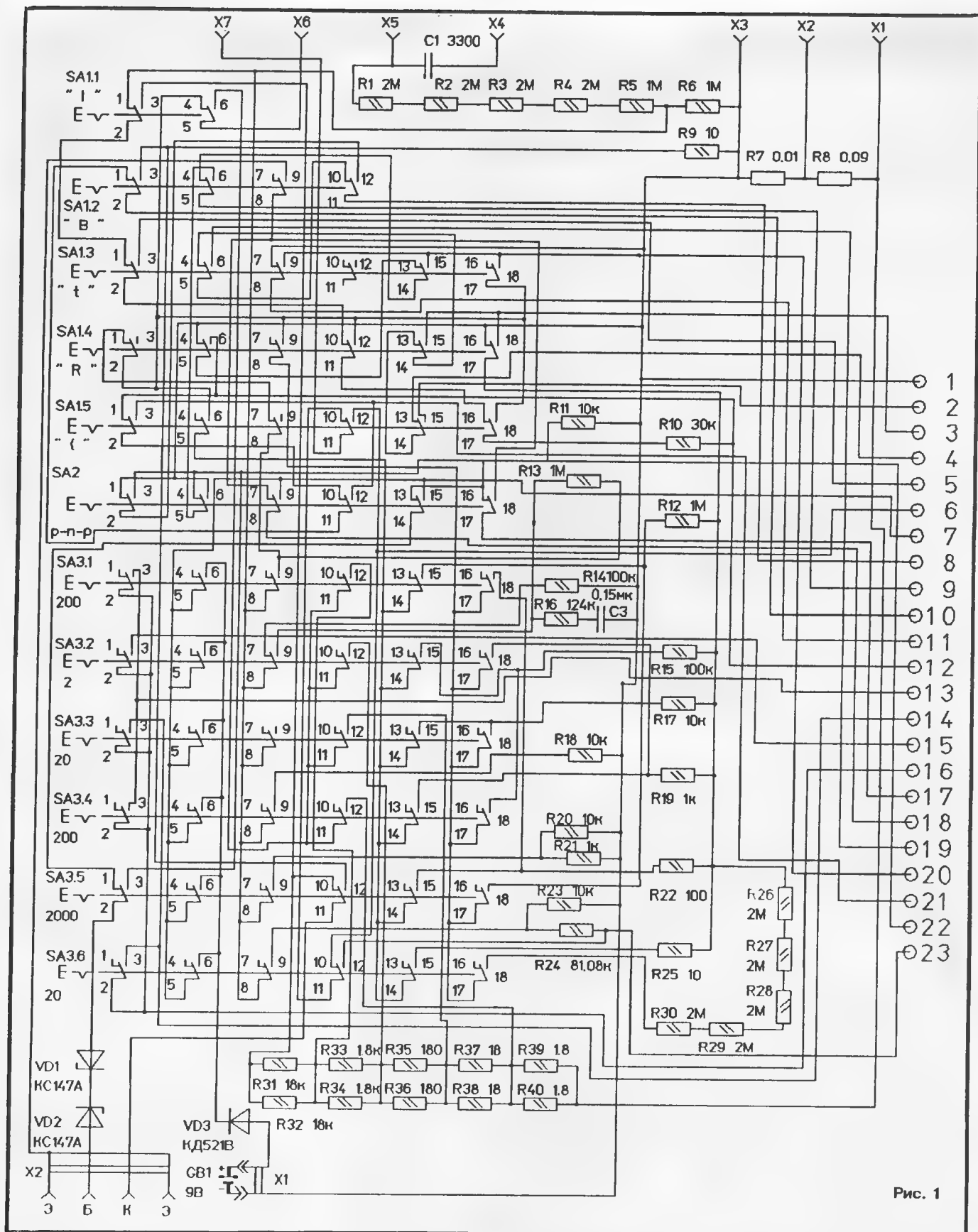


Рис. 1

зисторов вместо диодов (как в [2]) объясняется недостаточным малым обратным током типовых кремниевых диодов. При измерении переменных напряжений вход микросхемы DA1 подключен к выходу детектора. Для ослаб-

ления влияния наводок входное сопротивление на пределе 200 мВ снижено до 0,1 МОм, а на пределе 2 В (переменный ток) — до 1 МОм с помощью делителя R13R16C3 (рис.1).

Измерение токов основано на опре-

делении падения напряжения на образцовых резисторах R7, R8, R31—R40. На пределах до 200 мА измеряемый ток подан через переключатель, а на пределах 2 и 10 А использованы отдельные гнезда. Вольтметр подключен к делите-

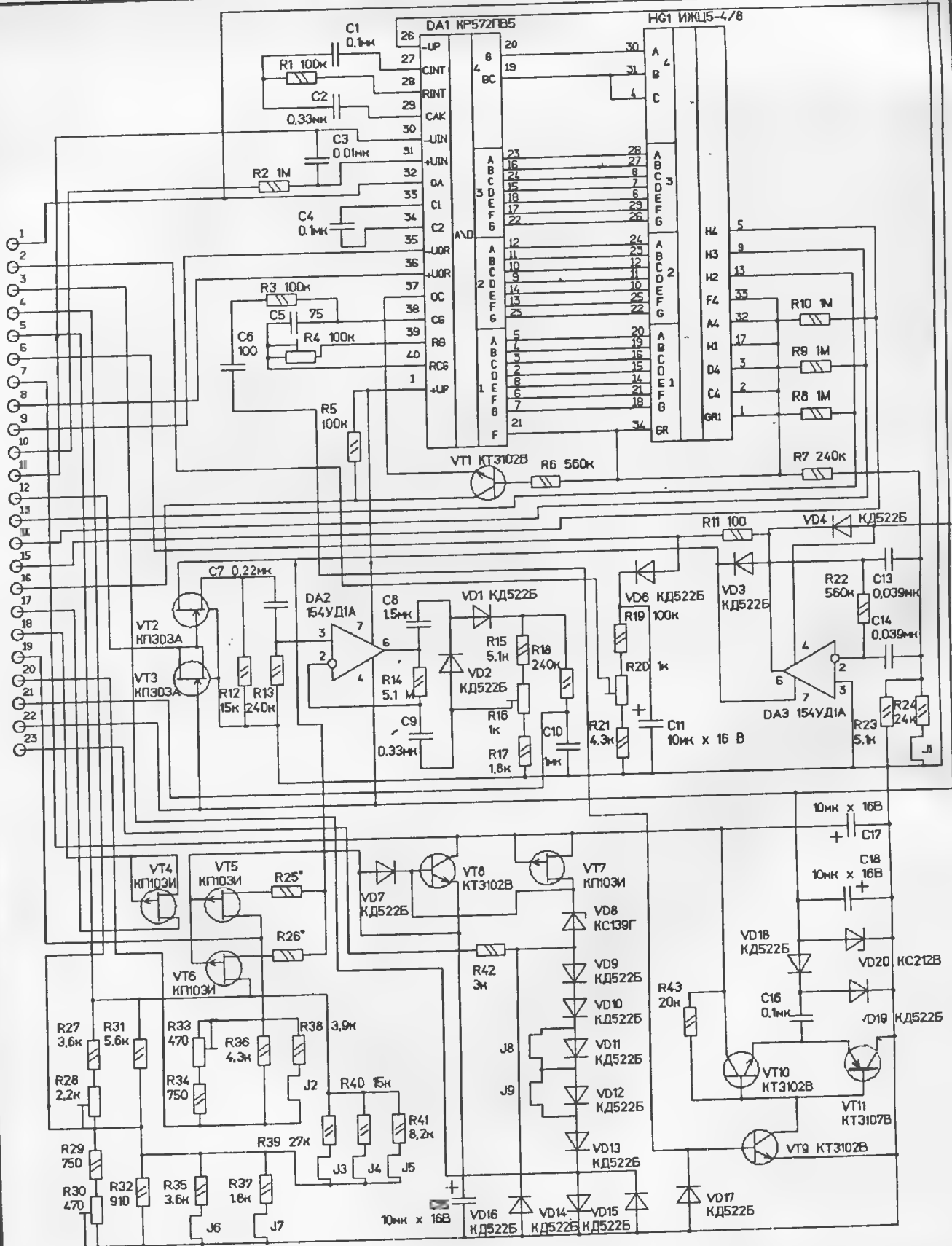


Рис. 2

лю таким образом, чтобы сопротивление контактов в гнездах и переключателях не влияло на точность измерений.

Для измерения сопротивлений

применена известная схема [2] сравнения напряжений на измеряемом и образцовом резисторах при протекании через них одинакового тока. Для создания тока использо-

вано напряжение 0,6 В с диода VD14, резисторы R12, R15, R17, R19, R22, R26—R30 — образцовые.

Измерение емкости основано на определении величины синусоидально-



го тока, протекающего через измеряемый конденсатор, с помощью последовательно включенного с ним образцового резистора (R12, R15, R17, R19, R22, R25 на рис. 1). Для ослабления влияния нестабильности выходного напряжения активного фильтра на точность измерения в качестве образцового используется напряжение, получаемое детектированием выходного напряжения фильтра элементами VD6, C11, R19—R21. Преимуществом применения синусоидального напряжения для измерения емкости (вместо часто используемого треугольного) является существенно большее допустимое падение напряжения на образцовом резисторе, включенном последовательно с измеряемым конденсатором. Например, для получения нелинейности шкалы емкостей не более 1% при амплитуде генератора 2 В допустимо падение напряжения на образцовом резисторе до 300 мВ при синусоидальном напряжении и лишь 40 мВ при треугольном напряжении.

При измерении коэффициента передачи тока базы ( $h_{21}$ ) транзисторов напряжения с резисторов R9, R11 (рис. 1), пропорциональные токам коллектора и базы, поданы на сигнальный и эталонный входы микросхемы DA1, которая формирует отклик, соответствующий отношению двух напряжений. Особенностью схемы измерения является использование стабилизированных тока коллектора (с помощью источника тока 1,5 мА на транзисторе VT4) и напряжения коллектор—база (стабилитроны VD1, VD2 на рис. 1) [4]. В такой схеме переменным является ток базы и соответ-

ственно напряжение на эталонном входе микросхемы DA1, которое при значении параметра  $h_{21} > 150$  становится меньше паспортного значения 100 мВ. Опыт показывает, что данная микросхема устойчиво работает при образцовом напряжении не менее 20 мВ, что позволяет измерять значение параметра до 750. При больших значениях параметра показания иногда могут быть нестабильными из-за влияния помех.

Определение температуры основано на измерении прямого падения напряжения на переходе эмиттер—база кремниевых транзистора КТ3102В (установлен в отдельной конструкции датчика) при стабилизированном токе через него. Это напряжение линейно зависит от температуры. Для установки нуля температуры использовано термостабилизированное напряжение 640 мВ с резистора R31 (рис. 2), образцовое напряжение 220 мВ подает от резистора R36.

В мультиметре имеется режим пробника, в котором в измеряемую цепь через резистор R42 подается ток до 1 мА и индицируется падение напряжения на цепи в мВ. Этот режим позволяет измерять прямое падение напряжения на любых типах диодов.

В конструкции прибора предусмотрены элементы защиты от перенапряжений, возникающих при ошибочном выборе режима работы. Для защиты использованы ограничители напряжения на диодах: цепь VD3, VD4, R11 — для защиты выхода микросхемы DA3; VD16, R42 — защита пробника; VD15 — защита омметра; VD7, VD20 — защита по питанию.

Переключки J1—J9 и подстроечные ре-

зисторы использованы при регулировке мультиметра.

Конструктивно прибор выполнен на двух печатных платах, расположенных одна над другой и соединенных гибкими проводниками. Такая конструкция позволяет легко модернизировать мультиметр для каких-либо специальных применений. В качестве гнезд применены стандартные подпружиненные гнезда типа Г4, позволяющие использовать любой тип штекера диаметром 4 мм. Наличие постоянно включенного внутреннего генератора (выходное сопротивление 200 Ом) с отдельным выходом позволяет использовать прибор для проверки низкочастотных трактов.

Коллектив разработчиков постоянно работает над улучшением потребительских свойств мультиметра и готов рассмотреть любые предложения в этом направлении, если Вы сообщите их по телефонам г. Москвы: (095) 306-00-26 и 306-47-21.

А. ЕРКИН

г. Москва

#### ЛИТЕРАТУРА

1. Федорков Б.Г., Телец В.А. Микросхемы ЦАП и АЦП: функционирование, параметры, применение. — М: Энергоатомиздат, 1990, с.242.
2. Цибяев В. Цифровой вольтметр с автоматическим выбором предела измерения. — Радио, 1989, № 10, с.69—72.
3. Цибяев В. Еще раз об измерении переменного напряжения. — Радио, 1991, № 4, с.91.
4. Аристов А. Два испытателя транзисторов. В помощь радиолюбителю. Вып. 100 — М: ДОСААФ, 1988, с.63—68.
5. Мейзда Ф. Электронные измерительные приборы и методы измерений. — М: Мир, 1990, с.95—96.

## ОБМЕН ОПЫТОМ

# РАБОТА МАГНИТОФОНА С ЛЕНТОЙ МЭК II

Магнитофон музыкального центра «Вега-119 с» не имеет возможности полноценно осуществлять запись и воспроизведение при работе с магнитной лентой типа МЭК II (а такую ленту уже производят и отечественные предприятия) из-за отсутствия соответствующих цепей формирования предскажений и коррекции и обеспечения необходимых токов стирания и подмагничивания. Но эту возможность нетрудно реализовать самостоятельно, собрав устройство, схема которого показана на рисунке (все обозначения вновь вводимых элементов даны со штрихом при указании порядкового индекса, указания элементов присоединения цепей — в соответствии с заводской схемой).

Предложенное устройство изменяет величину напряжения питания, подводимого к генератору тока стирания и подмагничивания (ГСП) магнитофона, чем и достигается выбор необходимых токов для работы с различными лентами. В режиме работы с лентой МЭК II напряжение на контакте 3 разъема XS20 — 15 В (при работе с лентой МЭК I + 15 В), транзистор VT1 открыт. Величина тока через коллекторный переход и напряжение на коллекторе определяется величиной базового тока и регулируется подстроечным резистором R1'. Увеличение напряжения питания ГСП приводит к увеличению токов стирания и подмагничивания.

Для выполнения частотных предскажений и коррекции введено два ключевых устройства на полевых транзисторах VT2 и VT3, которые подключают к колебательным контурам LC39 и LC40 параллельно конденсаторы C1' и C2'. Для правильной работы цепей предскажений и коррекции емкость конденсаторов магнитофона C39 и C40 необходимо уменьшить до 0,033 мк. Этим самым резонансная частота контура повышается и осуществляется подъем АЧХ на более высокой частоте (порядка 18 кГц) — режим работы с магнитной лентой МЭК II. В этом режиме полевые транзисторы закрыты и конденсаторы C1' и C2' от колебательных контуров отключены. При работе с лентой МЭК I транзисторы VT2 и VT3 открываются и параллельно подключаемые конденсаторы снижают резонансную частоту, формируя подъем АЧХ на частоте 14 кГц.

В устройстве коррекции токов можно применять транзисторы КТ814, КТ816 (VT1) и КП307 (остальные) с любыми буквенными индексами. Диоды — любые маломощные с максимальным обратным напряжением не менее 20 В.

Монтаж устройства выполнен на свободных контактных площадках платы усилителя записи-воспроизведения магнитофона. Установка транзистора VT1 на теплоотводящий радиатор не обязательна.

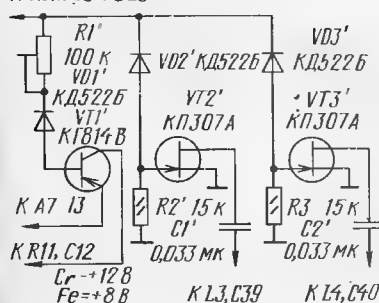
После установки устройства коррекции токов ГСП в магнитофона возможно увеличение тока подмагничивания при работе с лентой МЭК I примерно на 5%. Его восстановление до первоначального уровня можно добиться подбором резисторов R30A, R31A. После этого устанавливают ток подмагничивания для ленты МЭК II регулировкой подстроечного резистора R1' собранного устройства с учетом того, что он должен быть в 1,3...1,5 больше тока подмагничивания ленты МЭК I. Затем подбором конденсаторов C1' и C2' устанавливают частоту подъема АЧХ для режима работы с лентой типа МЭК I.

При работе с дополнительным устройством для увеличения тока записи в режиме использования ленты МЭК II уровень записи по индикатору устанавливают так, чтобы пик сигнала составлял +2 дБ (можно работать и по уровню 0 дБ, как и с лентой МЭК I, ухудшение отношения сигнал/шум практически незаметно).

Д. ПАНКРАТЬЕВ

г. Ташкент

К конт. 3 XS20





## С ПАЙЛЬНИКОМ В РУКАХ

ПЕРЕКЛЮЧАТЕЛИ  
ЕЛОЧНЫХ ГИРЛЯНД

С приближением Нового года такие конструкции становятся более актуальными, поэтому расскажем о некоторых простых тринисторных переключателях, которые можно быстро собрать и приспособить к имеющимся елочным гирляндам.

**Переключатель одной гирлянды.** Наиболее простая конструкция может быть собрана на базе тринистора КУ202Н и диода КН102И (рис. 1). Гирлянда ламп EL1 питается от сети через последовательно соединенные однополупериодный выпрямитель на диоде VD1 и тринистор VS2, управляющий режимом работы гирлянды.

Сразу же после включения устройства в сеть начинает заряжаться конденсатор C1 (при каждом положительном полупериоде напряжения). Открывается тринистор (тоже при положительном полупериоде). Через гирлянду при этом протекает наибольший средний ток.

По мере зарядки конденсатора ток через управляющий электрод тринистора закрывается и тринистор открывается снова по времени относительно начала положительного полупериода. Уменьшается средний ток через гирлянду — яркость ее ламп падает, а вскоре они гаснут.

Но конденсатор продолжает заряжаться, напряжение на нем увеличивается. Когда оно достигает определенного значения, открывается диодистор VS1 и конденсатор разряжается через него и резистор R1. После этого конденсатор начинает заряжаться вновь и процесс повторяется. Продолжительность горения ламп гирлянды и длительность паузы зависят от сопротивления резисторов R2, R3 и емкости конденсатора C1.

При подборе деталей для этого переключателя особое внимание следует уделить тринистору — его ток через управляющий электрод, при котором тринистор открывается, должен быть возможно меньшим. Тогда удастся применить резистор R3 с большим сопротивлением при указанной на схеме емкости конденсатора и смонтировать устройство в корпусе сетевой розетки (напротив движка резистора R2 в корпусе сверлят отверстие).

Кроме указанного на схеме, диодистор может быть 2Н102И, а выпрямительный диод — любой кремниевый, рассчитанный на обратное напряжение не ниже 400 В, выпрямленный ток не менее 0,5 А

и обладающий обратным током не более 1 мА. Подстроечный резистор R2 — СПО-0,5. Конденсатор C1 составлен из двух последовательно соединенных конденсаторов емкостью по 10 мкФ на напряжение 100 В.

Другой вариант схемотехнического решения переключателя одной гирлянды приведен на рис. 2. Он создает эффект мигания ламп.

Как и в предыдущем варианте, лампы гирлянды EL1 оказываются включенными в сеть через выпрямительный диод и тринистор. В первый момент после включения вилки X1 в сеть начинает заряжаться конденсатор C1. Гирлянда пока не горит. Как только напряжение на конденсаторе достигает определенного значения, открывается тринистор. Гирлянда вспыхивает, конденсатор разряжается через резистор R2 и управляющий электрод открытого тринистора. После этого тринистор закрывается, гирлянда гаснет. Вновь начинается зарядка конденсатора, и процесс повторяется.

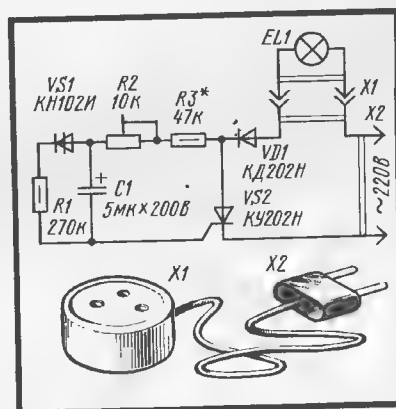


Рис. 1

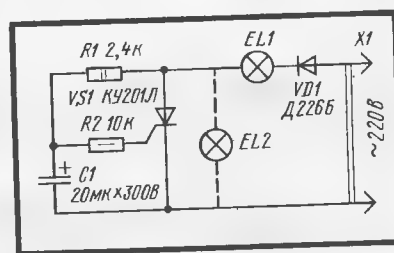


Рис. 2

Если вы пожелаете повторить ту или иную конструкцию из данной подборки, а деталей нет, — не огорчайтесь.

Нужные тринисторы, конденсаторы, резисторы, диоды и транзисторы поможет быстро и недорого приобрести редакция журнала «Радио».

Наш адрес: Селиверстов пер., 10, комн. 102.

Справки по тел.: 207-77-28; 207-72-54.

Гирлянда может быть как готовая, так и самодельная, составленная из последовательно соединенных ламп на общее напряжение 220...250 В при токе потребления не более 0,4 А. Если же будут использоваться более мощные лампы, придется заменить диод Д226Б другим, например Д242Б, а также применить тринистор КУ202Л, КУ202М или КУ202Н. Резисторы — МЛТ-0,5 (R2) и МЛТ-2 (R1), конденсатор — К50-3 или другой на номинальное напряжение не ниже указанного на схеме.

Частота переключения (мигания) гирлянды зависит от емкости конденсатора и сопротивления резисторов. Если необходимо плавно изменять частоту переключения, наиболее просто это сделать заменой резистора R2 цепочкой из последовательно соединенных постоянного резистора сопротивлением 6,8 кОм (МЛТ-0,5) и переменного сопротивления 22, 33, 47, 68, 100 кОм (СП-1).

**Переключатель двух гирлянд.** Чаше на новогодней елке развешивают лампы двух гирлянд. И тогда собирают переключатель, который попеременно подключает к сети то одну, то другую гирлянду. Если лампы гирлянды окрашены в разные цвета, елка освещается разноцветными огнями.

Управлять двумя гирляндами способен и предыдущий тринисторный переключатель, если вторую гирлянду подключить параллельно тринистору (рис. 2). Если гирлянды с одинаковым током потребления, то при закрытом тринисторе они будут гореть вполнакала, а при открывании тринистора гирлянда EL1 засветится полной яркостью, а то время как EL2 погаснет.

Выбрав же, например, гирлянду EL1, со значительно большим током потребления по сравнению с гирляндой EL2, можно добиться их поочередного переключения. Когда тринистор открыт, будет гореть гирлянда EL1. При закрывании тринистора гирлянды окажутся соединенными последовательно, но из-за большего сопротивления гирлянды EL2 напряжение будет падать в основном на ней.

**Переключатель трех гирлянд.** Продолжая совершенствовать простой однотринисторный переключатель, можно добиться того, что он станет способным управлять тремя гирляндами (рис. 3).

Как и в предыдущем варианте, при

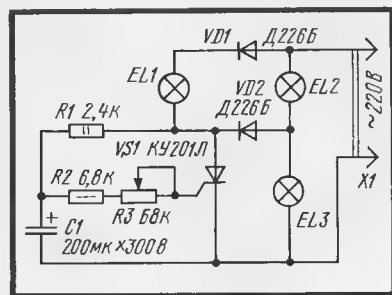


Рис. 3

закрытом транзисторе горят вполнакала гирлянды EL2 и EL3 (если они одинаковой мощности). В момент же открывания транзистора вспыхнут полной яркостью гирлянды EL1 и EL2, а EL3 погаснет, поскольку окажется зашунтированной через открытый транзистор диодом VD2.

Все гирлянды могут быть одинаковой мощности (для указанных на схеме диодов — не более 60 Вт), но допустимо использовать гирлянду EL3 меньшей мощности, чтобы она светила ярче, чем EL2.

Большими возможностями обладает несколько усложненный переключатель (рис. 4) — с тремя транзисторами. Когда устройство подключают к сети, сразу же начинают заряжаться конденсаторы C1—C3. Продолжительность зарядки каждого конденсатора зависит от его емкости и сопротивления резистора, включенного между ним и диодом VD7 (резисторы R2, R4, R6). В идеальном случае конденсаторы будут заряжаться одновременно и через определенное время на них напряжение достигнет напряжения открывания транзисторов. Фактически же продолжительность зарядки конденсаторов и напряжения открывания транзисторов неодинаковы, поэтому какой-то из транзисторов откроется раньше других. Предположим, что это будет транзистор VS1. Тогда загорится гирлянда EL1, а через открытый транзистор и диод VD6 почти мгновенно разрядится конденсатор C3.

Следующим зарядится конденсатор C2 (поскольку C3 разряжен), откроется транзистор VS2 и включит гирлянду EL2. При этом конденсатор C1 разрядится через диод VD4 и транзистор VS2, а конденсатор C3 начнет заряжаться до напряжения открывания транзистора VS3 по управляющему электроду.

Таким образом, гирлянды ламп будут зажигаться поочередно. Продолжительность их горения зависит от сопротивления резисторов R2, R4, R6 и емкости соответствующих конденсаторов. Резисторы R1, R3, R5 ограничивают токи, протекающие через управляющие электроды транзисторов.

Вместо транзисторов КУ201Л можно применить КУ201К, КУ202К—КУ202Н. Диоды Д226Б можно заменить другими диодами, рассчитанными на выпрямленный ток не менее 100 мА и обратное напряжение не ниже 400 В. Выбор диодов VD1—VD3, VD7 зависит от мощности потребления гирлянд. Если каждая гирлянда потребляет ток не более 1 А, подойдут диоды, рассчитанные на ток не менее 2 А и обратное напряжение не ниже 200 В. Для более мощных гирлянд

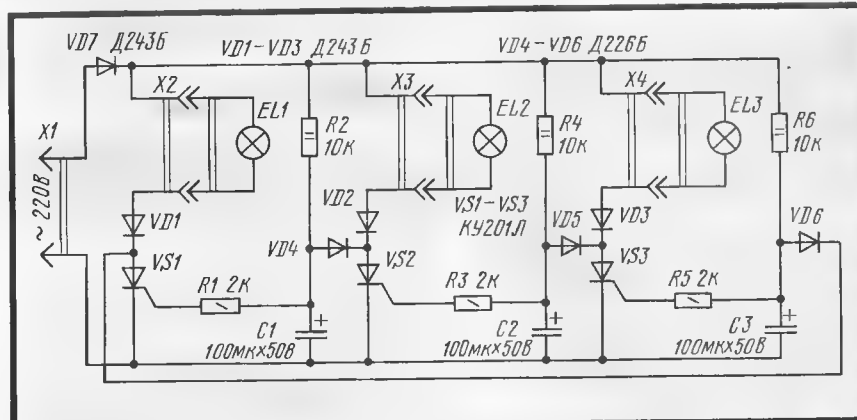


Рис. 4

потребуется и более мощные диоды. Гирлянды должны быть рассчитаны на напряжение сети.

**Переключатель четырех гирлянд.** Все чаще можно встретить на ветвях елки не две и не три, а четыре гирлянды ламп, переливающихся разноцветными огнями. Особенно такое число гирлянд бывает необходимо для большой елки, например, установленной в школьном зале. Правда, конструкция автомата для управления столькими гирляндами несколько усложняется, в чем нетрудно убедиться,

взглянув на рис. 5.

Основные детали автомата вам известны — это транзисторы, транзисторы, диоды. На транзисторах собран генератор, вырабатывающий импульсные сигналы прямоугольной формы. Эти сигналы выделяются на резисторах R1 и R5 и поступают дальше каждый на свой транзистор. Появляются импульсные сигналы на резисторах поочередно, поэтому также поочередно ими управляют и транзисторы. Диоды VD5 и VD6 защищают управляющие электроды транзисторов от обратного напряжения.

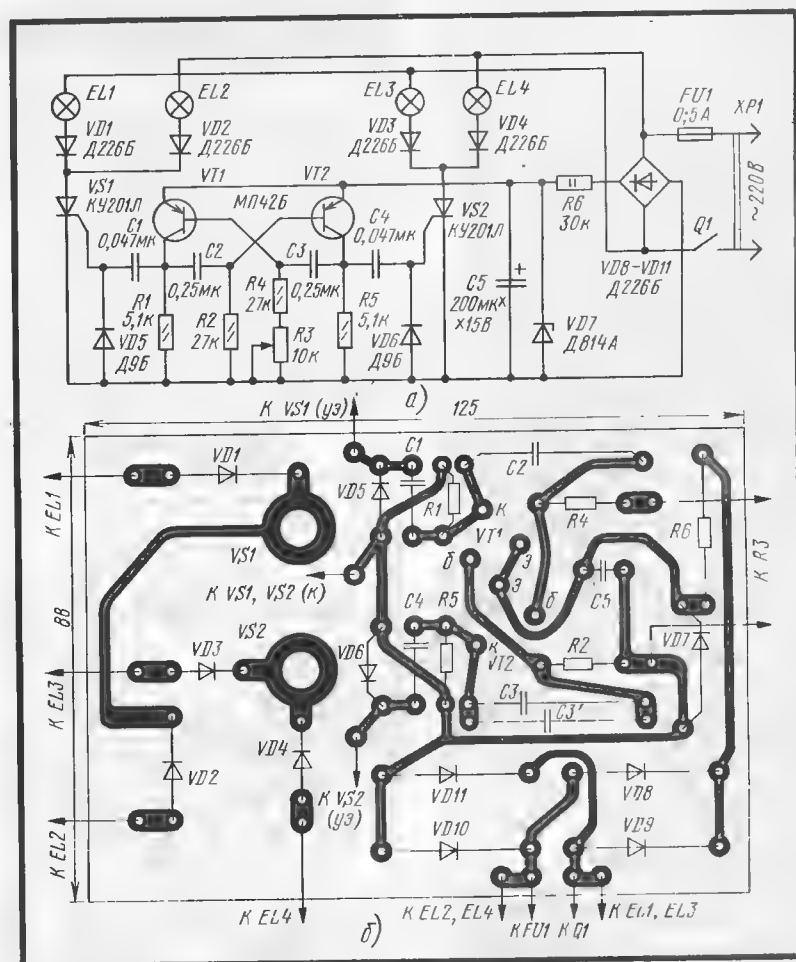


Рис. 5



Питается генератор от выпрямителя на диодах VD8—VD11 через параметрический стабилизатор на стабилитроне VD7 и балластном резисторе R6. Выпрямленное и стабилизированное напряжение сглаживается оксидным конденсатором C5.

В анодную цепь каждого тринистора включено по две гирлянды, но зажигаются они не одновременно. К примеру, когда открыт тринистор VS1, зажигается гирлянда EL1 во время положительного полупериода напряжения на ее верхнем по схеме выводе или гирлянда EL2 во время такого же полупериода на ее верхнем выводе. Аналогично включаются и остальные гирлянды.

Поскольку генератор не синхронизирован с частотой сети и частота следования его импульсов устанавливается переменным резистором R3, фаза управляющих тринисторами импульсов непрерывно изменяется относительно фазы сетевого напряжения. А это, в свою очередь, определяет скорость переключения гирлянд. Очередность же переключения гирлянд зависит от установленной частоты импульсов генератора. В среднем положении движка переменного резистора может наступить такой режим, что все гирлянды будут гореть постоянно.

В этом автомате можно использовать тринисторы серий КУ201 или КУ202 с буквенными индексами К—Н. Вместо указанных на схеме транзисторов МП42Б подойдут другие германиевые, например, серий МП39—МП42. Диоды VD1—VD4, VD8—VD11 могут быть, кроме указанных на схеме, серий КД105, КД202 и другие, с обратным напряжением не менее 300 В и выпрямленным током более 100 мА; диоды VD5, VD6 — любые из серии Д9; стабилитрон VD7 — Д814А, Д814Б, Д808, Д809. Постоянные резисторы — МЛТ-2 (R6), МЛТ-0,125 или МЛТ-0,25 (остальные), переменный R3 — СП-1, СПЗ-12.

Все детали, кроме переменного резистора, сетевого выключателя, предохранителя FU1 и гирлянд смонтированы на печатной плате, но можно обойтись обычной платой из изоляционного материала, вставив в ее отверстия выводы деталей и соединив их между собой в соответствии со схемой. На плате предусмотрены отверстия для крепления дополнительного конденсатора C3', который может понадобиться при подстройке частоты генератора.

Налаживать автомат лучше всего при пониженном (например, с помощью автотрансформатора) переменном напряжении и с низковольтными лампами в качестве гирлянд. При этом резистор R6 временно заменяют резистором меньшего сопротивления (оно зависит от питающего переменного напряжения).

После включения автомата сразу же должны светиться все гирлянды. Если какой-то из тринисторов не включается и часть гирлянд не горит, необходимо подобрать конденсаторы C1 и C4 большей емкости.

После этого подстраивают мультивибратор. Установив движок переменного резистора примерно в среднее положение, подбором резистора R4 (или R2), а также конденсатора C3 добиваются остановки переключений гирлянд.

## РЕГУЛЯТОР МОЩНОСТИ

С принципом работы тринисторного регулятора мощности вы уже познакомились ранее, когда проводили занимательные эксперименты. Теперь пора перейти к описанию практических конструкций. Первая из них (рис. 6) позволит плавно регулировать температуру нагрева жала паяльника.

В регуляторе — маломощный тринистор и такой же выпрямительный диод, включенные встречно-параллельно и установленные в разрыв одного из питающих проводов паяльника. При положительном полупериоде напряжения на верхнем по схеме штыре вилки X1 ток проходит через диод VD1 и нагрузку (паяльник), включенную в розетку X2.

При отрицательном полупериоде напряжения на указанном штыре диод закрыт и тока через нагрузку нет. Если бы отсутствовала цепь из тринистора VS1, конденсатора C1 и резисторов R1—R4, на нагрузку выделялась бы мощность вдвое меньше той, которая была бы при непосредственном питании от сети. Благодаря же использованию тринистора с дополнительными деталями появляется возможность шунтировать диод, когда он закрыт, и пропускать через нагрузку дополнительный ток. Причем этот дополнительный ток можно регулировать переменным резистором R3, изменяя фазу открывания тринистора. В итоге

будет изменяться средний ток, протекающий через нагрузку, а значит, выделяющаяся на ней средняя мощность.

Если при вставленной в сетевую розетку вилке X1 и включенном в гнезда X2 паяльнике измерить на нем переменное напряжение, то при перемещении стрелки вольтметра зафиксирует изменение напряжения примерно от 150 до 210 В.

Естественно, включив в гнезда X2 настольную лампу, можно изменять яркость ее свечения. Как в первом, так и во втором вариантах мощность нагрузки не должна превышать 30 Вт.

Вместо диода Д226Б подойдет другой выпрямительный, рассчитанный на ток не менее 300 мА и обратное напряжение выше 300 В, а вместо тринистора КУ101Б — КУ101Г, КУ101Е. Если применить более мощный диод, например Д245А, и установить тринистор КУ201Д—КУ201Л или КУ202Д—КУ202Н, регулятор можно использовать для управления напряжением на нагрузке мощностью до 400 Вт.

Налаживание регулятора сводится к проверке и подбору пределов регулирования напряжения на нагрузке. Включив в гнезда X2 настольную лампу, измеряют напряжение на ней при крайних положениях движка резистора. Минимальное напряжение (около 150 В) устанавливают подбором резистора R1, максимальное — подбором резистора R4. В заключение полезно изготовить и отградуировать шкалу переменного резистора.

В значительно более широких пределах можно изменять напряжение на

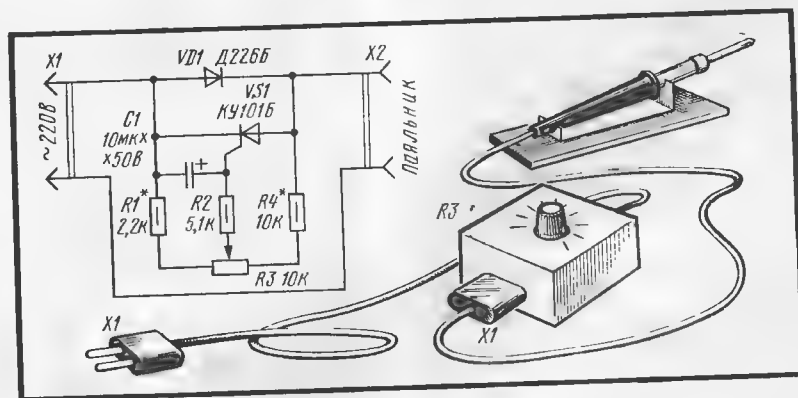


Рис. 6

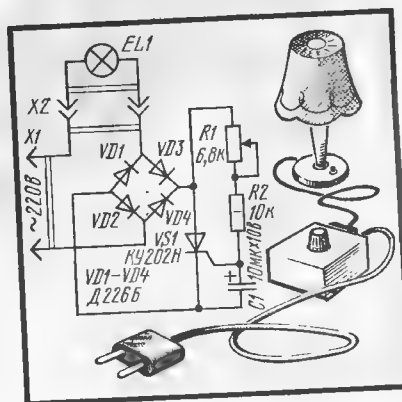


Рис. 7

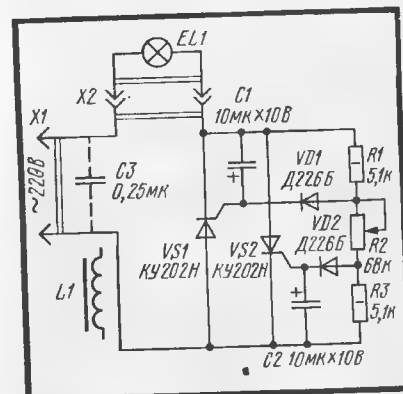


Рис. 8

нагрузке с помощью регулятора, показанного на рис. 7. Нагрузка (настольная лампа) в нем включена в сеть через диодный мост на диодах VD1—VD4. Диоды включены так, что пока закрыт трингистор VS1, ток через лампу не течет.

Выпрямленное мостом напряжение приложено к аноду и катоду трингистора и одновременно поступает на зарядную цепь, состоящую из резисторов R1, R2 и конденсатора C1. Как только конденсатор зарядится до определенного напряжения, трингистор откроется и замкнет диагональ моста. Через нагрузку потечет ток. Такое случается при каждом полупериоде сетевого напряжения. Момент открывания трингистора, иначе говоря «порция» поступающей на нагрузку электроэнергии, зависит от емкости конденсатора и общего сопротивления резисторов. Изменять эту «порцию» можно переменным резистором.

Вместе диодов Д226Б подойдет готовый выпрямительный мост КЦ402—КЦ405 с буквенными индексами А—Г, Ж, И. Если с диодами мощность нагрузки не должна превышать 100 Вт, то с мостом она может достигать 400 Вт. Если же нагрузка менее 100 Вт, трингистор может быть КУ201К или КУ201Л.

Конструкция этого регулятора ничем не отличается от предыдущего. При проверке его и градуировке шкалы резистора помните, что пределы изменения напряжения на нагрузке составляют 40...210 В.

Регулятор мощности можно собрать и без диодного моста — по приведенной на рис. 8 схеме. Но в этом случае понадобятся два одинаковых трингистора. Они включены так, что каждый работает при «своем» полупериоде сетевого напряжения. Так, когда на верхнем по схеме проводе положительный полупериод, заряжается (через резисторы R1, R2 и диод VD2) конденсатор C2 и открывается трингистор VS2. А при появлении на этом проводе отрицательного полупериода трингистор VS2 закрывается, но зато открывается VS1 (естественно, когда зарядится конденсатор C1). Ток через нагрузку будет протекать в оба полупериода напряжения, но общая «порция» его зависит от положения движка переменного резистора R2.

В этом регуляторе можете использовать трингисторы КУ202К—КУ202Н, КУ201К, КУ201Л. С трингисторами серии КУ202 мощность нагрузки не должна превышать 1000 Вт, с КУ201 — 400 Вт. В любом варианте напряжение на нагрузке удастся изменять от 25 до 210 В. Диоды могут быть Д226Б—Д226Д, конденсаторы и резисторы такие же, что и в предыдущей конструкции.

В налаживании этот регулятор также не нуждается и начинает работать сразу. Но возможен эффект, когда при перемещении движка переменного резистора из верхнего по схеме положения в нижнее яркость лампы изменится скачкообразно. Это значит, что трингисторы открываются при разном напряжении на управляющих электродах. Если подобное наблюдается, отведите движок резистора от положения появления эффекта и поочередно замкните (например, отверткой с изолированной ручкой) управляющий электрод каждого трингистора с его катодом. Тот трингистор, при

замыкании электродов которого лампа погаснет, имеет меньшее напряжение открывания по управляющему электроду. Нужно увеличить сопротивление резистора, стоящего в цепи между этими электродами, или уменьшить сопротивление впадного резистора для другого трингистора. Если, к примеру, лампа гаснет при замыкании электродов трингистора VS1, увеличивают сопротивление резистора R1 либо уменьшают R3.

Может так случиться, что работающий регулятор мощности станет источником помех, которые будут прослушиваться в радиоприемнике. Тогда включите в разрыв одного из сетевых проводов дроссель L1, а параллельно сетевым проводам подключите бумажный конденсатор емкостью 0,25 мкФ на номинальное напряжение не ниже 400 В. Дроссель намотайте на отрезке круглого ферритового стержня длиной 25 мм от магнитной антенны транзисторного приемника — всего нужно уложить пять слоев провода ПЭВ-1 0,6...0,7.

## ЭЛЕКТРОННАЯ ИГРОТЕКА

Способности трингистора реагировать на короткие импульсные сигналы, оставаться после «срабатывания» во включенном состоянии, включаться или выключаться в зависимости от фазы сетевого напряжения, управлять мощной нагрузкой обеспечивают все большее применение этому полупроводниковому прибору в такой сфере технического творчества, как электронные игры. Вот несколько конструкций игр с использованием трингисторов.

«Красный или зеленый». Включив игровой автомат в сеть, играющий должен загадать цвет лампы, которая, по его мнению, вспыхнет, а после этого нажать пусковую кнопку. Если зажглась именно лампа такой окраски, играющий получает очко или несколько очков — в зависимости от условий игры.

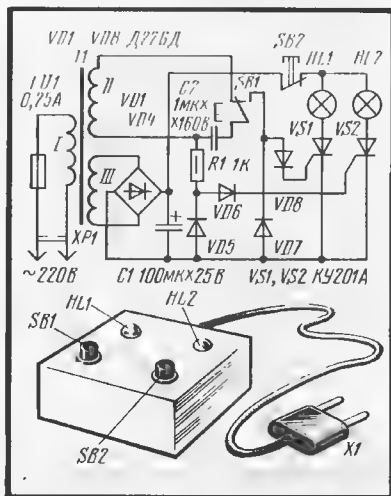


Рис. 9

Как правило, в подобных игровых устройствах применяют генератор случайных сигналов. В данном автомате роль генератора выполняет осветительная сеть с достаточной для игры частотой следования «сигналов» — полупериодов напряжения (100 Гц). А в качестве коммутирующих элементов, реагирующих на «сигналы», использованы трингисторы VS1 и VS2 (рис. 9), в анодных цепях которых стоят лампы HL1 (красного цвета) и HL2 (зеленого цвета).

В показанном на схеме положении переключателя SB1 и выключателя SB2 конденсатор C2 подключен к обмотке II понижающего трансформатора T1, а на анодные цепи трингисторов подано постоянное напряжение с выпрямителя, выполненного на диодах VD1—VD4. Конденсатор перезаряжается с частотой 100 Гц, и трудно угадать, в какой момент на его выводах будет та или иная полярность напряжения.

Когда нажимают кнопку SB1, конденсатор оказывается подключенным к управляющим электродам трингисторов. Но открывается лишь один из них. Если, скажем, на правом по схеме выводе конденсатора C2 плюс напряжения, а на левом — минус, откроется трингистор VS1 и загорится лампа HL1. При обратной полярности окажется открытым трингистор VS2, светиться будет лампа HL2.

Чтобы погасить лампу и привести автомат в исходное состояние, нужно одновременно нажать кнопку SB2 и снять напряжение с анодных цепей трингисторов.

Трансформатор может быть готовый, например, унифицированный выходной трансформатор кадровой развертки телевизора ТБК-110Л2. Но его придется немного доработать — разъединить на щечке с контактами соединенные вместе выводы вторичных обмоток (они соединены последовательно). Помните, что обмотка II намотана более тонким проводом и содержит большее число витков по сравнению с обмоткой III. Подойдет другой готовый или самодельный трансформатор мощностью не менее 5 Вт с напряжением на обмотке II 15...25 В, а на обмотке III — 12...16 В (при токе 0,2 А).

Диоды могут быть любые из серий Д226, КД105. Конденсатор C1 — К50-16, C2 — МБМ или другой бумажный. Трингисторы — любые из серий КУ201, КУ202, но с возможно меньшим током управляющего электрода, необходимым для открывания трингистора. Лампы — МН26-0,12 (на напряжение 26 В и ток 0,12 А).

Как правило, игра начинает работать сразу. Однако может случиться, что при нажатии кнопки SB1 не загорится ни одна из ламп. Это значит, что конденсатор C2 не успел зарядиться (переключение произошло в момент перехода полупериода сетевого напряжения через ноль или вблизи этой точки) или зарядился недостаточно, чтобы обеспечить нужный ток через управляющий электрод трингистора. Но вероятность такого состояния невелика. Правда, она уменьшается с уменьшением сопротивления ограничительного резистора, и это явление можно использовать в игре, подобрав такой резистор, чтобы обеспечивалась равная вероятность трех состояний ламп: горит красная, горит зеленая, не горит ни одна.

Если у вас найдется кнопочный переключатель с двумя группами контактов на переключение, игру можно несколько упростить. В этом случае вместо SB2 вплавляют нормально разомкнутые контакты дополнительной группы переключателя SB1. И теперь при нажатии кнопки переключателя одновременно с подключением конденсатора к тринисторам будет подаваться питающее напряжение от выпрямителя. При отпуске кнопки светящаяся лампа будет гаснуть.

**«Кто быстрее».** Хорошая ли у вас реакция? Проверить это поможет игровой автомат (рис. 10), состоящий из пульта управления, которым пользуется судья, двух пультов играющих и блока сигнализации. Каждый играющий (их, естественно, двое) берет свой пульт и следит за табло сигнализации. Как только вспыхнет лампа (или подсвечиваемая прозрачная планка) с надписью «Старт» либо раздастся звуковой сигнал (о том, на какой сигнал нужно реагировать, судья предупреждает заранее), каждый играющий должен возможно быстрее нажать кнопку на своем пульте. Если это сделал раньше первый играющий, на табло вспыхнет лампа с надписью «1», а если второй — лампа с надписью «2».

Проведя игру с несколькими участниками, нетрудно выявить победителя — того, кто обладает лучшей реакцией.

В пульте судьи размещены кнопочные выключатели SB1—SB3, в пульте первого играющего — выключатель SB4, в пульте второго — выключатель SB5. Все пульты соединены через разъем X1 с блоком сигнализации — в нем находится лампа HL1 светового табло «Старт», звуковой сигнализатор и индикатор нажатия кнопок играющими.

Звуковой сигнализатор, выполненный на транзисторах VT1, VT2 и динамической головке BA1, представляет собой генератор колебаний звуковой частоты. Питание на генератор подается через кнопочный выключатель SB1 на пульте судьи.

Лампы HL2 и HL3 индикации нажатия кнопок играющими подключены к тринисторам VS1 и VS2. Управляющие элект-

роды тринисторов соединены через резисторы R2 и R3 с кнопочными выключателями пультов играющих. Предположим, что первый играющий успел нажать кнопку SB4 своего пульта раньше, чем второй — кнопку SB5. Тогда резистор R2 окажется подключенным к плюсовому выводу источника питания и через управляющий электрод тринистора VS1 потечет ток. Тринистор откроется, и лампа HL2 зажжется. Если даже теперь второй играющий нажмет кнопку SB5 на своем пульте, тринистор VS2 не откроется, поскольку его управляющий электрод окажется подключенным через диод VD1 и открытый тринистор VS1 к катоду. Лампа HL3 не зажжется.

Аналогично будет работать автомат, если первым нажмет кнопку на своем пульте второй играющий — вспыхнет лампа HL3, а HL2 светиться не будет.

Поскольку указанные на схеме тринисторы допускают ток в открытом состоянии не более 75 мА, лампы HL2 и HL3 следует использовать на напряжение 2,5 В при токе 0,068 А (МН 2,5-0,068). Лампа HL1 — на напряжение 3,5 В при токе 0,26 А (МН 3,5-0,26). Тринисторы могут быть любые другие из серии КУ101 или КУ201 (придется подобрать резисторы R2, R3 и поставить более мощные сигнальные лампы). Диоды — любые из серии Д226, резисторы — МЛТ-0,25, конденсатор — МБМ. Вместо транзистора МП38 можно использовать любой транзистор серий МП37, МП38, а вместо МП39 — любой из серий МП39—МП42. Динамическая головка — 0,1ГД-6 или другая, мощностью 0,1—0,5 Вт со звуковой катушкой сопротивлением 6...10 Ом. Источник питания — батарея 3336, но лучше всего (да, пожалуй, и выгоднее) применить сетевой блок питания с нужным выходным напряжением при токе нагрузки не менее 400 мА.

При проверке и налаживании устройства подбором (если это понадобится) резисторов R2 и R3 добиваются надежного открывания тринисторов при замыкании кнопочных выключателей SB4 и SB5 соответственно. Тональность звукового сигнала можно изменить подбором резистора R1 или конденсатора C1.

**«Снайпер».** В этой игре, как и в предыдущей, оценивается скорость реакции — у настоящего снайпера она должна быть очень высокой. Можно сказать, что эта игра — модернизированный вариант предыдущей. Модернизация заключается не в том, чтобы возможно быстрее нажать «свою» кнопку, а еще и уложиться в определенное (весьма короткое) время.

Как и настоящий снайпер, участник игры занимает исходную позицию (скажем, лежа) на некотором расстоянии от мишени и наблюдает через оптический прицел винтовки (или через зрительную трубу, прикрепленную к стволу самодельной винтовки) за «яблочком» мишени.

Вблизи от снайпера располагается другой участник игры — судья с пультом управления. Как только он нажмет стартовую кнопку на пульте, в «яблочке» вспыхнет малогабаритная электрическая лампа — световой сигнализатор. В это мгновение снайпер должен «выстрелить» — нажать кнопку выключателя, расположенного вместо спускового крючка. Если «выстрел» сделан вовремя, на щите с мишенью загорится сигнальная лампа, извещающая о «попадании».

Схема игры приведена на рис. 11. В «яблочке» мишени размещена лампа HL2, а включают ее кнопочным переключателем SB1. На винтовке же установлен кнопочный выключатель SB2. При нажатии кнопки переключателя SB1 одновременно со вспыхиванием лампы HL2 начинается заряжаться конденсатор C1. Зарядный ток его протекает через резистор R3, эмиттерный переход транзистора VT1 и управляющий электрод тринистора VS2. Но этого тока недостаточно для открывания тринистора. Если в течение времени зарядки конденсатора (около секунды) снайпер нажмет кнопку выключателя SB2, резистор R4 окажется подключенным к источнику питания, и через управляющий электрод тринистора потечет большой ток. Тринистор откроется и включит лампу HL3 — она будет светиться до тех пор, пока на пульте не нажмут кнопку выключателя SB3 и не приведут устройство в исходное состояние.

Если же снайпер не успеет это сделать, лампа останется погашенной. При попытке обмануть автомат и нажатии спускового крючка (кнопки SB2) винтовки заранее сразу же загорится лампа

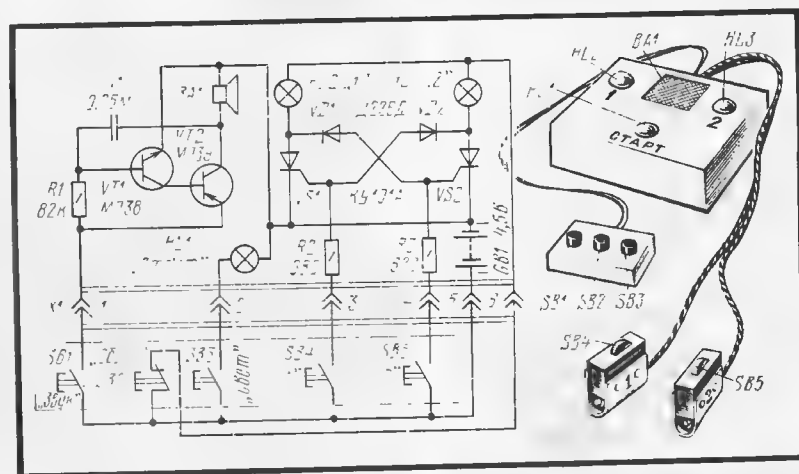


Рис. 10

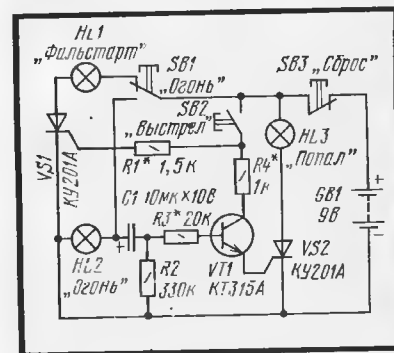


Рис. 11

HL1, потому что в этом случае через резистор R1 и управляющий электрод тристора VS1 потечет ток. Тристор откроется, и лампа окажется подключенной к источнику питания.

Лампыжелательно использовать мощностью не менее 1 Вт. Подойдут, например, автомобильные лампы от подфарников или указателей поворотов. Транзистор может быть любой из серий КТ315, МП35—МП37 с коэффициентом передачи тока 30...50, триисторы — любые из серии КУ201. Источник питания — две последовательно соединенные батареи 3336 или сетевой выпрямитель на напряжение 9 В.

Детали игры, кроме ламп и выключателя SB2, можно разместить в небольшом корпусе — пульте управления. На верхней панели его укрепляют переключатель SB1 и выключатель SB3. От пульта протягивают жгут из гибких монтажных проводов в изоляции, которые подходят к лампам мишени: HL2 установлена в «яблочке», HL1 и HL3 — в верхних углах мишени. Саму мишень располагают на расстоянии двух-трех метров от пульта управления. Вблизи пульта — исходная позиция снайпера. Двухпроводный шнур от контактов спускового крючка (SB2) его винтовки подводят к пульту.

Налаживание устройства начинают с подбора режима работы тристора VS1. Нажав кнопку выключателя SB2, подбирают резистор R3 с таким сопротивлением, чтобы тристор открылся и загорелась лампа HL1. Выключить тристор можно кратковременным нажатием кнопки SB3.

Аналогично устанавливают режим второго тристора — подбором резистора R4. Но предварительно замыкают перемычные выводы эмиттера и коллектора транзистора.

Далее проверяют работу автомата при одновременном замыкании контактов выключателя SB2 и нажатии на кнопку переключателя SB1. При необходимости подбирают резистор R3 с таким сопротивлением, чтобы транзистор, а значит, и тристор VS2 надежно открывались.

**«Тир для мушкетеров».** Помните, как лихо сражались известные друзья-мушкетеры, точными уколами шпаги поражая своих противников? Вы тоже можете посостязаться в искусстве владения шпагой, если соберете эту игру (рис. 12). Правда, настоящей шпаги в ней нет, она заменена металлическим стержнем. Держать же «шпагу» придется рукой, как настоящие мушкетеры держали настоящую шпагу. В качестве «противника» используется мишень, в «яблочко» которой нужно попасть «шпагой». Но сделать это не так просто — «шпага» норовит отклониться от центра и попасть в одно из крайних колец мишени.

Кольца и «яблочко» мишени — металлические. Они соединены проводниками с управляющими электродами триисторов. «Шпага» подключена через резистор R1 к кнопочному переключателю SB1. Если в показанном на схеме положении контактов переключателя коснуться «шпагой» любого кольца мишени, ничего не произойдет — ведь на конденсаторе C1, с которым соединена «шпага», нет напряжения. Чтобы заря-

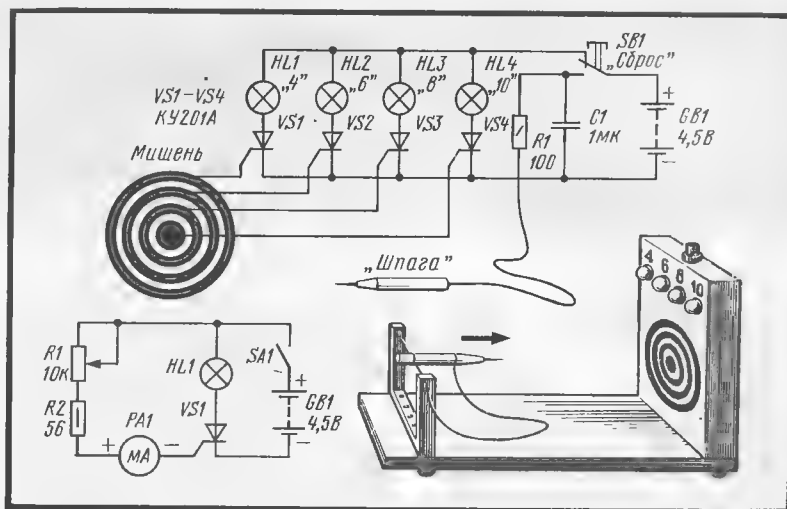


Рис. 12

дить конденсатор, нажимают кнопку переключателя. Его подвижный контакт соединяется с нижним по схеме, и конденсатор заряжается от батареи GB1. Можно делать «укол».

Предположим, «шпага» попала в наружное кольцо мишени, соединенное с триистором VS1. Тристор открывается, поскольку в цепи его управляющего электрода появляется ток разрядки конденсатора, и зажигается сигнальная лампа HL1 — она извещает о получении четырех очков.

Перед следующим «уколом» нужно вновь нажать кнопку переключателя и зарядить конденсатор. При этом подвижный и верхний по схеме контакты переключателя разомкнутся и обесточат анодные цепи триисторов. Триистор VS1 выключится, лампа HL1 погаснет.

Триисторы могут быть такие же, что и в предыдущей игре. Для отбора триисторов можно собрать простое устройство, показанное на рисунке внизу слева. В цепь анода проверяемого триистора включена сигнальная лампа, а в цепь управляющего электрода — цепь из последовательно соединенных резисторов R1, R2 и стрелочного индикатора PA1 с током полного отклонения стрелки до 100 мА. Вначале движок переменного резистора R1, которым изменяют ток в цепи управляющего электрода, ставят в верхнее по схеме положение. Выключателем SA1 подают питание и начинают плавно перемещать движок резистора вниз по схеме. Стрелка индикатора при этом будет показывать протекающий в цепи управляющего электрода постоянный ток. Как только зажжется лампа HL1, замечают показания стрелочного индикатора — это и будет значение тока управляющего электрода, при котором триистор открывается.

Если триисторы открываются при низком по схеме положении движка переменного резистора, нужно заменить резистор другим, с меньшим сопротивлением (6,8; 4,7 или 3,3 кОм) — тогда можно с большей точностью определить нужный ток управляющего электрода. Желательно отобрать триисторы, включающиеся при меньшем токе.

Сигнальные лампы — на напряжение

3,5 В, конденсатор — бумажный (например, МБМ), резистор — МЛТ-0,25, кнопочный переключатель — с одной группой контактов на переключение.

Мишень вырезают из жести от консервной банки и приклеивают кольца и «яблочко» к панели из изоляционного материала. В панели предварительно сверлят отверстия и пропускают через них тонкие монтажные проводники в изоляции, припаянные к кольцам и «яблочку». Над мишенью устанавливают сигнальные лампы. Панель прикрепляют к корпусу со съемной задней крышкой. Внутри корпуса размещают триисторы, резистор, конденсатор и батарею питания (либо детали выпрямителя). На верхней стенке корпуса устанавливают кнопочный переключатель. В таком виде корпус прикрепляют к основанию, вырезанному из подходящего материала.

«Шпагой» служит шариковая авторучка с металлическим стержнем. Сбоку в корпусе авторучки сверлят отверстие, пропускают в него конец тонкого многожильного монтажного провода и припаивают провод к стержню. Другой конец провода пропускают через отверстие в основании, подводят к корпусу и подключают к резистору. Напротив корпуса к основанию прикрепляют П-образную стойку с натянутой резиновой нитью и привязывают к нити авторучку — «шпагу».

Чтобы сделать «укол», нужно взять двумя пальцами конец авторучки и постараться попасть стержнем точно в «яблочко». Точность попадания зависит от натяжения резины — подберите его экспериментально, чтобы владеть «шпагой» было непросто.

Собранную игру проверяют поочередным касанием «шпагой» колец и «яблочка» мишени. Перед каждым касанием нужно, конечно, нажимать кнопку переключателя. Если какая-то лампа не зажигается, подберите резистор с меньшим сопротивлением. Если же лампы не вспыхивают при коротком касании «шпагой» колец мишени, поставьте конденсатор большей емкости.

Материал подготовил  
Ю. ВЕРХАЛО

г. Москва





ЭЛЕКТРОННЫЕ  
МУЗЫКАЛЬНЫЕ  
ИНСТРУМЕНТЫ

# MIDI- КЛАВИАТУРА

Характерная особенность описываемой здесь клавиатуры заключается в том, что выход у нее не звуковой, как в обычных ЭМИ, а выход цифрового музыкального интерфейса MIDI. К такой клавиатуре можно подключать различные музыкальные инструменты, если, конечно, они имеют вход этого интерфейса. Многие промышленные синтезаторы, например, серии PSS фирмы «Yamaha», имеют уменьшенные клавиатуры, не всегда удобные для игры, и MIDI-клавиатура с полноразмерными клавишами позволяет существенно расширить их исполнительские возможности. При этом, разумеется, никаких переделок или конструктивных доработок в инструменте делать не приходится — надо лишь соединить MIDI-кабелем клавиатуру с входом «MIDI IN» синтезатора и запрограммировать его на прием сигналов MIDI.

Предлагаемое устройство может также стать частью вашей домашней MIDI-студии или использоваться совместно со звуковыми модулями и сэмплерами в бесклавиатурном «Rack»-исполнении.

Цифровой музыкальный интерфейс MIDI, появившийся в 1982 г., позволил разделить исполнительскую (задающую) и звукогенерирующую (исполняющую) части музыкальных инструментов [1—3]. Передаваемая между ними информация имеет вид простых команд, единых для клавишных, грифовых, духовых и других ЭМИ. Команды отражают воздействие исполнителя на инструмент, например, «ВКЛЮЧИТЬ НОТУ», «ИЗМЕНИТЬ ПОЛОЖЕНИЕ РЕГУЛЯТОРА». Несмотря на то, что приемы и техника игры на инструментах различаются, команды MIDI универсальны, что позволяет соединять ЭМИ разных типов и получать при этом невиданные сочетания исполнительских и звуковых возможностей.

Задача исполнительских устройств — как можно более полно и правильно воспринять и передать самые тонкие оттенки музыкального исполнения. Современные клавиатуры ЭМИ называют динамическими, потому что они фиксируют не только сам факт нажатия клавиши, но и силу, либо скорость ее нажатия [5], что может влиять как на громкость звука, так и на его тембр — в зависимости от того, как запрограммирован ЭМИ. Более того, скорость нажатия может управлять включением звуковых эффектов и даже переключе-

нием тембров. Например, при «мягкой» игре инструмент звучит одним тембром, а при более «жесткой» — другим. Этим приемом часто пользуются в сэмплерных инструментах. Скажем, записывают в сэмплер звук фортепиано при сильном и слабом ударах по клавише, а затем звуки смешивают в пропорции, зависящей от скорости нажатия. Это позволяет имитировать динамический и тембровый диапазон натурального фортепиано и гибко управлять им во время игры.

Однако многие акустические инструменты имеют, по крайней мере, еще одну степень управления тембром. Грифовые, духовые инструменты позволяют в большой степени варьировать звук уже после взятия ноты. Игра на смычковых инструментах, на электрогитаре состоит в искусстве подтяжек, вибрато и других исполнительных эффектов на всем протяжении звучания ноты. А как заманчиво клавишнику исполь-

зовать не автоматическое, а пальцевое, естественное и живое, «вибрато» либо оживить аккорд, введя модуляцию, не отрывая пальцев от клавиш! Чувствительная к нажатию (англ. touch-sensitive) клавиатура позволяет все это делать, поскольку измеряет силу давления пальцев музыканта на всем протяжении звучания ноты. Возможно, в будущем появятся клавиатуры, измеряющие силу давления на клавиши по всем трем направлениям — музыканты наверняка захотят все это использовать.

Конечно же, все измеряемые параметры должны передаваться по интерфейсу и управлять всеми подсоединенными ЭМИ. Для этого стандарт MIDI предоставляет средства, суть которых отображает приведенная здесь табл. 1. Команда «ВКЛЮЧИТЬ НОТУ» несет информацию о силе либо о скорости нажатия каждой клавиши клавиатуры. Все динамические клавиатуры измеряют и передают этот параметр в диапазо-

Таблица 1

Команда (в hex-коде)	Байт статуса (n — номер канала)	Первый байт данных (0...7Fh)	Второй байт данных (0...7Fh)
ВКЛЮЧИТЬ НОТУ	9n	Номер ноты	Скорость нажатия (1...7Fh)
ВЫКЛЮЧИТЬ НОТУ	8n 9n	Номер ноты Номер ноты	Скорость отпускания Скорость = 0
ДАВЛЕНИЕ НА КЛАВИШУ	0An	Номер ноты	Сила давления
ПОЛОЖЕНИЕ КОЛЕСА	0En	Младшие 7 бит	Старшие 7 бит
СМЕНА УПРАВЛЕНИЯ	0Bn	0 — регулятор 0 1 — регулятор 1 (колесо модуляции) • • • 1Fh — регулятор 31 20h — регулятор 0 21h — регулятор 1 (колесо модуляции) • • • 3Fh — регулятор 31 40h — выключатель 0 41h — выключатель 1 • • • 5Fh — выключатель 31	Старшие 7 бит Старшие 7 бит           Старшие 7 бит Младшие 7 бит Младшие 7 бит    Младшие 7 бит 0 — выкл., 7Fh — вкл. 0 — выкл., 7Fh — вкл.   0 — выкл., 7Fh — вкл.



постоянного тока напряжением 5 В, потребляемый ток — не более 0,5 А.

Печатная плата для устройства не разрабатывалась. Для уменьшения длины жгута мультиплексоры DD1—DD4 расположены непосредственно под клавиатурой. Вместо механических контактов S1—S64 можно применить герконы с магнитами, закрепленными на клавишах. Контакт S1 соответствует нижней клавише (нота До большой октавы), S64 — самой верхней. Разъем X1, через который к MIDI-клавиатуре подключают MIDI-кабель — стандартная пятиштырьковая розетка CH5 (DIN-5) с незадействованными контактами 1 и 3.

Микросхему K1816BE35 можно заменить на K1816BE39, K573PФ5 — на K573PФ2, а K555KP2 — на K555KP12. Мультиплексоры DD1—DD5 могут быть любыми аналогичными серий K133, K555, K533, K1533.

При заведомо исправных деталях и безошибочном монтаже клавиатура начинает работать сразу после включения питания. Если, однако, этого не произошло, в первую очередь проверьте наличие напряжения питания на всех микросхемах. Пользуясь осциллографом, наблюдайте на выводе 11 микросхемы DD6 тактовые импульсы. Отсутствие колебаний — признак неправильной работы этой микросхемы или резонатора ZQ1.

Далее проводник вывода 1 микросхемы DD6 отключите от вывода 9 микросхемы DD5 и соедините его с общим проводом. К гнездам 5 и 4 разъема X1 подключите головные телефоны — в них должны прослушиваться щелчки с частотой около 3 Гц — это передаются байты OFEH «Активная проверка». Если их нет, значит неисправна одна из микросхем DD6, DD7 или DS1. Затем восстановите соединения выводов 1 и 9 микросхем DD6 и DD5. Теперь щелчки в телефонах должны быть слышны при каждом нажатии и отпускании клавиш. Если это не так, неисправность находится в узле микросхем DD1—DD5 либо среди контактов клавиатуры есть постоянно замкнутые.

Клавиатуру подключайте к инструменту в соответствии с рекомендациями, изложенными в [3]. При включении питания клавиатура автоматически настраивается на первый MIDI-канал. Для изменения номера канала нажмите на кнопку SB1 «Сброс» и, не отпуская ее, на клавишу с порядковым номером необходимого канала. Первой отпустите кнопку, затем клавишу. После такой коммутации цепей устройства все команды будут передаваться по каналу с нужным номером.

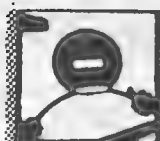
**А. СТУДНЕВ**

г. Жуковский

#### ЛИТЕРАТУРА

1. Субботкин М. MIDI. — IN/OUT, 1992, № 1, с.18.
2. Кузнецов Ю. MIDI-сообщения. — IN/OUT, 1992, № 2, с.66, 67.
3. Студнев А. Что такое MIDI? — Радио, 1993, № 1, с.32, 33; № 2, с.23—25.
4. Сташин В. В., Урусов А. В., Мологовцева О. Ф. Проектирование цифровых устройств на однокристальных микроконтроллерах. — М.: Энергоатомиздат, 1990.
5. Кузнецов Л. А. Основы теории, конструирования, производства и ремонта электромеханических инструментов. — М.: Легкая и пищевая промышленность, 1981.

Автор статьи А. Студнев предлагает оригинальную разработку — компьютер для музыкантов ZX Spectrum, оборудованный MIDI-адаптером, с программами секвенсора и нотного редактора. Тел. в Москве (095) — 454-35-25.



ЭЛЕКТРОНИКА ЗА РУЛЕМ

## БЕСКОНТАКТНЫЙ ПРЕРЫВАТЕЛЬ ЭЛЕКТРОННОЙ СИСТЕМЫ ЗАЖИГАНИЯ

Автомобилисты, установившие на свой автомобиль электронную систему зажигания наверняка уже оценили ее преимущества. Контактный же прерыватель продолжает по-прежнему доставлять хлопоты. Эрозия, окисление, загрязнение контактов заставляют автолюбителя периодически проводить работу по поддержанию их рабочего состояния. Избавиться от этих забот можно, если дополнить электронную систему зажигания формирователем импульсов с бесконтактным датчиком.

Известно несколько типов датчиков, способных работать в бесконтактных системах зажигания — фотоэлектрические, гальваномангнитные, параметрические. К параметрическим относят те датчики, в основе работы которых лежит превращение изменения измеряемой величины в изменение параметра — емкости, индуктивности, сопротивления, магнитного сопротивления. Наиболее доступен для изготовления в любительских условиях параметрический электромагнитный датчик. Его работа основана на свойстве магнитопровода катушки, в которой протекает переменный электрический ток, изменять свое магнитное сопротивление при введении в зазор магнитопровода ферромагнетика с малым удельным магнитным сопротивлением.

В литературе неоднократно были описаны параметрические датчики для бесконтактной системы зажигания, например [1, 2, 3]. В этих конструкциях катушка датчика, намотанная на Ш-образном ферритовом магнитопроводе, входит в состав блокинг-генератора. У такого решения много недостатков — сложность изготовления в любительских условиях магнитопровода датчика, слишком малый зазор между магнитопроводом и переключающим диском, значительный потребляемый ток.

Ниже описана конструкция бесконтактного прерывателя с электромагнитным датчиком, свободная от указанных недостатков. Бесконтактный прерыватель может работать совместно со всеми модификациями электронных систем зажигания промышленного изготовления («Электроника», «Искра», «ПАЗ»), а также с любительскими конструкциями, описанными в [1, 4, 5].

Эти электронные системы зажигания

рассчитаны на подключение контактного прерывателя, поэтому входной узел у них построен таким образом, чтобы обеспечить ток через замкнутые контакты прерывателя 70...180 мА. Столь значительный ток выбран для уменьшения чувствительности системы к состоянию контактов прерывателя. Обязательным для электронной системы зажигания является узел подавления дребезга контактов. Применение же бесконтактного прерывателя позволяет исключить из системы узел подавления дребезга контактов, выбрать гораздо меньший ток входного узла и таким образом сделать ее более надежной и экономичной. В рамках этой статьи просто невозможно дать рекомендации по модернизации готовых систем зажигания, поскольку существует множество схемных решений как промышленных, так и любительских.

Принципиальная схема бесконтактного прерывателя показана на рис.1. Датчик представляет собой катушку L1, которая вместе с конденсатором C3 входит в состав генератора, выполненного на транзисторах VT1.1, VT1.2 микросборки VT1. При вхождении зубца диска в зазор магнитопровода катушки происходит срыв колебаний генератора, так как энергия электромагнитного поля катушки расходуется на образование вихревого тока в зубце.

В этот момент ток коллектора транзистора VT1.1 уменьшается, вызывая увеличение напряжения на коллекторе. Триггер Шмитта, выполненный на транзисторах VT2, VT3, формирует сигнал с крутыми фронтами и спадами. Транзистор VT4 работает в режиме переключения.

Вхождение зуба переключающего диска в зазор датчика соответствует моменту замыкания контактов прерывателя. Эквивалентный угол замкнутого состояния контактов определяется в основном угловой шириной зубца диска; этот угол выбран равным 50°. Небольшая погрешность в определении угла замкнутого состояния контактов обусловлена гистерезисом триггера Шмитта.

Температурная стабилизация генератора обеспечена отрицательной обратной связью по постоянному току через резистор R2, включенный в цепь эмиттера транзистора VT1.1, диодной термокомпенсацией (диодное включение тран-

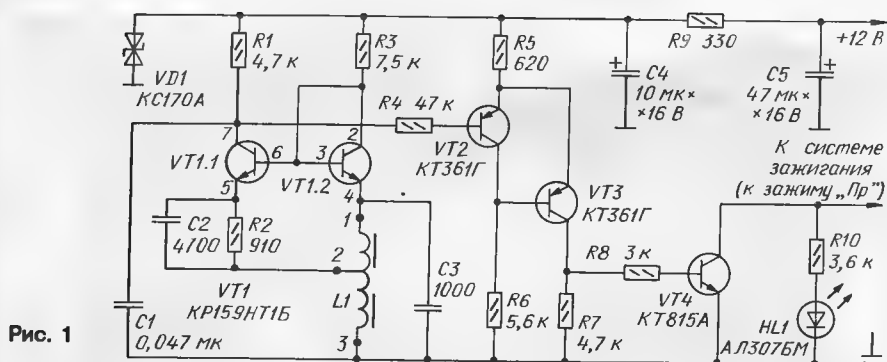


Рис. 1

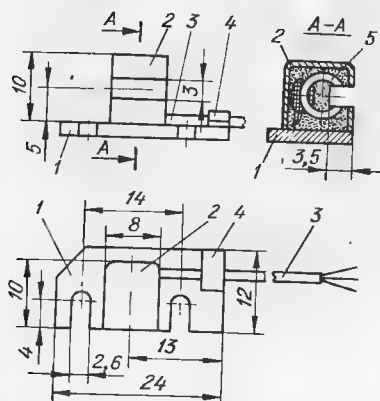


Рис. 2

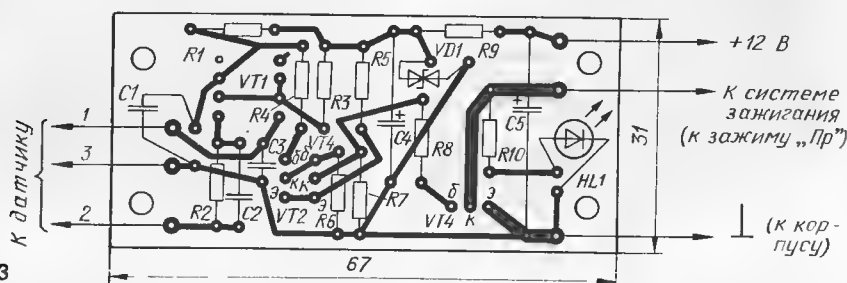


Рис. 3

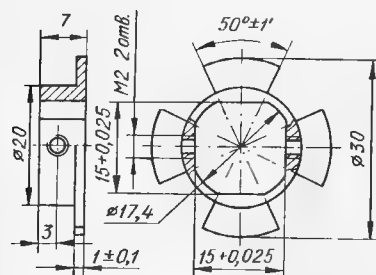


Рис. 4

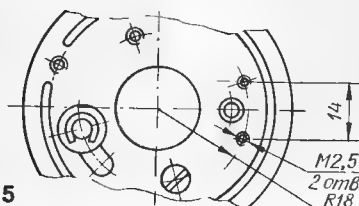


Рис. 5

истора VT1.2) и применением согласованной пары транзисторов, размещенных на одном кристалле. Ток через эмиттерный переход транзистора VT1.2 выбран небольшим, около 1,5 мА. Благодаря этим мерам стабильность режима генератора сохраняется в температурном интервале -48...+90°C.

Напряжение питания генератора и триг-

гера Шмитта фиксировано стабилитроном VD1, что исключает зависимость момента зажигания от напряжения бортовой сети автомобиля. Светодиод HL1 служит для установки момента зажигания и визуального контроля работы прерывателя.

Катушка L1 намотана на кольцевом магнитопроводе типоразмера K7x4x2 из феррита 2000НМ. В магнитопроводе пропилен сквозной паз шириной 3 мм, а обмотка размещена на стороне, противоположной пазу. Обмотка состоит из 37+50 витков провода ПЭВ-2 0,12. Ширина намотки — 3,5...4 мм. Магнитопровод в месте намотки необходимо обмотать од-

ним слоем лакоткани или покрыть несколькими слоями лака.

К обмотке припаивают выводы длиной 200 мм из провода МГТФ, изолируют места пайки и вставляют катушку в экранирующую коробку с прорезью спереди. Положение магнитопровода в коробке 2 и размещение ее на крепежном фланце 1 иллюстрирует рис. 2. Коробку можно изготовить из листовой латуни или меди (но не стали) толщиной 0,2...0,4 мм. Магнитопровод фиксируют относительно прорези, вставив в нее вкладыш из пористой резины, обернутый полиэтиленовой пленкой, после чего заливают коробку эпоксидной смолой.

После затвердевания смолы коробку припаивают к фланцу 1, выполненному из фольгированного стеклотекстолита, латуни или стали. Жгут выводов 3 закрепляют на фланце хомутом 4, фиксированным пайкой.

В электронном узле применены резисторы МЛТ, конденсаторы К1-7 (C1 — C3), К53-14 (C4, C5). Транзисторную сборку КР159НТ1Б заменить отдельными транзисторами крайне нежелательно, так как ухудшится стабильность генератора, особенно в области отрицательных значений температуры.

Все детали формирователя, кроме катушки L1, размещены на печатной плате

из фольгированного стеклотекстолита толщиной 1 мм. Чертеж платы представлен на рис. 3. Плату, установленную в прочную, плотно закрывающуюся коробку, следует монтировать возможно ближе к прерывателю-распределителю автомобиля.

Налаживание формирователя сводится к подборке резистора R3. Подключив вольтметр к коллектору транзистора VT1.1, подбирают этот резистор по минимуму показаний вольтметра — напряжение должно быть 2...3 В. Затем вводят в прорезь датчика стальную пластину. При этом показания вольтметра должны увеличиться до 6...6,5 В.

Конструкция зубчатого диска, рассчитанного для установки на четырехцилиндровый двигатель, показана на рис. 4. Диск можно изготовить из любой малоуглеродистой мягкой стали. Его фиксируют стопорными винтами на кулачке прерывателя.

Установка катушки в прерыватель имеет особенности, зависящие от типа прерывателя-распределителя зажигания. Ниже рассматривается вариант ее монтажа в прерыватель-распределитель Р-118 автомобиля «Москвич-412». Для этого нужно последовательно снять распределитель, «бегунок» и вакуумный регулятор. Затем, вывернув винты крепления неподвижной пластины к дну прерывателя, снять ее, разъединить подвижную и неподвижную пластины. Снять с подвижной пластины контакты в сборе и спилить латунную ось контактной стойки заподлицо с пластиной. Высверлить алюминиевую заклепку крепления стойки фрезой с заклепкой и снять фрезой.

На подвижной пластине просверлить в соответствии с рис. 5 два отверстия сверлом диаметром 2,1 мм и нарезать резьбу М2,5 для крепления катушки-датчика. Восстановить соединение пластин и закрепить на подвижной пластине двумя винтами М2,5 фланец с датчиком. Установить пластины на место, надеть зубчатый диск на кулачок, отрегулировать положение его зубца в пазу датчика так, чтобы зазоры сверху и снизу были одинаковы и зафиксировать диск двумя стопорными винтами М2.

После выполнения всех электрических соединений включить зажигание и, поворачивая пусковую рукоятку коленчатый вал двигателя, убедиться в срабатывании бесконтактного прерывателя по зажиганию и погасанию светодиода. Затем можно приступить к установке момента зажигания. Методика этого процесса хорошо описана в инструкции по эксплуатации автомобиля. Моменту зажигания соответствует включение светодиода.

Плату формирователя можно встроить в кожух электронной системы зажигания.

А. КОЛОТОВ

г. Бердск

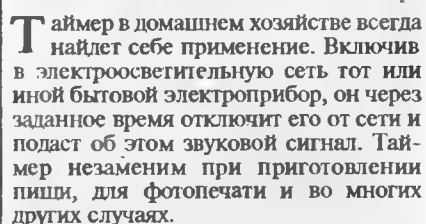
#### ЛИТЕРАТУРА

1. В. Стаханов. Транзисторные системы зажигания. — Радио, 1991, № 9, с. 26—29.
2. А.Х. Сивильников. Электронные приборы для автомобилей. — М.: Энергоатомиздат, 1986.
3. В. Горюхи, А. Федоров. Бесконтактная система зажигания. — Сб. «В помощь радиолюбителям», вып. 73. — М.: ДОСААФ, 1981.
4. Ю. Свечков. Стабилизированный многоискровой блок зажигания. — Радио, 1982, № 5, с. 27—30.
5. Г. Карасев. Стабилизированный блок электронного зажигания. — Радио, 1988, № 9, с. 17, 18.





# БЫТОВОЙ ТАЙМЕР



Таймер, схему которого вы видите на рис. 1, состоит из генератора секундной последовательности импульсов, выполненного на интегральном таймере КР1006ВИ1 (DD1), счетчика-дешифратора импульсов на четырех микросхемах К561ИЕ8 (DD2—DD5) и испол-

нительного узла, собранного на логических элементах микросхем К561ЛА8 (DD7), К561ЛА7 (DD8), транзисторах VT1, VT3 и симисторе КУ208Г (VS1). Блок питания образуют трансформатор Т1, выпрямительный мост VD3—VD6 и стабилизатор напряжения на стабилитроне VD2 и транзисторе VT2.

При переводе переключателя SA1 в положение «Пуск», прямоугольные импульсы напряжения, формируемые таймером DD1, поступают на вход первого счетчика-дешифратора DD2 с коэффициентом деления 10, на входной вывод 9 элемента DD7.1 и (через резистор R4) к светодиоду HL1. Мигая с частотой им-

вход следующего счетчика-дешифратора DD3, который делит частоту сигнала на 6, чтобы на его выходе формировались импульсы с периодом следования 1 мин. Достигается это подачей на вход R сигнала обнуления, поступающего через элементы DD6.1 и DD6.2 с выхода 6. На выходе счетчика-дешифратора DD4 вырабатываются импульсы с периодом следования 10 мин.

С выходов всех счетчиков-дешифраторов цифровая информация поступает на контакты соответствующих им переключателей SA2—SA5, которыми устанавливается требуемая выдержка времени. Когда на подвижных контактах всех переключателей появится сигнал высокого уровня, элемент DD7.2 переключится в нулевое состояние, а элемент DD6.3 — в единичное. В этот момент сигнал высокого уровня на выходе элемента DD6.3 запретит дальнейшую работу счетчиков DD2—DD5.

Одновременно сигнал высокого уровня элемента DD6.3 подается на входы 10 и 11 элемента DD7.1, а на его входы 12 и 9 — сигналы генератора импульсов частотой следования около 1 кГц, собранного на элементах DD8.1 и DD8.2, и таймера DD1. Поэтому динамическая головка BA1, включенная в коллекторную цепь транзистора VT1, будет излучать прерывистый звуковой сигнал, свидетельствующий об истечении установленной выдержки времени.

В зависимости от положения контактов переключателя SA7 таймер через установленный промежуток времени включает или выключает осветительную лампу, радиоприемник, фотоувеличитель или иной бытовой электроприбор, под-



РАЗРАБОТАНО  
В ЛАБОРАТОРИИ ЖУРНАЛА  
"РАДИО"

пульсов таймера DD1, светодиод сигнализирует о том, что идет отсчет запрограммированного времени. С выхода переноса (P) счетчика DD2 импульсы с периодом следования 10 с поступают на

ключенный к разьему X2. Если подвижный контакт переключателя в верхнем (по схеме) положении, то после остановки счета на входном выводе 13 элемента DD8.3 появится напряжение высокого

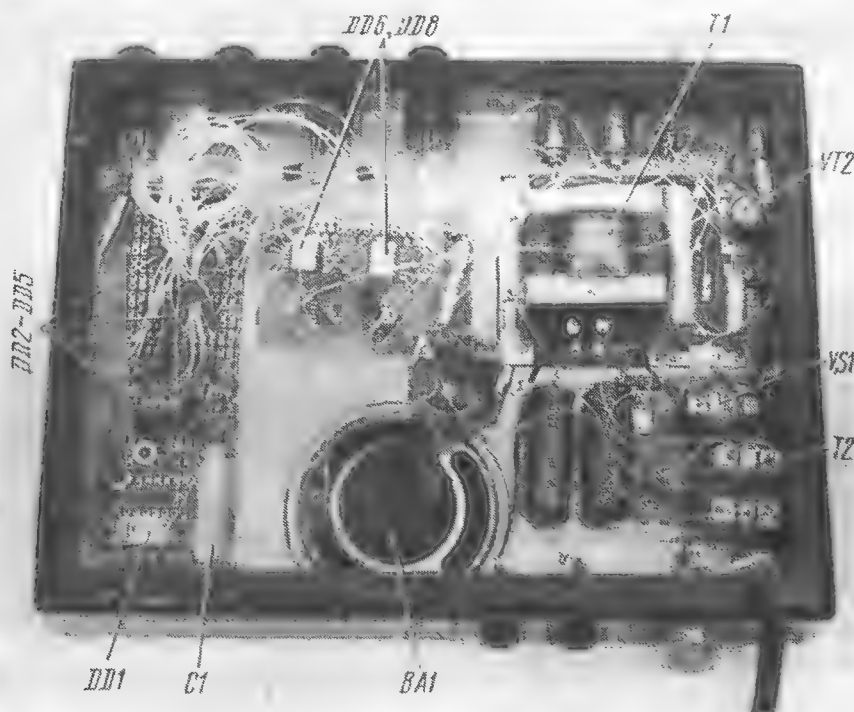
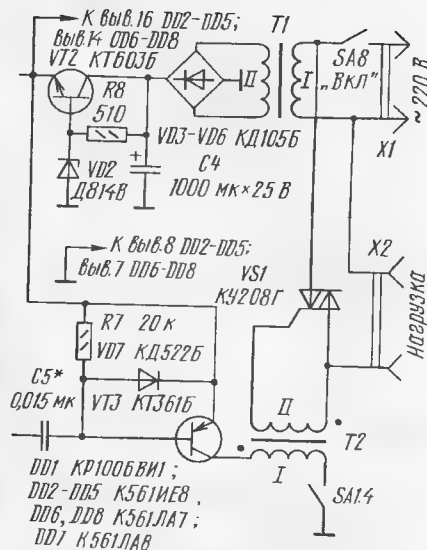


Рис. 2

уровня, а на выходе — импульсы частотой около 1 кГц. Эти импульсы, пройдя через дифференцирующую цепь C5R7VD7, усиливаются транзистором VT3, и на первичной обмотке трансформатора T2 возникают короткие (несколь-



ко десятков микросекунд) импульсы напряжения такой же частоты. При этом во вторичной обмотке трансформатора формируются также короткие импульсы тока, открывающие симистор VS1 практически в начале каждого полупериода сетево-

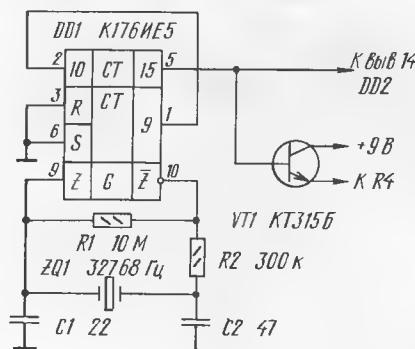


Рис. 3

го напряжения — на электроприбор поступает питающее его напряжение. Если подвижный контакт переключателя SA7 будет в нижнем положении, электроприбор в течение всей временной выдержки будет подключен к сети, а по его истечении — отключится. Такой режим таймера используют, например, для работы с фотоувеличителем.

Так таймер работает в положении переключателя SA1 «Пуск». В положении «Стоп» на входах R всех счетчиков оказывается напряжение высокого уровня, которое обнуляет и запрещает их работу. В этом положении переключателя светодиод HL1 не мигает, а симистор закрыт, так как первичная обмотка импульсного трансформатора T2 отключена от общего провода разомкнутыми контактами секции SA1.4 переключателя SA1. Переключателем SA6 можно выключить звуковой сигнал головки BA1.

Внешний вид описанного таймера показан в заголовке статьи, а монтаж деталей в его корпусе, выполненный навесным методом, — на рис. 2.

В устройстве можно применить: тран-

зисторы VT1 и VT3 — KT203A—KT203B, KT208A—KT208M, KT209A—KT209M, KT502A—KT502E; VT2 — KT603A — KT603E, KT608A, KT608B, KT815A—KT815G, KT817A—KT817G; диоды VD1 и VD7 — КД503А, КД509А, КД509Б, КД521А; VD3—VD6 — КД106А, Д226Б, КЦ402А—КЦ402И, КЦ405А—КЦ405И или аналогичные; стабилитрон VD2 — любой маломощный на напряжение стабилизации 9...11 В; светодиод HL1 — АЛ102А—АЛ102Г, АЛ1307А — АЛ1307Г; симистор VS1 — КУ208В.

Конденсатор C1 должен быть с малым ТКЕ и малыми токами утечки, например, К73-16, C3 и C5 — КЛС, КМ, К10-7, C2 и C4 — оксидные К50-6, К50-24. Резистор R2 — СПЗ-3, СП5-2, остальные МЛТ.

Трансформатор T1 блока питания — любой с переменным напряжением на вторичной обмотке 10...12 В при токе не менее 50 мА. Функцию импульсного трансформатора T2 выполняет выходной трансформатор усилителя ЗЧ транзисторного радиоприемника. Но его (для обеспечения безопасности) надо доработать: разобрать магнитопровод, смотать провод верхней обмотки, обернуть оставшуюся обмотку слоем изоляционной ленты, заново намотать вторичную обмотку тем же проводом и собрать магнитопровод.

Вместо высокоомной головки 0,25ГДШ-2 (сопротивление звуковой катушки 50 Ом) подойдет телефонный капсюль ДЭМ-4М или пьезокерамический излучатель, например, типа ЗП-1. Головку со звуковой катушкой сопротивлением 6...8 Ом включают через выходной трансформатор.

Налаживание РВ сводится к установке периода следования выходных импульсов микросхемы DD1, равного 1 с. Делают это, пользуясь частотомером, подбором резистора R2 (грубо) и подстроечным резистором R1 (точно).

Тональность звукового сигнала несложно изменить подбором резистора R5. Если при наличии импульсов на выходе элемента DD8.3 симистор VS1 не открывается, то надо поменять местами включение выводов обмотки II трансформатора T2 и, увеличивая емкость конденсатора C5, добиться устойчивой работы симистора.

Стабильность частоты импульсов, формируемых микросхемой DD1, вполне удовлетворительная для бытовых целей. В том же случае, если необходимы более высокая точность и стабильность частоты, вместо таймера КР1006ВИ1 применим задающий генератор с кварцевой стабилизацией частоты на микросхеме K176IE5, как показано на схеме рис. 3.

К описанному таймеру можно подключить электроприборы мощностью до 150...200 Вт. Но если предполагается использовать его для работы с нагрузкой мощностью до 1 кВт, симистор надо установить на теплоотвод площадью 20...30 см².

И. НЕЧАЕВ

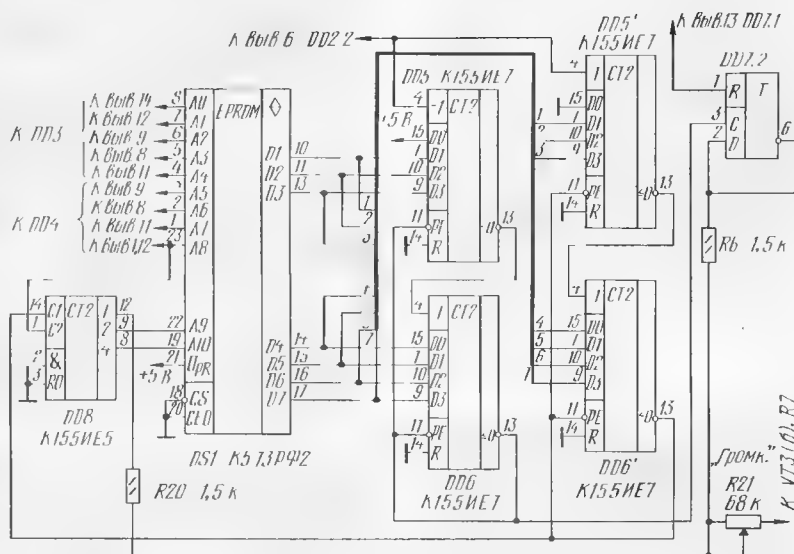
г. Курск

# УНИСОННОЕ ЗВУЧАНИЕ В МЕЛОДИЧЕСКОМ СИГНАЛИЗАТОРЕ

Подняв крышку рояля, мы увидим, что каждая его клавиша (молоточек) ударяет одновременно по двум или трем струнам. Если одна из струн немного расстроена относительно другой, то издаваемый ими звук будет похож на знакомое всем звучание акустического аккордеона, у которого расстроены «ноты».

Подобный звуковой эффект можно получить и в мелодическом сигнализаторе, описанном в «Радио», 1992, № 8, с.12–15. Для этого сигнализатор надо дополнить двумя счетчиками K155ИЕ7 (на схеме — DD5 и DD6) и одним счетчиком K155ИЕ5 (DD8). В предлагаемом варианте сигнализатора вместо KP556PT5 применена аналогичная микросхема — K573PФ2, допускающая многократное перепрограммирование.

Унисонное вибрато (аккордеонное звучание) реализуется путем деления частоты тонального генератора (элементы DD2.1, DD2.2 — см. схему в упомянутой выше статье) счетчиками DD5, DD6 и DD5', DD6' коэффициентами деления, отличающимися на единицу. При этом музыкальный строй не нарушается.



Для доработки сигнализатора вывод 15 основного делителя DD5 отключите от соответствующего выхода ПЗУ DS1 и соедините его с положительным проводником питания (+5 В). В дополнительном (унисонном) делителе DD5 аналогичный вывод соедините с общим проводом. В результате прямоугольные импульсы (меандр), сформированные делителями на 2 (DD8, DD7.2), суммируясь на резисторах R6 и R20, будут создавать красивое унисонное звучание.

Резистор R21 (в моем сигнализаторе — регулятор громкости абонентского громкоговорителя «Лира-301») уменьшает излишнюю громкость звучания устройства.

Для ускорения монтажа дополнительные микросхемы DD5' и DD6' целесообразно смонтировать этажеркой непосредственно на соответствующих им микросхемах DD5, DD6.

В формирователе меандра моего варианта устройства работает микросхема K155ИЕ5 (DD8) и делитель на 8, позволивший расширить память сигнализатора до двух килобайт, а число запрограммированных мелодий — до 64.

А.СИМУТИН

г.Дятьково-2  
Брянской обл.



РАДИОЛЮБИТЕЛЬСКАЯ  
ТЕХНОЛОГИЯ

## ИНВЕРТОР ПОЛЯРНОСТИ НАПРЯЖЕНИЯ

В процессе усовершенствования какого-либо готового устройства часто бывает необходимо ввести в него один-два операционных усилителя, что заставляет сразу же решать вопрос об их питании — ведь большинство распространенных ОУ нуждаются в двуполярном источнике питания.

В подобных случаях выходом из положения может послужить так называемый инвертор полярности — устройство, выходящее постоянное напряжение которого равно входному, но с обратной полярностью. Таким образом, имеющийся обычный источник питания вместе с инвертором полярности заменяют двуполярным.

Схема одного из вариантов инвертора полярности изображена на рис.1. Особенностью устройства является использование в нем микросхемы K174УН7 (DA1) — усилителя мощности ЗЧ. Из-за сильной положительной обратной связи по переменному напряжению через конденсатор C2 микросхема работает в режиме генерации прямоугольных импульсов с частотой примерно 20 кГц. Амплитуда импульсов на выходе микросхемы — около 10 В. Эти импульсы поданы на вход умножителя напряжения, собранного на диодах VD1—VD4 и конденсаторах C4—C7. Выходное напряжение умножителя стабилизирует параметрический стабилизатор R2VD5 с усилителем тока на транзисторе VT1.

Инвертор обеспечивает выходной ток до 100 мА, при этом потребляемый ток равен примерно 200 мА. В таком режиме микросхема может работать без теплоотвода. При снижении входного напряжения инвертора до 10 В максимальный выходной ток уменьшается до 40 мА.



# РЕГУЛИРУЕМЫЙ АНАЛОГ СТАБИЛИТРОНА

**Рис. 1**

**Рис. 2**



# ТЕЛЕФОН ДЕЛОВОГО ЧЕЛОВЕКА

**В**ведение цепи R5C1 ухудшает качество определения номера, поскольку влияет на частотную характеристику телефона. Если линия не спаренная, эту цепь ставить не нужно.

Можно убрать конденсатор C2, а номиналы резисторов R7, R8 изменить соответственно на 1 МОм и 10 кОм. Получится обычный делитель, и датчик звонка будет срабатывать при превышении во время звонка напряжения на линии 100...120 В. В данном случае импульсы блокиратора не будут влиять на работу телефона, так как напряжение свободной линии меньше напряжения звонка. Не будет также ложных срабатываний телефона от импульсов набора на параллельном телефоне (что в отдельных случаях бывает).

На делителе VD7R9R10 собран датчик занятости линии, выход которого ULINE подается на вход PB1 порта. При появлении на линии высокого уровня (60 В) — линия свободна, на выходе датчика появляется сигнал логической 1, а если линия занята (<20 В) — логического 0. Стабилитрон VD7 предназначен для получения более резкого порога переключения датчика.

Этим же датчиком процессор проверяет состояние параллельного телефона — во время автоподнятия, автодозвона и т. д. В этих режимах телефон «удерживает» линию в занятом состоянии эквивалентом нагрузки R16 через открытый транзистор VT2.

Чтобы проверить наличие других нагрузок в линии, аппарат «отпускает» линию на несколько миллисекунд и снимает сигнал с датчика линии. Если на датчике останется уровень логического 0, то это означает, что на линии есть другие нагрузки. В противном случае датчик выдаст логическую 1. Такие проверки производятся раз в несколько секунд, и на линии в это время слышен небольшой щелчок. Но АТС на подобные кратковременные сигналы не реагирует.

В датчике также можно изъять стабилитрон, и он упростится до обычного делителя R9R10 с номиналами 180 кОм и 10 кОм соответственно (порог переключения 20 В).

Диоды VD5, VD6 предназначены для защиты входов порта микросхемы DD8 от перенапряжений положительной полярности. Отрицательные импульсы на входах порта срезаются собственными цепями защиты микросхемы DD8. Более надежный способ защитить входы порта — включить параллельно им стабилитроны (типа KC147).

Управление линией производится транзисторами VT1 — VT3. На вход транзистора VT1 подаются различные сигналы: импульсы набора (через DD1.3, VD8, R11), сигнал запроса (через VD9 и R12), звуковые сигналы в линию (R13, R14), которые блокируются диодом VD10 (желательно германиевым). В зависимости от сопротивления резистора в цепи базы на выходе каскада формируется сигнал той или иной амплитуды.

Транзистор VT2 подключает к линии эквивалентную нагрузку R16, а также на него подаются импульсы набора для дублирования набора номера транзистором VT1. Это уменьшает сопротивление замыкания линии при наборе номера. Транзистор VT3 подключает к линии разговорную цепь телефона, в данном случае — трансформаторный каскад телефона «VEF TA12».

Диод VD11 срезает паразитные индукционные импульсы трансформатора во время переключения, которые могут привести к сбою микропроцессора. Конденсатор C3 снижает импульсные наводки в трубке. Вместо этого разговорного узла можно использовать любой другой, включив его между коллектором транзистора VT3 и линией IN.

При поднятии трубки на телефоне замыкается геркон SF1 и микропроцессор подает на транзистор VT3 сигнал поднятия трубки.

На транзисторе VT4 собран усилитель, нагруженный на головку BA1. Смещение на базе транзистора задается резисторами R29, R30. При включении питания на выходе VIS устанавливается логическая 1, а на выходе SOUND — логический 0. В авторской версии выход SOUND не использовался, и на нем всегда был логический 0. При включении звука на головку сигнал с таймера подается через резистор R30. При включении звука с линии сигнал поступает через цепь C9, R32, защитные диоды VD23, VD24 и резистор R33. Отключение этой цепи производится диодом VD25 (германиевый). Недостатком такой цепи является проникновение сигнала с таймера VIS в линию. Устранить это можно включением после конденсатора C9 дополнительного усилителя на одном транзисторе, что также увеличит громкость сигналов с линии. Переменный резистор R31 предназначен для регулировки усиления.

Динамическая головка — ВП-1, от аппарата «VEF TA12». Регулировочным винтом головку можно настроить на максимальную громкость (резонанс). Резистор R28 снижает индукционные выбросы на головке и защищает транзистор VT4 от пробоя.

На микросхеме DA1 собран компаратор сигналов с линии, предназначенный для усиления и преобразования в логический сигнал аналоговых сигналов посылки кодированного номера и сигналов станции (короткие гудки и т. д.). Сигнал с линии поступает через конденсатор C10 и резистор R35 на первый вход компаратора. Диоды VD26, VD27 — защитные. Оба входа компаратора подключены через резисторы R36, R37 к источнику опорного напряжения, собранному на делителе R39 R40 и конденсаторах C11, C12. Средней точкой является половина напряжения питания.

Следует сказать несколько слов об определении номера. При поступлении от станции сигнала вызова и поднятии трубки (или автоподнятии) телефон через 300 мс (по ГОСТу) подает в линию сигнал запроса длительностью 100 мс (по ГОСТу), частотой 500 Гц ( $\pm 2$  Гц) и амплитудой в несколько вольт. В ответ АТС (того абонента, от которого поступил звонок) передает двухчастотные посылки кода номера звонящего абонента. Каждой цифре соответствует комбинация двух из шести частот: 700, 900, 1100, 1300, 1500, 1700 Гц. Существует еще код начала и код повтора (который заменяет повторяющиеся цифры, если они идут подряд.) Код передается цели-

Продолжение. Начало см. в «Радио», 1993, № 9, с. 33.



ком (каждая цифра по 40 мс) и повторяется без перерыва 2 — 3 раза (общее время — около 1,5 с).

Авторский алгоритм построен на цифровом корреляционном фильтре с квадратными каналами. Суть алгоритма заключается в следующем. Входной сигнал оцифровывается компаратором с нулевым порогом, далее перемножается с цифровым сигналом каждой из шести частот, хранящихся в виде табличек синусов в ПЗУ, а также с цифровым сигналом каждой из шести частот, сдвинутых на 90°. Для каждой частоты полученные квадратные составляющие складываются. Затем суммируется 256 выборок сигнала за каждые 10 мс. Получается шесть интегральных сумм, две максимальные из них определяют две частоты, соответствующие текущей посылке на каждые 10 мс.

В случае работы с аналоговыми сигналами потребовалась бы не сумма квадратов, а сумма квадратов. Это вытекает из условия получения интеграла, который не зависит от фазы приходящего сигнала. Именно потому, что фаза приходящего сигнала неизвестна, и используется интегральная сумма двух ортогональных каналов. Измерения производятся непрерывно по 10 мс в течение 800 мс. Интервал в 10 мс выбран из условия получения ширины полосы пропускания фильтров порядка 50 Гц.

В результате накапливаются 80 значений, по четыре на каждую ожидаемую цифру сигнала. Если хотя бы две из них, находящиеся рядом, совпадают, они считаются достоверной цифрой. Выделение из ряда в 80 значений номера закодированного телефона происходит при вторичной обработке, которая существенно не влияет на общее качество определения номера.

При суммировании входного сигнала происходит усреднение составляющих сигнала некоррелирующих с ожидаемой частотой, поэтому практически не играет роли шум на входе компаратора, поскольку его вклад в интегральную сумму в среднем равен нулю. Даже полезно было бы иметь на входе сигнал с уровнем «белого шума» 5...10% от уровня полезного сигнала.

Для качественного определения номера необходимо, чтобы сигнал на выходе компаратора не был искажен по фазе из-за большого нелинейного сдвига порога компарирования от нуля. Такой эффект возникает, если на входе слишком большой сигнал и компаратор становится нелинейным по входу. На такой фильтр не влияет обычный шум, но зато может повлиять какой-нибудь периодический сигнал. Может оказаться полезным уменьшение усиления компаратора увеличением сопротивления резистора R35. Не следует применять усилители и компараторы с АРУ, сдвигающей порог компарирования и искажающей текущую фазу сигнала на входе, так как только фаза оцифрованного сигнала несет после компаратора информацию о сигнале.

Качество приходящего сигнала играет существенную роль для оп-

ределения номера. Большое значение имеет разбаланс по амплитуде двух частотных составляющих посылок. При разбалансе до 3 дБ (допуск по ГОСТу) определение номера практически стопроцентное; при 6 дБ иногда встречаются ошибки в определении цифр, частоты которых находятся рядом (1,3 и т. д.); при 12 дБ такие цифры не определяются в 50 % случаях.

Практически не влияет на работу алгоритма определения номера введение небольшого гистерезиса компаратора, а также небольшого начального смещения порога компарирования, но рекомендуется этого не делать, чтобы не сужать динамический диапазон компаратора. В качестве критерия правильной настройки компаратора на нулевой порог можно использовать визуальное наблюдение на экране осциллографа выходного сигнала при наличии естественного шума (например, при подключенной линии) на входе компаратора. Выходной сигнал должен иметь равномерное распределение логических 0 и 1.

Сигнал с выхода компаратора SIG поступает на два входа порта, что упрощает алгоритм обработки сигнала — ведь требуется максимальное быстродействие при одновременной обработке сигнала по шести частотам. Однако в последнем авторском алгоритме используется только один вход, хотя в несколько раз удалось увеличить частоту дискретизации и немного улучшить качество определения номера.

При однократной обработке сигнала существует теоретическое ограничение качества определения номера, связанное с потерей информации об амплитуде сигнала. В последнем алгоритме достигнуто практически максимальное возможное качество определения номера, что связано только с частотой дискретизации. Этот алгоритм обеспечивает практически стопроцентное определение номера при разбалансе амплитуд составляющих посылок не более 6 дБ.

Следует несколько пояснить алгоритм определения гудков в линии. Здесь применяется практически честный Байесовский подход. Сигнал считается компаратором и обрабатывается аналогично обработке сигнала номера по двум квадратным каналам. Далее полученная интегральная сумма сравнивается с заданным порогом, превышение которого сигнализирует о наличии сигнала станции частотой 425 Гц. На практике частота сигналов имеет разброс от 350 до 550 Гц, что накладывает определенные ограничения на работу фильтра. Поэтому пришлось расширить полосу пропускания фильтра, что привело, естественно, к ухудшению достоверности определения гудков станции. Но в общем случае определение гудков улучшилось, так как увеличилась полоса захвата частоты, что имеет большое значение при работе с разными нестандартными АТС.

Существует также проблема в идентификации типа сигналов станции: короткие гудки (занято), длинные гудки (контроль посылки вызова), непрерыв-

ный гудок (ответ станции). Эта проблема связана с предыдущей — нестандартность станций. Пришлось применить более достоверный алгоритм определения типа гудков в ущерб времени определения. Поэтому, например, время реакции телефона на короткие гудки составляет несколько секунд. Следует осторожно относиться к так называемым быстрым алгоритмам определения гудков, потому что при этом неизбежно теряется достоверность определения. Эта «быстрота» не стоит того.

Бывают случаи, когда при автодозвоне телефон «отбивает» линию, хотя коротких гудков нет. Это может быть связано (особенно на междугородных линиях) с присутствием в линии слабого «звона», который тем не менее усиливается компаратором, и в результате на входе SIG присутствует непрерывный сигнал, идентифицируемый часто (из-за широкой полосы фильтра — 350...550 Гц) как непрерывный гудок. Для снижения этого эффекта можно снизить коэффициент усиления, например, увеличив сопротивление резистора R35 до 10...100 к. Однако не стоит увлекаться снижением усиления, иначе неизбежно ухудшится определение номера.

Ответ станции на запрос приходит не всегда, опять же в силу разброса параметров станций и многочисленных цепей коммутации. Поэтому имеет смысл применять многократный запрос. Это ничего общего не имеет со стандартным многократным (тройным) запросом, используемым междугородной АТС в случае ошибок в определении номера при первом и последующих ответах станции (при этом на каждый последующий запрос приходит ответ). В случае же посылки запроса с обычной абонентской линии ответ может прийти только один раз. И сам факт выдачи ответа на абонентскую линию происходит по причине, можно сказать, «ошибки» в разработке оборудования АТС. Дело в том, что в первые 400 мс после поднятия трубки во время вызова абонентская линия оказывается соединенной напрямую с аппаратурой определения номера звонящей АТС, и если послать запрос, эта АТС выдаст ответ и увеличит время прямого соединения еще на 800 мс (на время передачи ответа). Затем прямой канал отключается, и включить его второй раз просто запросом (или какими-нибудь другими средствами со стороны абонентской линии) нельзя. Чтобы увеличить надежность ответа станции, используют повторные запросы, если после очередного запроса нет ответа станции. Запросы посылаются с промежутком в несколько десятков миллисекунд. При этом, несмотря на возможные коммутационные задержки на линиях, ответ может быть получен.

(Окончание следует)

И. КОРШУН,  
С. ТИМАКОВ

г. Зеленоград



## ПОВЫШЕНИЕ ПОМЕХОУСТОЙЧИВОСТИ ПРИЕМНИКА VEF-317

Прием радиостанций в диапазонах длинных и средних волн сопровождается большими промышленными помехами. Причину этого явления удалось установить при анализе схемы приемника. Оказалось, что в этих диапазонах к входному контуру наряду с магнитной (A1) постоянно подключена встроенная телескопическая антенна WA1 (рис.1). Отключение телескопической антенны от входного контура позволило резко снизить уровень помех в этих диапазонах при практически неизменной чувствительности приемника. Чтобы убедиться в эффективности предлагаемых мер, достаточно настроиться на самую тихую и зашумленную станцию ДВ диапазона и выполнить следующие операции.

Выключить приемник, снять его заднюю стенку, повернуть барабанный переключатель и вынуть плату A2.1 (ДВ). На этой плате (рис. 2, а) нужно разрезать дорожку между выводом конденсатора C2 и контактом 2 переключателя. Для сохранения настройки входного контура на верхней частоте емкость конденсатора C2 надо снизить до 6,8 пФ, включив его в соответствии с рис.1. Нижний вывод этого конденсатора следует изолировать полистироновой трубочкой и соединить с контактами 7 и 8 переключателя платы A2.1 (ДВ) (рис.2,в).

После указанной доработки плату A2.1 установить на прежнее место, включить приемник и убедиться в более чистом приеме ранее выбранной станции ДВ диапазона.

Для доработки приемника в диапазоне СВ следует выполнить аналогичные операции, т. е. настроиться на одну из самых слабых и зашумленных станций желательнее в высокочастотной части диапазона СВ.

Для отключения телескопической антенны WA1 в этом диапазоне нужно на плате A2.2 (СВ) барабанный переключатель (рис.2, б) перерезать дорожку, соединяющую верхний вывод конденсатора C1 с контактом 2 переключателя и между этим выводом конденсатора C1 и контактами 7 и 8 переключателя установить конденсатор  $C_{\text{дот}}$  емкостью 12 пФ. Наличие

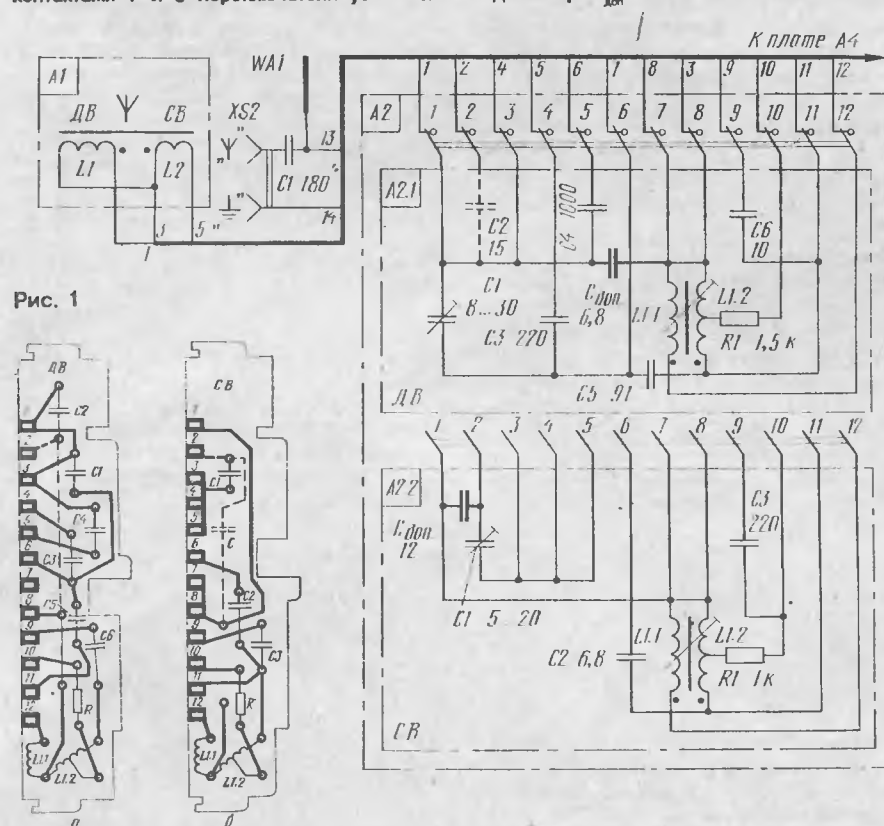


Рис. 1

Рис. 2

конденсатора  $C_{\text{дот}}$  позволяет не перестраивать входной контур на верхней частоте диапазона с помощью конденсатора C1.

После этого следует установить плату A2.2 на прежнее место и убедиться в чистом приеме ранее выбранной станции СВ диапазона.

Справедливо ради следует сказать, что вследствие паразитной емкостной связи между контактом 2 переключателя и деталями плат A2.1 и A2.2 после указанных доработок все же остается слабая связь телескопической антенны WA1 с входным контуром.

С целью ослабления этой связи можно порекомендовать выпаять контакт 2 из плат A2.1 и A2.2. Конденсаторы, вновь устанавливаемые на платы A2.1 и A2.2, могут быть типов КД и КТ групп М47, М75 с пределами отклонения емкости от номинального значения  $\pm 10\%$ .

Поскольку магнитная антенна нечувствительна к являющейся основным носителем промышленных помех электрической составляющей поля, подобные доработки можно осуществить и в приемниках, где телескопическая антенна постоянно подключена к магнитной.

г. Москва

Ю. ГУСЕВ

## ДОРАБОТКА ПРИЕМНИКА "ИРЕНЬ РП-301"

Небольшая доработка радиоприемника «Ирень РП-301» (старое название «Ирень-401») делает возможным прием на него звукового сопровождения первого телевизионного канала. Для этого достаточно замкнуть накоротко конденсатор C3 (обозначения в соответствии со схемой, приведенной в «Радио», 1987, № 6, с.57). Это вызовет снижение частоты настройки приемника до частоты несущей звукового сопровождения первого телевизионного канала (56,25 МГц).

После доработки приемник обычно сразу начинает принимать звуковое сопровождение телевизионных передач. Если этого не происходит или прием периодически срывается, то поворачивая подстроечник катушек L5, L6 приблизительно в пределах 1/4 оборота, необходимо добиться захвата сигнала телевизионной станции системой АПЧГ. На прием УКВ радиовещательных станций подстройка катушек существующего влияния не оказывает.

Чтобы обеспечить переход с радиовещательного диапазона на телевизионный, необходимо резистор настройки приемника R25 заменить переменным резистором с выключателем. Можно также доработать сам резистор R25, установив на него два пружинящих контакта выключателя и выпотенный из эбонита толкатель круглой формы, имеющий с одной стороны пропил. Толкатель наклеивают эпоксидным клеем на ось резистора. Контакты выключателя следует подпаять параллельно конденсатору C3. Теперь при свободном вращении движка резистора по часовой стрелке толкатель будет размыкать пружинящие контакты выключателя, а при повороте его против часовой стрелки до упора контакты, попадая в пропил толкателя, будут замыкаться. Перед такой переделкой необходимо удалить перемычку между переменными резисторами R25 и R11, которая выполняет крепежную функцию.

Более простой способ переключения приемника с радиовещательного диапазона на телевизионный — установка дополнительного миниатюрного выключателя в доступном месте корпуса приемника.

При необходимости приемник можно доработать так, что он будет принимать звуковое сопровождение не только первого телевизионного канала, но и третьего. Однако в этом случае уменьшится число радиовещательных станций, принимаемых приемником в высокочастотной части УКВ диапазона.

Для реализации такой доработки следует соединить перемычкой выводы 2 и 3 микросхемы DA3 и затем, вращая подстроечник катушек L5, L6, попытаться настроиться на телевизионную станцию третьего канала в районе отметки шкалы приемника 74 МГц. После этого нужно, переключив диапазон, проверить качество приема звукового сопровождения первого телеканала.

Практика показала, что при аккуратном вращении подстроечника катушек L5, L6 в нашей местности можно добиться приема приемником «Ирень РП-301» звукового сопровождения двух телевизионных каналов и пяти УКВ радиовещательных станций.

С. СОЛОВЬЕВ

г. Балабаново-1  
Калужской обл.

От редакции. Переключение приемника с радиовещательного диапазона на телевизионный можно упростить, подключив конденсатор C3 параллельно практически не используемому гнезду XS2, предварительно отключив его сигнальный провод от точки соединения резисторов R8, R9 и конденсатора C21. Замыкая гнездо перемычкой, можно обеспечить требуемое переключение приемника.



НАША  
КОНСУЛЬТАЦИЯ

# НА ВОПРОСЫ ЧИТАТЕЛЕЙ ОТВЕЧАЮТ АВТОРЫ СТАТЕЙ И КОНСУЛЬТАНТЫ

**ЧЕРНЫШЕВ В. САМОЗАПУСК ПРОГРАММ НА «РАДИО-86РК». — РАДИО, 1992, № 12, с. 18, 19.**



Как определить, возможна ли адаптация программы для компьютера, программно совместимого (по заверению изготовителя) с «Радио-86РК» (например, из набора «Электроника КР-02», «Электроника КР-03»)?

Прежде чем адаптировать программу для работы с Вашим компьютером, необходимо проверить возможность проведения такой операции. Для этого введите в компьютер небольшую программу:

```
00 00 21 0E 00 CD 1B FB CD 01 FB C3 00 FB 0A 4F
27 4E 00
```

CS = 6054

Проверив правильность ввода, выполните команду T0,1,76CD <BK> (или T0,1,36CD <BK>, если емкость ОЗУ Вашего ПК 16 Кбайт). Если МОНИТОР, как обычно, выйдет в командный режим, Вам не повезло: адаптация программы для Вашего компьютера невозможна или сопряжена с большими трудностями.

При работе с программой следует учесть, что опубликованный в статье вариант использует верхнюю память под стек, из-за чего программы, использующие адреса 7580H — 75FFH, портятся. Чтобы этого не случилось, в сервисную программу необходимо внести изменения: по адресу 6001H записать код BF, а по адресу 6002H — 76.



**КАЛАШНИК В. АВТОМАТИЧЕСКАЯ ВОДОКАЧКА. — РАДИО, 1991, № 6, с. 32, 33.**

Об исполнительном реле К1.

В качестве реле К1 в устройстве можно применить любой магнитный пускатель, рассчитанный на работу от сети напряжением 220 В.



**БОГАТЫРЕВ Д., МАТЮХИН Н. ПРИБОР ДЛЯ ИЗМЕРЕНИЯ ТОКА ЛУЧЕЙ И ВОССТАНОВЛЕНИЯ КИНЕСКОПОВ. — РАДИО, 1993, № 1, с. 20, 21.**

О проверке и восстановлении кинескопов 51ЛК2Ц и 61ЛК5Ц.

Для проверки и восстановления этих кинескопов необходимо изготовить соответствующий соединительный кабель, расплав его провода на контактах панели XS2, как показано на рис.1.

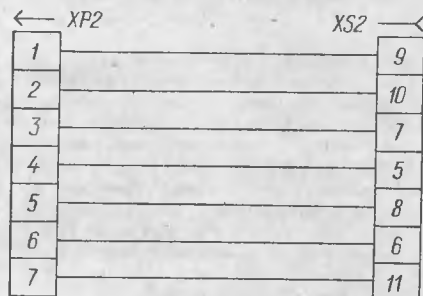
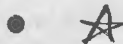


Рис. 1



**ТРИФОНОВА А. ДВУПОЛОСНАЯ АНТЕННА ДМВ. — РАДИО, 1992, № 11, с. 35, 36 И 2-Я С. ОБЛ.**

Размеры элементов жесткости активного и пассивного вибраторов.

Размеры элемента жесткости активного вибратора указаны на рис. 2. Элемент жесткости пассивного вибратора отличается только отсутствием продольного выреза.

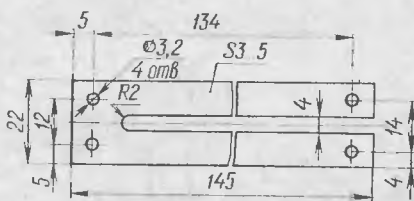


Рис. 2

Входит ли ширина элементов жесткости в периметр петлевых вибраторов, указанный в статье?

Да, входит. Однако в расчетных формулах ширина элементов жесткости не учитывается, поэтому резонансная частота антенны после сборки оказывается на несколько процентов больше расчетной.

О материале траверсы.

Траверсу можно изготовить как из диэлектрика (органическое стекло, текстолит и т. п.), так и из любого металла, кроме меди и ее сплавов, образующих с алюминием электрогальваническую пару, что ведет к коррозии соприкасающихся деталей.



**НЕЧАЕВ И. СТАБИЛИЗАТОР ТОКА НАКАЛА КИНЕСКОПА. — РАДИО, 1992, № 10, с. 38, 39.**

Повышение температурной стабильности устройства.

Причиной сильной зависимости напряжения накала кинескопа от температуры корпуса транзистора VT3 могут быть его относительно большие обратные токи коллектора и эмиттер—коллектор, а также малый коэффициент передачи тока базы. Устранить этот дефект стабилизатора можно заменой транзистора KT3102A на KT3102E. Еще лучше вместо транзистора применить каскад на ОУ К140УД6, включив его, как показано на рис. 3. Сопротивление резистора R4 в этом случае необходимо уменьшить до 1 кОм, а стабилитрон КС133А (VD2) заменить на КС156А.

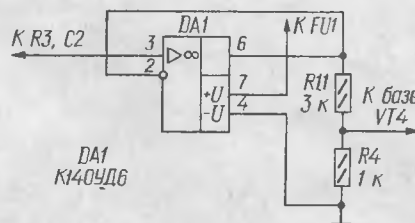


Рис. 3

Как при использовании стабилизатора, например, в телевизорах ЗУСЦТ, подать на подогреватель кинескопа постоянное напряжение положительной полярности (для защиты от пробоя промежуток катоды—подогреватель)?

Постоянное напряжение от высоковольтного выпрямителя можно подать на общий провод стабилизатора тока, изолировав его цепи от других узлов телевизора.



**ЛАЗЕР И., БРАЙЛОВСКИЙ Г., ОСТАПЕНКО О. ЦИФРОВОЙ ОТСЧЕТ ЧАСТОТЫ НАСТРОЙКИ РАДИОПРИЕМНИКА. — РАДИО, 1988, № 9, с. 42—45.**

О включении счетчика DD2.

Вывод 12 счетчика DD2 должен быть соединен с его выводом 1, а вывод 14 — с коллектором транзистора VT2.